



INFORME DE RESULTADOS

ESTIMACIÓN DE LA CONTRIBUCIÓN DEL CARBONO NEGRO A LA FUSIÓN DE NIEVE DE LOS GLACIARES YANAPACCHA Y SHALLAP, PARA EL PERÍODO ENTRE OCT – 2015 HASTA AGO – 2016.

(Dpto. Ancash)

Trabajo presentado por:

SÁNCHEZ RODRÍGUEZ, Wilmer E.

Huaraz – diciembre de 2016

Índice..........pág.

1. OBJETIVO	8
1.1. Estimación de la nieve fundida a causa del carbono negro en los glaciares Yanapaccha y Shallap (oct – 2015 a ago – 2016).....	8
2. TEMA DE INVESTIGACIÓN	8
2.1. Carbono Negro en Glaciares	8
3. GLACIARES DE ESTUDIO	9
3.1. Acceso al glaciar Yanapaccha.....	9
3.2. Acceso al glaciar Shallap	10
4. ANÁLISIS DE FILTROS BAJO EL MÉTODO LAHM	10
4.1. Resultados de análisis de filtros	11
4.1.1. Glaciar Yanapaccha	12
4.1.2. Glaciar Shallap	12
5. PROCEDIMIENTO DE GABINETE	13
5.1. Ordenamiento de Datos de Carbono Negro	13
5.2. Obtención y Tratamiento de Datos de Radiación Solar	15
5.2.1. Datos de radicación solar de la estación meteorológica en el glaciar Shallap.....	16
5.2.2. Datos de radiación solar de la estación meteorológica en el glaciar Artesonraju	28
5.3. Aplicación de la Simulación SNICAR	39
5.3.1. Aplicación de SNICAR para el glaciar Yanapaccha	40
5.3.2. Aplicación de SNICAR para el glaciar Shallap	60
5.4. Estimación de Nieve Fundida.....	83
5.4.1. Nieve fundida en el glaciar Yanapaccha	83
5.4.2. Nieve fundida en el glaciar Shallap	85
6. RESULTADOS	91
6.1. Masas de carbono negro determinados en los filtros del glaciar Yanapaccha.	91
6.2. Masas de carbono negro determinados en los filtros del glaciar Shallap....	92
6.3. Variación del albedo de la nieve usando la simulación SNICAR para el glaciar Yanapaccha.	94
6.4. Variación del albedo de la nieve usando la simulación SNICAR para el glaciar Shallap.....	95
6.5. Energía total que llega sobre el glaciar Yanapaccha.....	96
6.6. Energía total que llega sobre el glaciar Shallap.....	97

6.7.	Nieve fundida a causa del carbono negro en el glaciar Yanapaccha.....	99
6.8.	Nieve fundida a causa del carbono negro en el glaciar Shallap.....	100
7.	CONCLUSIONES.....	102
8.	RECOMENDACIONES	103
9.	BIBLIOGRAFIA	104
10.	ANEXOS	105

RELACIÓN DE FOTOGRAFÍAS

Fotografía 01:	Vista del glaciar Yanapaccha.....	9
Fotografía 02:	Vista del glaciar Shallap.....	10
Fotografía 03:	Diseño experimental de equipo de medición.....	11
Fotografía 04:	Estación meteorológica ubicada en la morrena del glaciar Shallap.....	27

RELACIÓN DE TABLAS

Tabla 01:	Carbono Negro presente en nieve del glaciar Yanapaccha.....	12
Tabla 02:	Carbono Negro presente en nieve del glaciar Shallap.....	13
Tabla 03:	Datos ordenados para el glaciar Yanapaccha.....	14
Tabla 04:	Datos ordenados para el glaciar Shallap.....	15
Tabla 05:	Datos de radiación solar directa para el mes de octubre 2015 en el glaciar Shallap.....	16
Tabla 06:	Datos de radiación solar directa para el mes de noviembre 2015 en el glaciar Shallap.....	17
Tabla 07:	Datos de radiación solar directa para el mes de diciembre 2015 en el glaciar Shallap.....	18
Tabla 08:	Datos de radiación solar directa para el mes de enero 2016 en el glaciar Shallap.....	19
Tabla 09:	Datos de radiación solar directa para el mes de febrero 2016 en el glaciar Shallap.....	20
Tabla 10:	Datos de radiación solar directa para el mes de marzo 2016 en el glaciar Shallap.....	21
Tabla 11:	Datos de radiación solar directa para el mes de abril 2016 en el glaciar Shallap.....	22
Tabla 12:	Datos de radiación solar directa para el mes de mayo 2016 en el glaciar Shallap.....	23
Tabla 13:	Datos de radiación solar directa para el mes de junio 2016 en el glaciar Shallap.....	24
Tabla 14:	Datos de radiación solar directa para el mes de julio 2016 en el glaciar Shallap.....	25
Tabla 15:	Datos de radiación solar directa para el mes de agosto 2016 en el glaciar Shallap.....	26
Tabla 16:	Energía total para cada mes en el glaciar Shallap.....	27
Tabla 17:	Datos de radiación solar directa para el mes de octubre 2015 en el glaciar Artesonraju.....	28
Tabla 18:	Datos de radiación solar directa para el mes de noviembre 2015 en el glaciar Artesonraju...	29
Tabla 19:	Datos de radiación solar directa para el mes de diciembre 2015 en el glaciar Artesonraju....	30

Tabla 20: Datos de radiación solar directa para el mes de enero 2016 en el glaciar Artesonraju.....	31
Tabla 21: Datos de radiación solar directa para el mes de febrero 2016 en el glaciar Artesonraju.....	32
Tabla 22: Datos de radiación solar directa para el mes de marzo 2016 en el glaciar Artesonraju.....	33
Tabla 23: Datos de radiación solar directa para el mes de abril 2016 en el glaciar Artesonraju.....	34
Tabla 24: Datos de radiación solar directa para el mes de mayo 2016 en el glaciar Artesonraju.....	35
Tabla 25: Datos de radiación solar directa para el mes de junio 2016 en el glaciar Artesonraju.....	36
Tabla 26: Datos de radiación solar directa para el mes de julio 2016 en el glaciar Artesonraju.....	37
Tabla 27: Energía total para cada mes en el glaciar Artesonraju.....	38
Tabla 28: Datos elegidos e ingresados en la simulación SNICAR.....	40
Tabla 29: Albedo mensual en el glaciar Yanapaccha.....	60
Tabla 30: Albedo mensual en el glaciar Shallap.....	82
Tabla 31: Diferencia de albedo para el glaciar Yanapaccha.....	83
Tabla 32: Cálculo de la energía solar que llega al glaciar Yanapaccha.....	84
Tabla 33: Determinación de energía absorbida por el carbono negro en el glaciar Yanapaccha.....	84
Tabla 34: Estimación de nieve fundida por el carbono negro en el glaciar Yanapaccha.....	85
Tabla 35: Diferencia de albedo para el glaciar Shallap.....	86
Tabla 36: Conversión de unidad de la energía para el glaciar Shallap.....	86
Tabla 37: Determinación de energía absorbida por el carbono negro en el glaciar Shallap.....	87
Tabla 38: Estimación de nieve fundida por el carbono negro en el glaciar Shallap.....	88
Tabla 39: Secuencia de cálculos realizados para estimar la cantidad de nieve fundida a causa del carbono negro en el glaciar Yanapaccha.....	89
Tabla 40: Secuencia de cálculos realizados para estimar la cantidad de nieve fundida a causa del carbono negro en el glaciar Shallap.....	90

FIGURAS

Figura 01: Perfiles de Temperatura para siete filtros.....	11
Figura 02: Portal de la simulación SNICAR.....	39
Figura 03: Albedo de la nieve para una masa de carbono negro igual a cero.....	41
Figura 04: Albedo de nieve para el mes de octubre 2015 en el glaciar Yanapaccha.....	42
Figura 05: Albedo de nieve para el mes de noviembre 2015 en el glaciar Yanapaccha.....	43
Figura 06: Albedo de nieve para el mes de diciembre 2015 en el glaciar Yanapaccha.....	44
Figura 07: Albedo de nieve para el mes de enero 2016 en el glaciar Yanapaccha.....	45
Figura 08: Albedo de nieve para el mes de febrero 2016 en el glaciar Yanapaccha.....	46

Figura 09: Albedo de nieve para el mes de marzo 2016 en el glaciar Yanapaccha.....	47
Figura 10: Albedo de nieve para el mes de abril 2016 para la zona de acumulación en el glaciar Yanapaccha.....	48
Figura 11: Albedo de nieve para el mes de abril 2016 para la línea de equilibrio en el glaciar Yanapaccha.....	49
Figura 12: Albedo de nieve para el mes de abril 2016 para la zona de ablación en el glaciar Yanapaccha.....	50
Figura 13: Albedo de nieve para el mes de mayo 2016 para la zona de acumulación en el glaciar Yanapaccha.....	51
Figura 14: Albedo de nieve para el mes de mayo 2016 para la línea de equilibrio en el glaciar Yanapaccha.....	52
Figura 15: Albedo de nieve para el mes de mayo 2016 para la zona de ablación en el glaciar Yanapaccha.....	53
Figura 16: Albedo de nieve para el mes de junio 2016 para la zona de acumulación en el glaciar Yanapaccha.....	54
Figura 17: Albedo de nieve para el mes de junio 2016 para la línea de equilibrio en el glaciar Yanapaccha.....	55
Figura 18: Albedo de nieve para el mes de junio 2016 para la zona de ablación en el glaciar Yanapaccha.....	56
Figura 19: Albedo de nieve para el mes de julio 2016 para la zona de acumulación en el glaciar Yanapaccha.....	57
Figura 20: Albedo de nieve para el mes de julio 2016 para la línea de equilibrio en el glaciar Yanapaccha.....	58
Figura 21: Albedo de nieve para el mes de julio 2016 para la zona de ablación en el glaciar Yanapaccha.....	59
Figura 22: Albedo de nieve para el mes de octubre 2015 para el glaciar Shallap.....	61
Figura 23: Albedo de nieve para el mes de noviembre 2015 en el glaciar Shallap.....	62
Figura 24: Albedo de nieve para el mes diciembre 2015 en el glaciar Shallap.....	63
Figura 25: Albedo de nieve para el mes de enero 2016 en el glaciar Shallap.....	64
Figura 26: Albedo de nieve para el mes de febrero 2016 en el glaciar Shallap.....	65
Figura 27: Albedo de nieve para el mes de marzo 2016 en el glaciar Shallap.....	66
Figura 28: Albedo de nieve para el mes de abril 2016 para la zona de acumulación en el glaciar Shallap.....	67
Figura 29: Albedo de nieve para el mes de abril 2016 para la línea de equilibrio en el glaciar Shallap.....	68
Figura 30: Albedo de nieve para el mes de abril 2016 para la zona de ablación en el glaciar Shallap....	69
Figura 31: Albedo de nieve para el mes de mayo 2016 para la zona de acumulación en el glaciar Shallap.....	70

Figura 32: Albedo de nieve para el mes de mayo 2016 para la línea de equilibrio en el glaciar Shallap.....	71
Figura 33: Albedo de nieve para el mes de mayo 2016 para la zona de ablación en el glaciar Shallap... 72	
Figura 34: Albedo de nieve para el mes de junio 2016 para la zona de acumulación en el glaciar Shallap.....	73
Figura 35: Albedo de nieve para el mes de junio 2016 para la zona de ablación en el glaciar Shallap... 74	
Figura 36: Albedo de nieve para el mes de julio 2016 para la zona de acumulación en el glaciar Shallap.....	75
Figura 37: Albedo de nieve para el mes de julio 2016 para la línea de equilibrio en el glaciar Shallap... 76	
Figura 38: Albedo de nieve para el mes de julio 2016 para la línea de equilibrio en el glaciar Shallap... 77	
Figura 39: Albedo de nieve para el mes de julio 2016 para la zona de ablación en el glaciar Shallap.... 78	
Figura 40: Albedo de nieve para el mes de agosto 2016 para la zona de acumulación en el glaciar Shallap.....	79
Figura 41: Albedo de nieve para el mes de agosto 2016 para la línea de equilibrio en el glaciar Shallap.....	80
Figura 42: Albedo de nieve para el mes de agosto 2016 para la zona de ablación en el glaciar Shallap.....	81

GRAFICOS

Grafico 01: Variación de carbono negro entre octubre 2015 a marzo 2016 en el glaciar Yanapaccha... 91	
Grafico 02: Variación de carbono negro entre abril a julio de 2016 en el glaciar Yanapaccha.....	92
Gráfico 03: Variación de carbono negro entre octubre 2015 a marzo 2016 en el glaciar Shallap.....	92
Gráfico 04: Variación de carbono negro entre abril a agosto de 2016 en el glaciar Shallap.....	93
Gráfico 05: Diferencia de albedo usando SNICAR para el glaciar Yanapaccha.....	94
Gráfico 06: Diferencia de albedo usando SNICAR para el glaciar Shallap.....	95
Gráfico 07: Energía total mensual que llega sobre el glaciar Yanapaccha.....	96
Gráfico 08: Energía absorbida por el carbono negro en el glaciar Yanapaccha.....	97
Gráfico 09: Energía absorbida por el carbono negro en cada zona del glaciar Yanapaccha.....	97
Gráfico 10: Energía total mensual que llega sobre el glaciar Shallap.....	98
Gráfico 11: Energía absorbida por el carbono negro en el glaciar Shallap.....	98
Gráfico 12: Energía absorbida por el carbono negro en cada zona del glaciar Shallap.....	99
Gráfico 13: Nieve fundida a causa del carbono negro en el glaciar Yanapaccha.....	100
Gráfico 14: Nieve fundida a causa del carbono negro en cada zona del glaciar Yanapaccha.....	100
Gráfico 15: Nieve fundida a causa del carbono negro en el glaciar Shallap.....	101
Gráfico 16: Nieve fundida a causa del carbono negro en cada zona del glaciar Shallap.....	102

INTRODUCCION

Las superficies brillantes como el hielo y la nieve de los glaciares tienen un albedo cercano a 1, esto favorece al reflejo de la energía solar que llega a estas superficies. La presencia de carbono negro (partículas menores a PM_{2.5}) en la nieve/hielo afectando su albedo, debido a que el carbono negro tiene una fuerte capacidad para absorber la energía solar; la misma energía que es transferida a la nieve/hielo en forma de calor. Para comprender este proceso se utilizó la simulación SNICAR (simula el albedo de la nieve con una cantidad de carbono negro), en este simulación se ingresaron los valores de masa de carbono negro determinados bajo la metodología LAHM (Metodología de Absorción de Luz de Calefacción) en cada filtro obtenido en base a las muestras de nieve recolectadas en los glaciares Yanapaccha y Shallap a partir del mes de octubre de 2015 a marzo de 2016 a una altitud cercana a los 5000 m.s.n.m. y desde el mes de abril hasta agosto de 2016 en la zona de acumulación (mayor a 5000 m.s.n.m.), la línea de equilibrio (promedio 4900 m.s.n.m.), y la zona de ablación (menor a 4900 m.s.n.m). Los filtros obtenidos fueron enviados a USA para su análisis a cargo del Dr. Carl Schmitt del National Center for Atmospheric Research – NCAR, quien analizó los filtros bajo la metodología LAHM y envió los resultados de masas obtenidas de carbono negro en nano-gramos por gramo de nieve, además se utilizó datos de radiación solar obtenidos en dos estaciones meteorológicas ubicadas en los glaciares Shallap y Artesonraju (para el glaciar Yanapaccha), de propiedad de la Universidad de Innsbruck, y están a cargo del Dr. Georg Kaser, quien en mutuo acuerdo con el Dr. Carl S. compartieron los datos para realizar investigaciones. La mayor cantidad de carbono negro se presenta en el glaciar Shallap durante la mayoría de los meses muestreados en comparación al glaciar Yanapaccha, además los valores de carbono negro son mayores a partir de enero de 2016 para ambos glaciares; utilizando la energía solar que llega a los glaciares se estimó la cantidad de energía que absorbe el carbono negro y la cantidad de nieve fundida a causa del carbono negro en ambos glaciares; debido a que el glaciar Shallap presenta mayor cantidad de carbono negro también presenta la mayor cantidad de nieve fundida a causa del carbono negro, considerando que el glaciar Shallap se encuentra cerca de Huaraz, podemos afirmar que los glaciares cercanos a ciudades densamente pobladas tienen mayor cantidad de carbono negro a diferencia de los más lejanos.

1. OBJETIVO

1.1. Estimación de la nieve fundida a causa del carbono negro en los glaciares Yanapaccha y Shallap (oct – 2015 a ago – 2016).

2. TEMA DE INVESTIGACIÓN

2.1. Carbono Negro en Glaciares

El carbono negro produce forzamiento positivo al modificar el albedo de superficies brillantes como la nieve y el hielo. Sin contaminación, estas superficies reflejan 86% de la energía solar hacia el espacio, pero las partículas carbonosas sobre estas superficies absorben una fracción importante de esa energía y la remiten como calor. Este hecho no solo reduce la proporción de energía solar reflejada, sino que derrite el material gélido. Esta disminución en la reflectividad genera un círculo de retroalimentación que induce más calentamiento y derretimiento (ICCT, 2009).

El efecto del hollín sobre el albedo de la nieve podría ser el responsable de una cuarta parte del calentamiento global que se observa. Los depósitos de hollín incrementan el descongelamiento de la superficie de masas de hielo, y el hielo descongelado genera varios procesos de retroalimentación dinámicos radiativos que aceleran la desintegración del hielo, según los doctores James Hansen y Larissa Nazarenko, científicos de la NASA (J. Hansen & L. Nazarenko, 2004).

El carbono negro influye en la absorción de la luz del sol cuando se suspende en la atmósfera o cuando se deposita sobre la superficie de los glaciares. La energía absorbida por el carbono negro se libera en forma de calor y contribuye al calentamiento atmosférico y el derretimiento acelerado del hielo y la nieve, además a la formación de nubes y la evaporación, y los patrones de precipitación. (USEPA, 2012)

Cerca del 70% de las superficies glaciares de los Andes tropicales se encuentran en Perú y la mayor parte (35%) se encuentran en la Cordillera Blanca. Debido a su ubicación en el entorno tropical sur, la ablación de estos glaciares (perdidas de masa por derretimiento del hielo y sublimación) ocurre durante todo el año, mientras que se alimentan de nevadas solo durante la estación húmeda. Aunque el retroceso de los glaciares de los Andes tropicales comenzó hace siglos, en los años setenta se ha incrementado significativamente (Rabatel et al., 2013).

3. GLACIARES DE ESTUDIO

3.1. Acceso al glaciar Yanapaccha

Desde la ciudad de Huaraz, se puede abordar unidades de transporte público que cubren la ruta Huaraz – Caraz, estas unidades nos llevaran hasta la ciudad de Yungay en una hora de recorrido; desde aquí haremos transbordo en autos “combis” colectivos que seguirán por la carretera afirmada que desde Yungay se adentra a los pueblos como Yanama, San Luis, etc. Estos colectivos nos llevaran hasta el Km 42 de la ruta en promedio en 2 horas y 30 minutos, a partir del cual se recorre un sendero con dirección al Noreste, este recorrido toma 2 horas hasta el campo morrena, desde este punto se cubre un sendero de 15 minutos hasta el glaciar.

La ruta de acceso al glaciar Yanapaccha puede resumirse de la siguiente forma:

En Vehículo motorizado

- Huaraz – Yungay (carretera asfaltada) 54km
- Yungay – Km 42 (carretera afirmada) 42km

Por camino de herradura

Desde el Km 42 de la ruta a los pueblo de Yanama, se recorre un sendero de 2.75 km aproximadamente hasta el glaciar, esto se cubre en 2 horas 45 minutos. Para el ascenso al glaciar, desde el campamento morrena atravesar a la derecha rodeando la base del macizo rocoso, el glaciar presenta pendientes de 45 grados, así mismo presenta grietas que hay que ir esquivando.



Fotografía 01. Vista del glaciar Yanapaccha.

3.2. Acceso al glaciar Shallap

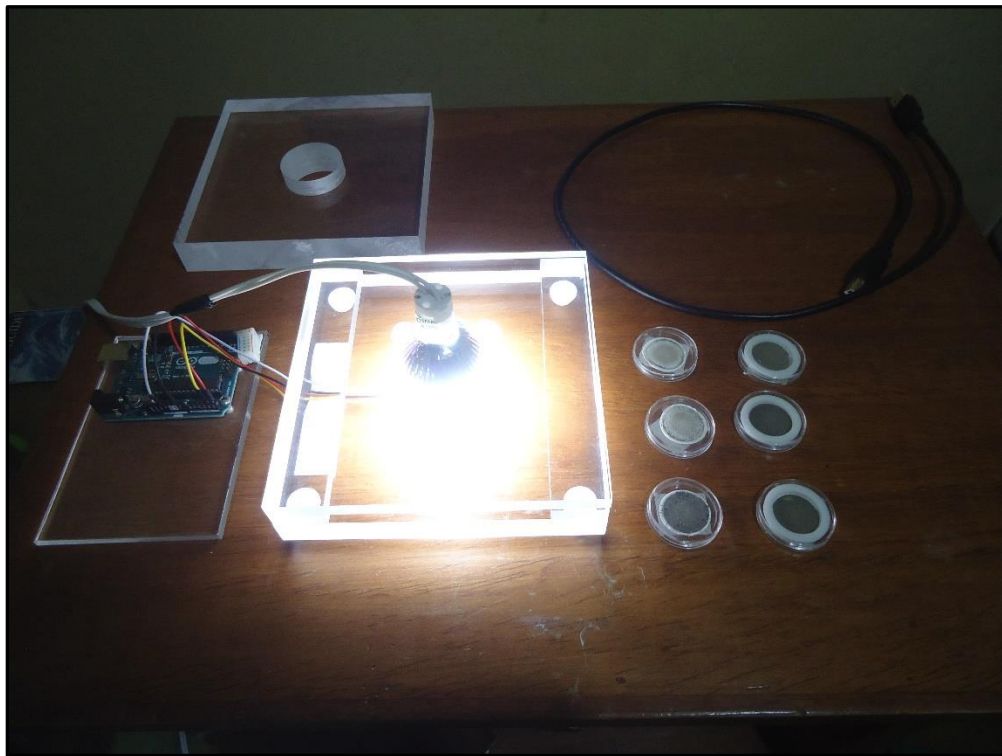
El acceso desde Huaraz, se efectúa utilizando la vía carrozable hacia Jancu, hasta la misma portada de la quebrada Shallap (1 hora), pasando por pequeños pueblos como Ichoca y Coyllur. De Jancu a la laguna (Shallap), existe un camino de herradura que toma aproximadamente tres horas de recorrido a pie. De la laguna Shallap al glaciar, existe un camino de herradura de difícil acceso por su elevada pendiente que toma dos horas de recorrido a pie.



Fotografía 02. Vista del glaciar Shallap.

4. ANÁLISIS DE FILTROS BAJO EL MÉTODO LAHM

Estos datos fueron proporcionados por el Dr. Carl G. Schmitt del National Center for Atmospheric Research (NCAR) y del programa American Climber Science Program (ACSP), quien analizó los filtros bajo la metodología LAHM (Método de Absorción de Luz de Calefacción). Esta técnica consiste en el análisis mediante un instrumento experimental donde se evalúa la absorción de la radiación solar en el rango de longitud de onda visible por las partículas de carbono negro en el filtro. Registrando un aumento de temperatura en los filtros después de 10 segundos de exposición a la luz visible se utiliza una ecuación de ajuste para determinar la masa de carbono negro presente en el filtro.



Fotografía 03. Diseño experimental de equipo de medición.

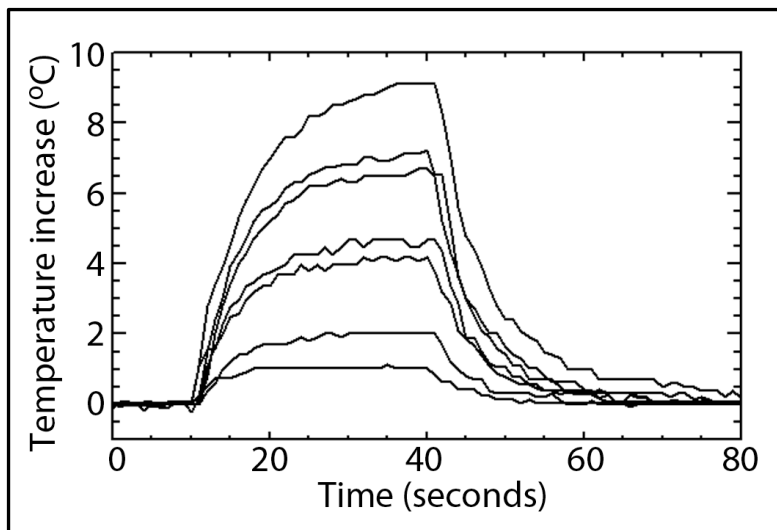


Figura 01: Perfiles de Temperatura para siete filtros.

4.1. Resultados de análisis de filtros

Mediante el análisis de los filtros bajo la metodología de absorción de luz de calefacción (LAHM), se obtuvo los siguientes resultados de masas de carbono negro determinado en cada filtro para ambos glaciares de estudio. La unidad de masa para el carbono negro es “nano-gramos de carbono negro por gramo de nieve”, a continuación se detallan los resultados:

4.1.1. Glaciar Yanapaccha

Una muestra de nieve se recolectó en el glaciar Yanapaccha desde el mes de octubre de 2015 a una altitud cercana a los 5000 m.s.n.m., a partir del mes de abril de 2016 se recolectaron muestras de nieve en cada zona del glaciar (Acumulación, Línea de equilibrio y Ablación).

Masas de carbono negro en el glaciar Yanapaccha		
Mes/Año	Carbono Negro (BC)	
Oct-2015		10.66 ng/g
Nov-2015		11.62 ng/g
Dic-2015		18.51 ng/g
Ene-2016		205.19 ng/g
Feb-2016		497.55 ng/g
Mar-2016		280.01 ng/g
Abr-2016	Zona	Acumulación = 95.81 ng/g
		Línea de Equilibrio = 117.77 ng/g
		Ablación = 398.42 ng/g
May-2016	Zona	Acumulación = 135.68 ng/g
		Línea de Equilibrio = 565.334 ng/g
		Ablación = 814.51 ng/g
Jun-2016	Zona	Acumulación = 161.59 ng/g
		Línea de Equilibrio = 171.24 ng/g
		Ablación = 122.12 ng/g
Jul-2016	Zona	Acumulación = 198.58 ng/g
		Línea de Equilibrio = 224.39 ng/g
		Ablación = 356.13 ng/g

Tabla 01: Carbono Negro presente en nieve del glaciar Yanapaccha.

La unidad de masa del carbono negro está determinado en nano-gramos de carbono negro por gramo de nieve (ng/g).

4.1.2. Glaciar Shallap

Una muestra de nieve se recolectó en el glaciar Shallap desde el mes de octubre de 2015 a una altitud cercana a los 5000 m.s.n.m., a partir del mes de abril de 2016 se recolectaron muestras de nieve en cada zona del glaciar (Acumulación, Línea de equilibrio y Ablación).

Masas de carbono negro en el glaciar Shallap		
Mes/Año	Carbono Negro (BC)	
Oct-2015	350.22 ng/g	
Nov-2015	205.74 ng/g	
Dic-2015	61.36 ng/g	
Ene-2016	393.32 ng/g	
Feb-2016	425.30 ng/g	
Mar-2016	381.01 ng/g	
Abr-2016	Zona	Acumulación = 172.40 ng/g
		Línea de Equilibrio = 257.36 ng/g
		Ablación = 711.01 ng/g
May-2016	Zona	Acumulación = 711.01 ng/g
		Línea de Equilibrio = 283.23 ng/g
		Ablación = 1047.07 ng/g
Jun-2016	Zona	Acumulación = 1583.29 ng/g
		Línea de Equilibrio = 263.20 ng/g
		Ablación = 514.13 ng/g
Jul-2016	Zona	Acumulación = 1005.05 ng/g
		Línea de Equilibrio = 431.41 ng/g
		Ablación = 653.18 ng/g
Ago-2016	Zona	Acumulación = 363.05 ng/g
		Línea de Equilibrio = 633.97 ng/g
		Ablación = 750.84 ng/g

Tabla 02: Carbono Negro presente en nieve del glaciar Shallap.

La unidad de masa del carbono negro está determinado en nano-gramos de carbono negro por gramo de nieve (ng/g).

5. PROCEDIMIENTO DE GABINETE

5.1. Ordenamiento de Datos de Carbono Negro

En esta etapa se ordenaron los valores de carbono negro según los meses de muestreo en cada uno de los glaciares.

GLACIAR YANAPACCHA					
Año	Muestra de Mes	Fecha de Expedición	Hora de Muestreo	Carbono Negro (BC)	Unidad
2015	Oct	09 – 10 Nov	11:00 am	10.66	ng/g
2015	Nov	04 – 05 Dic	08:45 am	11.62	ng/g
2015	Dic	30 – 31 Dic	09:00 am	18.51	ng/g
2016	Ene	28 – 29 Ene	08:45 am	205.19	ng/g
2016	Feb	27 – 28 Feb	08:00 am	497.55	ng/g
2016	Mar	26 – 27 Mar	08:00 am	280.01	ng/g

2016	Abr	01 – May	12:40 pm	95.81	ng/g
			13:10 pm	117.77	
			14:00 pm	398.42	
2016	May	04-Jun	12:33 pm	135.68	ng/g
			12:57 pm	565.33	
			13:33 pm	814.51	
2016	Jun	28 – 29 Jun	11:40 am	161.59	ng/g
			12:06 pm	171.24	
			12:20 pm	122.12	
2016	Jul	27 – 28 Jul	11:20 am	198.58	ng/g
			11:45 am	224.39	
			12:15 pm	356.13	

Tabla 03: Datos ordenados para el glaciar Yanapaccha.

GLACIAR SHALLAP					
Año	Muestra de Mes	Fecha de Expedición	Hora de Muestreo	Carbono Negro (BC)	Unidad
2015	Oct	31 – 01 Nov	08:20 am	350.22	ng/g
2015	Nov	11 – 12 Dic	08:30 am	205.74	ng/g
2015	Dic	27 – 28 Dic	08:30 am	61.36	ng/g
2016	Ene	23 – 24 Ene	08:20 am	393.32	ng/g
2016	Feb	25 – 26 Feb	10:00 am	425.30	ng/g
2016	Mar	23 – 24 Mar	10:00 am	381.01	ng/g
2016	Abr	27 – 28 Abr	16:00 pm	172.40	ng/g
			16:40 pm	257.36	
			17:20 pm	711.01	
2016	May	28 - 29 May	16:00 pm	283.23	ng/g
			16:30 pm	1047.07	
			16:50 pm	1583.29	
2016	Jun	23 – 24 Jun	08:20 am	263.20	ng/g
			08:40 am	514.13	
			09:10 am	1005.05	

2016	Jul	30 – 31 Jul	08:30 am	403.64	ng/g
			09:00 am	431.41	
			09:25 am	653.18	
2016	Ago	27 – 28 Ago	10:28 am	363.05	ng/g
			10:50 am	633.98	
			11:20 am	750.84	

Tabla 04: Datos ordenados para el glaciar Shallap.

5.2. Obtención y Tratamiento de Datos de Radiación Solar

Los datos de radiación solar directa se obtuvieron de estaciones meteorológicas ubicadas en la morrena de los glaciares Shallap y Artesonraju. Estas estaciones pertenecen a la Universidad de Innsbruck y están a cargo del Dr. Georg Kaser.

El Dr. G. Kaser y el Dr. Carl Schmitt (NCAR – ACSP), coordinaron compartir datos meteorológicos para realizar investigaciones relacionadas a los glaciares y montaña. Estos datos tienen mayor representatividad con los glaciares en estudio, ya que están ubicados en cercanías de los glaciares (Shallap y Artesonraju), para el glaciar Yanapaccha se utilizará los datos del glaciar Artesonraju por su similitud de ubicación geográfica y por la cercanía entre ambos glaciares. Estos datos se obtuvieron en bruto (sin procesar) para su procesamiento, los valores de radiación solar en ambas estaciones meteorológicas se registran a cada 30 min, se obtuvo la energía (radicación solar) que llega sobre la estación meteorológica en 60 min, de esta manera se ordenó los valores de energía por hora para cada día de los meses descritos, la unidad de radiación solar es vatios por metro cuadrado (W/m^2).

Para el glaciar Shallap: Hasta el mes de agosto de 2016.

Para el glaciar Artesonraju: Hasta el mes de julio de 2016.

A continuación se describe el tratamiento que se realizó con los datos de radiación solar:

- Preparar un archivo Excel para ordenar los datos según mes y estación meteorológica.
- Realizar la sumatoria horaria de radiación solar para cada día de los meses.
- Realizar la sumatoria total de radiación solar (energía) para cada mes de estudio, obteniendo la energía total que llega a cada glaciar.

El total de energía que llega al glaciar Shallap en forma de radiación solar para cada mes de estudio es:

Mes/Año	(ET) Energía Total (W/m ²)
Oct - 2015	377870.6332
Nov - 2015	306620.1766
Dic - 2015	331259.5288
Ene - 2016	378934.4806
Feb - 2016	309243.4727
Mar - 2016	335525.3126
Abr - 2016	322063.3876
May - 2016	333760.7393
Jun - 2016	318869.9967
Jul - 2016	383196.0868
Ago - 2016	370242.1215

Tabla 16: Energía total para cada mes en el glaciar Shallap.



La unidad de medida de la radiación solar es watts (vatio) por metro cuadrado (W/m²), esta energía será utilizada como base para estimar la cantidad de energía que absorbe el carbono negro y la cantidad de nieve que se funde a causa del carbono negro.

Fotografía 04: Estación meteorológica ubicada en la morrena del glaciar Shallap.

El total de energía que llega al glaciar Artesonraju en forma de radiación solar para cada mes de estudio es:

Mes/Año	(ET) Energía Total (W/m ²)
Oct - 2015	348500.9979
Nov - 2015	303620.3446
Dic - 2015	340541.3611
Ene - 2016	397205.7936
Feb - 2016	301059.5498
Mar - 2016	322862.7870
Abr - 2016	339821.9835
May - 2016	353073.4145
Jun - 2016	324384.3499
Jul - 2016	370388.6068

Tabla 27: Energía total para cada mes en el glaciar Artesonraju.

Estos datos de radiación solar se obtuvieron de la estación meteorológica ubicada en el glaciar Artesonraju (Quebrada de Parón), asumiremos que esta misma energía llega al glaciar Yanapaccha, estos datos tienen mayor representatividad que los datos de la estación meteorológica del laboratorio CIIADERS – UNASAM – FCAM localizado en el centro poblado de Tingua (Yungay), ya que cumple con similares características de tiempo y ubicación geográfica con el glaciar Yanapaccha. Por el momento se cuenta con datos de radiación solar solo hasta el mes de julio de 2016 de esta estación, en un futuro informe se completará los meses siguientes con sus correspondientes cálculos de energía absorbida y nieve fundida a causa del carbono negro. Para un futuro trabajo de investigación de carbono negro en glaciares se recomienda la adquisición de piranómetros, para instalar de manera permanente en glaciares de interés y disponer de datos de radiación solar de manera inmediata.

5.3. Aplicación de la Simulación SNICAR

Se utilizó la simulación SNICAR (Snow, Ice, Aerosol and Radiation) para simular el albedo de la nieve superficial, así como la absorción dentro de la capa de nieve. En esta simulación se ingresaron los valores de carbono negro obtenidos bajo la metodología LAHM para cada uno de los meses y para cada uno de los glaciares en estudio. A partir de ello se obtuvo una estimación al efecto radiativo (albedo) de la nieve sin y con carbono negro.

A continuación se muestra el portal de la simulación SNICAR para el albedo de la nieve:

The screenshot shows a web browser window titled "SNICAR-Online: Snow albedo simulation". The page contains various input fields and dropdown menus for specifying environmental parameters. Key inputs include:
1a. Incident radiation: Direct (radio button selected).
1b. Solar zenith angle, if incident radiation is direct (0-89 degrees): 60 degrees.
2. Surface spectral distribution: Mid-latitude winter, clear-sky (radio button selected).
3. Snow grain effective radius (30-1500 microns): 100 μm .
4. Snowpack thickness: 1 meters.
5. Snowpack density: 200 kg/m^3 .
6. Albedo of underlying ground: Visible (0.3-0.7 μm): 0.2, Near-infrared (0.7-5.0 μm): 0.4.
7. Black carbon concentration (ppb, or nanograms of BC per gram of ice): Uncoated: 0 ppb, MAC scaling factor (experimental): 1.0. Sulfate-coated: 0 ppb.
8. Dust concentration (ppm, or micrograms of dust per gram of ice): Size 1 (0.1-1.0 μm diameter): 0 ppm, Size 2 (1.0-2.5 μm diameter): 0 ppm, Size 3 (2.5-5.0 μm diameter): 0 ppm, Size 4 (5.0-10.0 μm diameter): 0 ppm.
9. Volcanic ash concentration (ppm, or micrograms of ash per gram of ice): 0 ppm.
10. Experimental particle 1 concentration (ppb, or nanograms of particle per gram of ice): 0 ppb.
At the bottom, there is a note: "Click "Submit" to display spectral albedo and solar broadband (0.3-5.0 μm) albedo." followed by "Submit" and "Reset" buttons.

Figura 02: Portal de la simulación SNICAR.

Se ingresó al portal y se eligió las características del área de muestreo, además de ingresar los valores de carbono negro determinados en los filtros. Los datos elegidos e ingresados fueron por recomendación del Dr. Carl Schmitt. (NCAR)

Los datos que se ingresaron en la simulación SNICAR son:

1a. Radiación Incidente	<i>Elección: Directa.</i>
1b. Ángulo cenital solar, si la radiación incidente es directa (0-89 grados)	<i>Ingreso: 30 grados</i>
2. Distribución de superficie espectral	<i>Elección: El invierno de mitad de latitud, con cielo despejado</i>

3. Radio efectivo del grano de nieve (30-1500 micras)	<i>Ingreso: 500 micras</i>
4. Espesor de capa de nieve	<i>Ingreso: 10 metros</i>
5. Densidad de capa de nieve	<i>Ingreso: 400 kg/m³</i>
6. El albedo del suelo subyacente	<i>Ingreso: Visible 0.5 um – Infrarrojo cercano 0.4 um</i>
7. Concentración de carbón negro (ppb o nanogramos de BC por gramo de hielo)	<i>Ingreso: Valores en nano-gramos de carbono negro para cada mes de muestreo</i>

Tabla 28: Datos elegidos e ingresados en la simulación SNICAR.

A partir del punto 8 se asume un valor cero, debido a que no se considera estos parámetros en la investigación. Los valores se ingresan según las características de nuestra área de estudio y muestra, la primera simulación se realiza como línea base para un albedo sin presencia de carbono negro ($BC=0.0\text{ng/g}$), teniendo en cuenta que una superficie que refleja perfectamente la totalidad de la radiación que recibe tiene una aproximación al valor 1, mientras que 0 indica que no refleja nada.

5.3.1. Aplicación de SNICAR para el glaciar Yanapaccha

Ingresando al portal de la simulación SNICAR se procedió a fijar una línea base para el albedo de la nieve sin contenido de carbono negro (BC). De inmediato se ingresó los valores de carbono negro obtenidos para el glaciar Yanapaccha en cada mes de muestreo, con el fin obtener la afectación al albedo de la nieve en este glaciar. A continuación se describe el procedimiento efectuado en esta etapa:

a. Línea Base para albedo de nieve (para BC=0.0 ng/g)

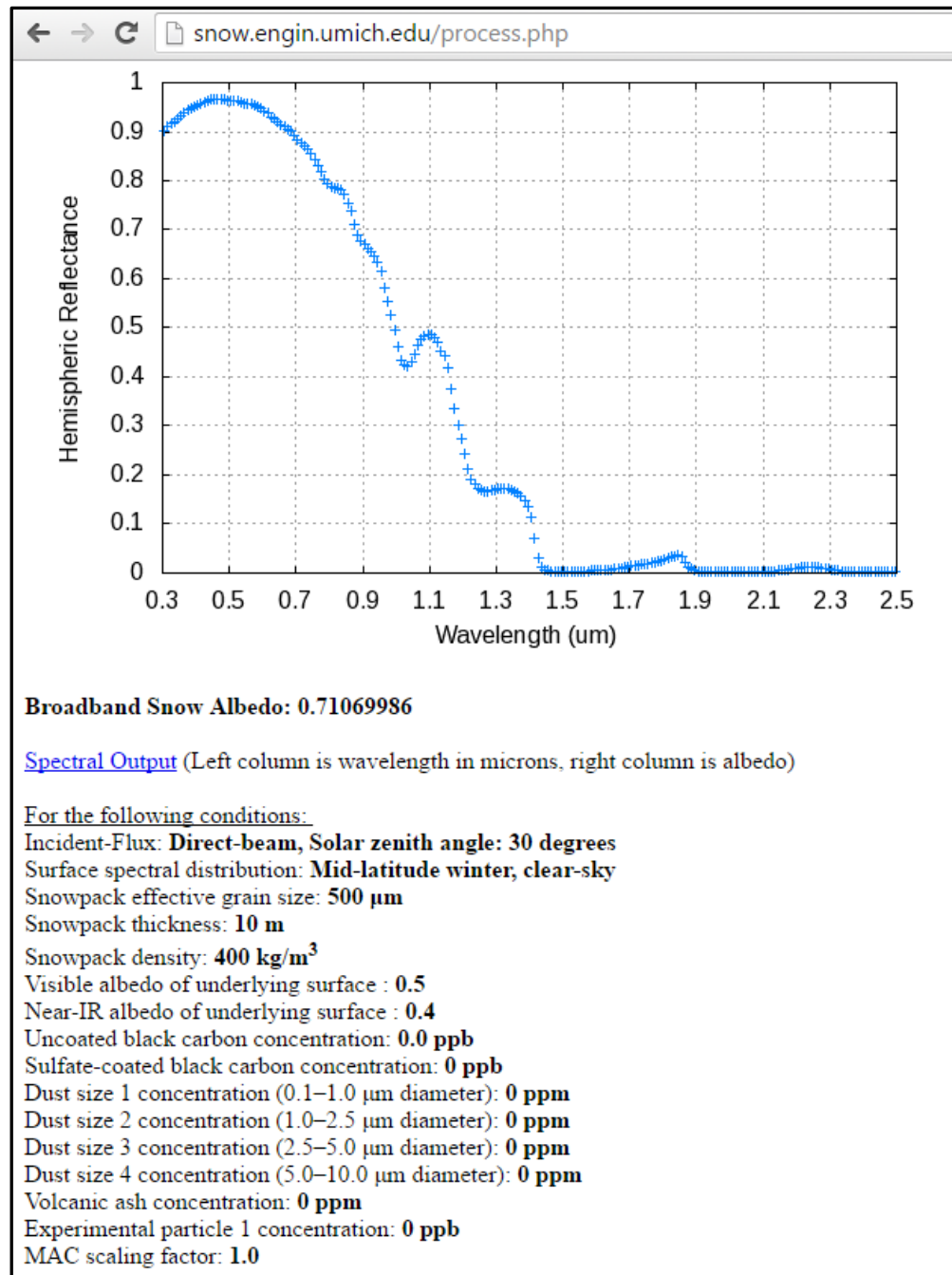


Figura 03: Albedo de la nieve para una masa de carbono negro igual a cero.

Se obtuvo el albedo de la nieve para una concentración con cero de carbono negro, igual a 0.71069986 este valor servirá como línea base para comparar la variación del albedo en cada glaciar de estudio a medida que se ingresen los valores de carbono negro para cada mes de muestreo.

b. Simulación de albedo para el mes de octubre 2015.

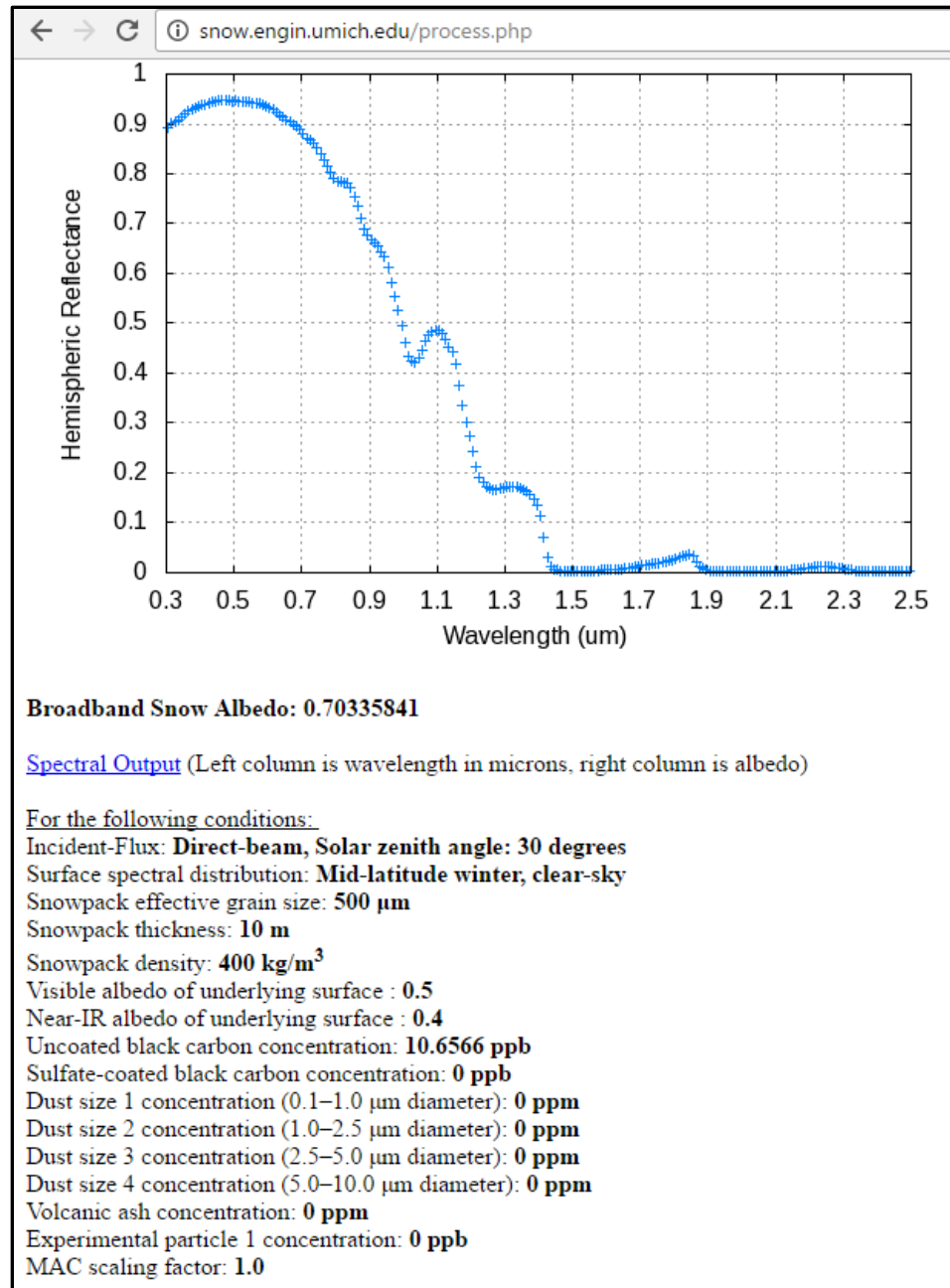


Figura 04: Albedo de nieve para el mes de octubre 2015 en el glaciar Yanapaccha.

Ingresando el valor de carbono negro obtenido bajo el método LAHM para este mes (10.6566 ng/g) se obtuvo un albedo de 0.70335841.

c. Simulación de albedo para el mes de noviembre 2015.

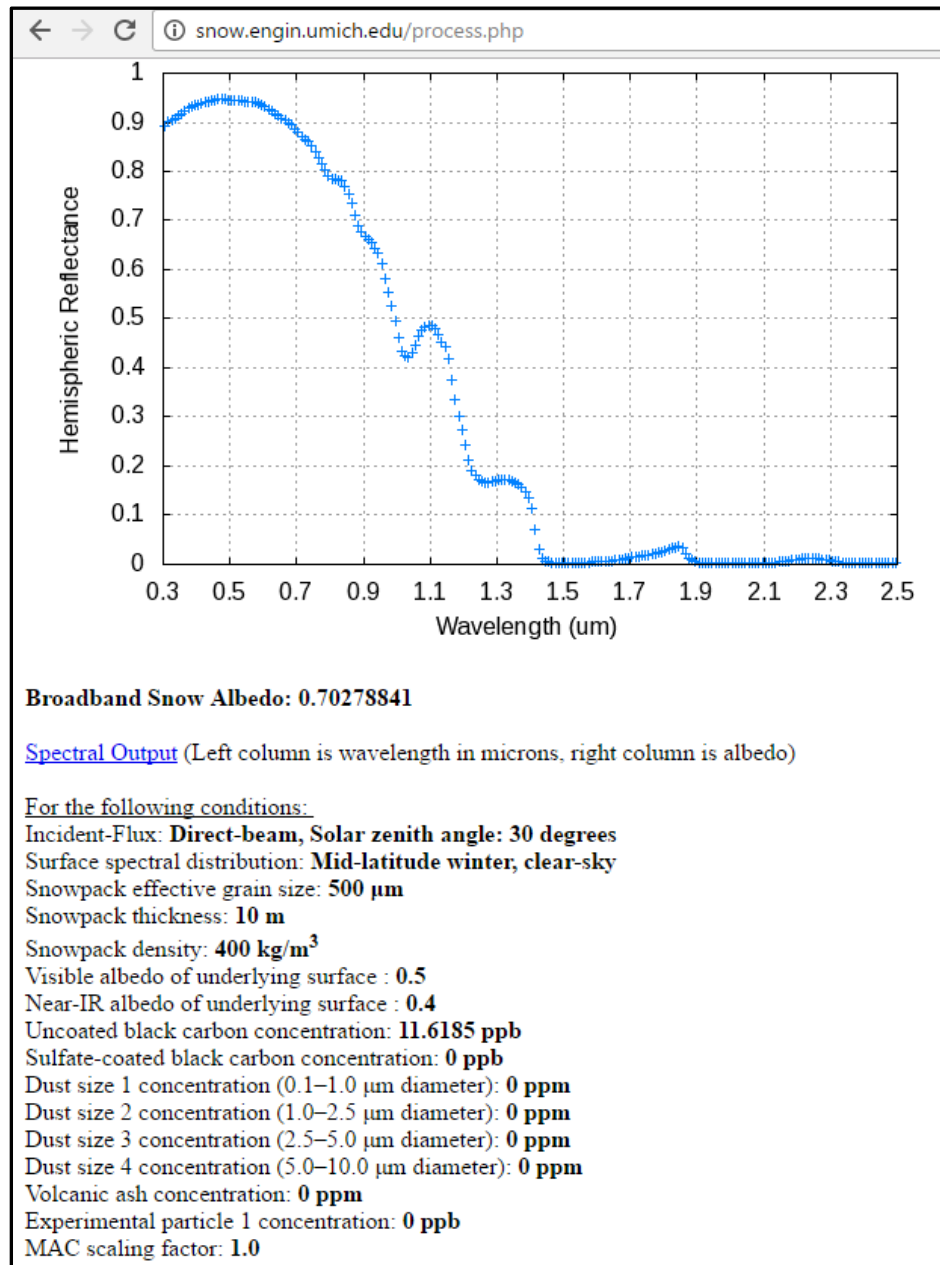


Figura 05: Albedo de nieve para el mes de noviembre 2015 en el glaciar Yanapaccha.

Ingresando el valor de carbono negro obtenido bajo el método LAHM para este mes (11.6185 ng/g) se obtuvo un albedo de 0.70278841.

d. Simulación de albedo para el mes de diciembre 2015.

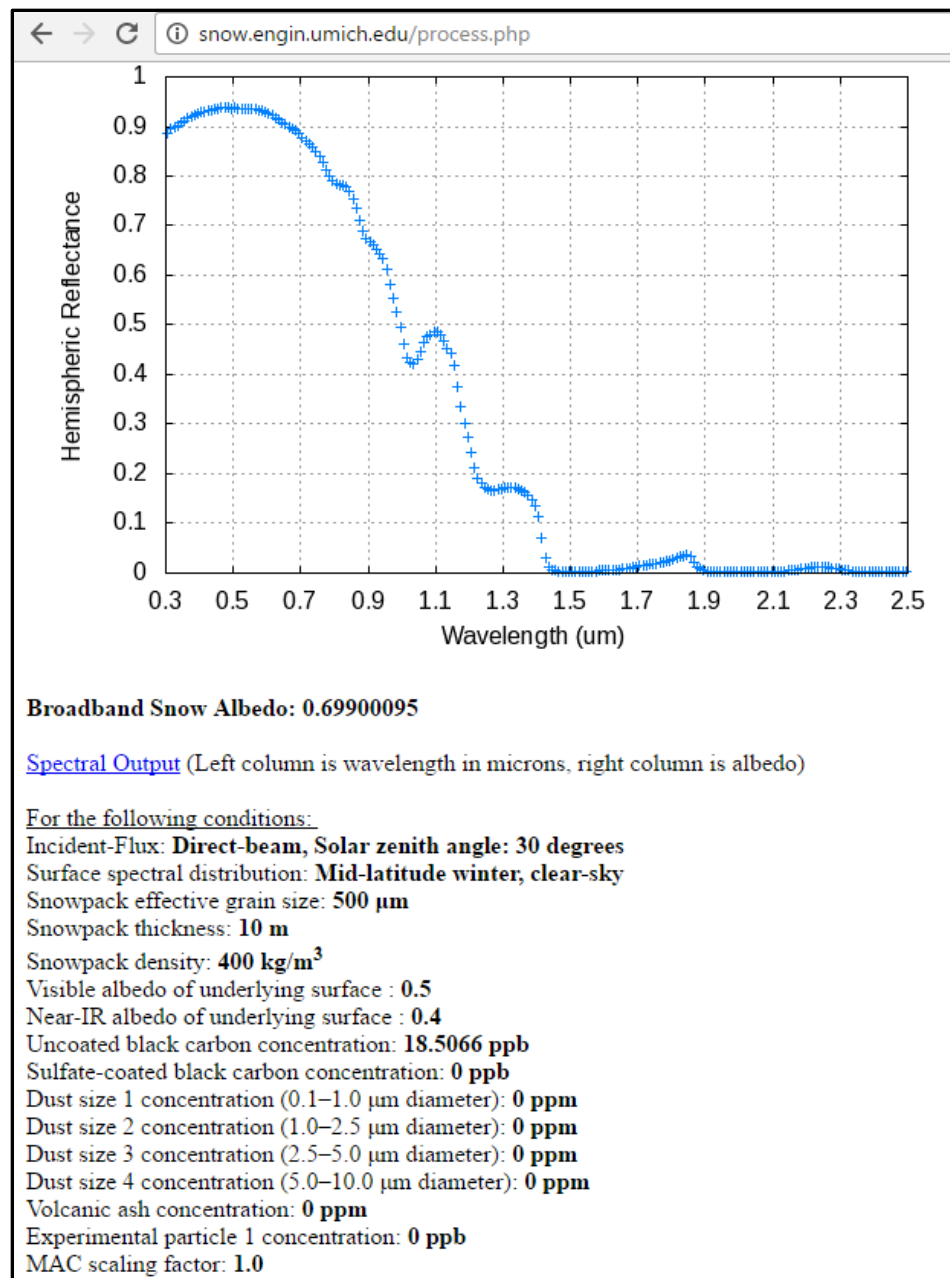


Figura 06: Albedo de nieve para el mes de diciembre 2015 en el glaciar Yanapaccha.

Ingresando el valor de carbono negro obtenido bajo el método LAHM para este mes (18.5066 ng/g) se obtuvo un albedo de 0.69900095.

e. Simulación de albedo para el mes de enero 2016.

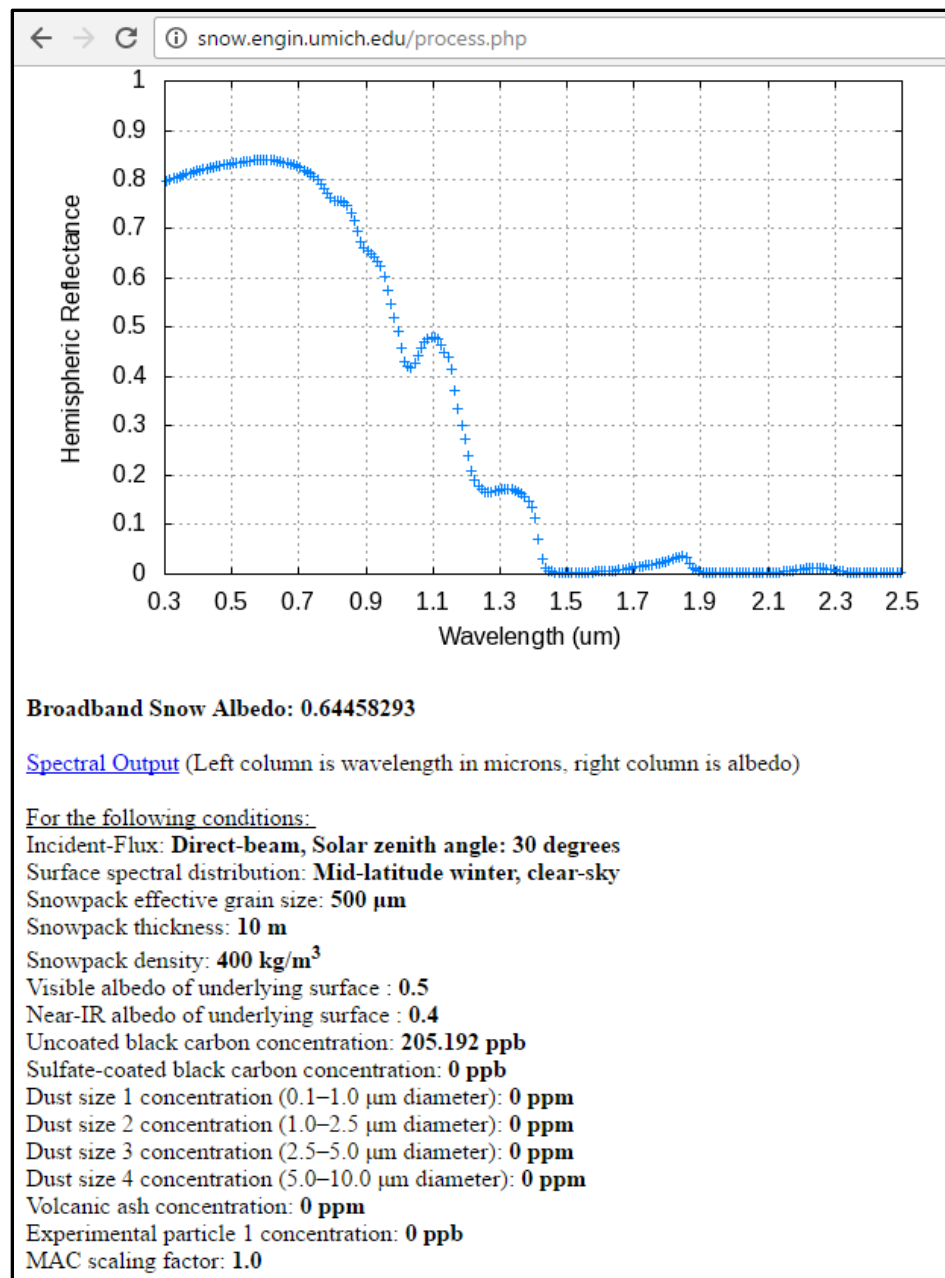


Figura 07: Albedo de nieve para el mes de enero 2016 en el glaciar Yanapaccha.

Ingresando el valor de carbono negro obtenido bajo el método LAHM para este mes (205.192 ng/g) se obtuvo un albedo de 0.64458293.

f. Simulación de albedo para el mes de febrero 2016.

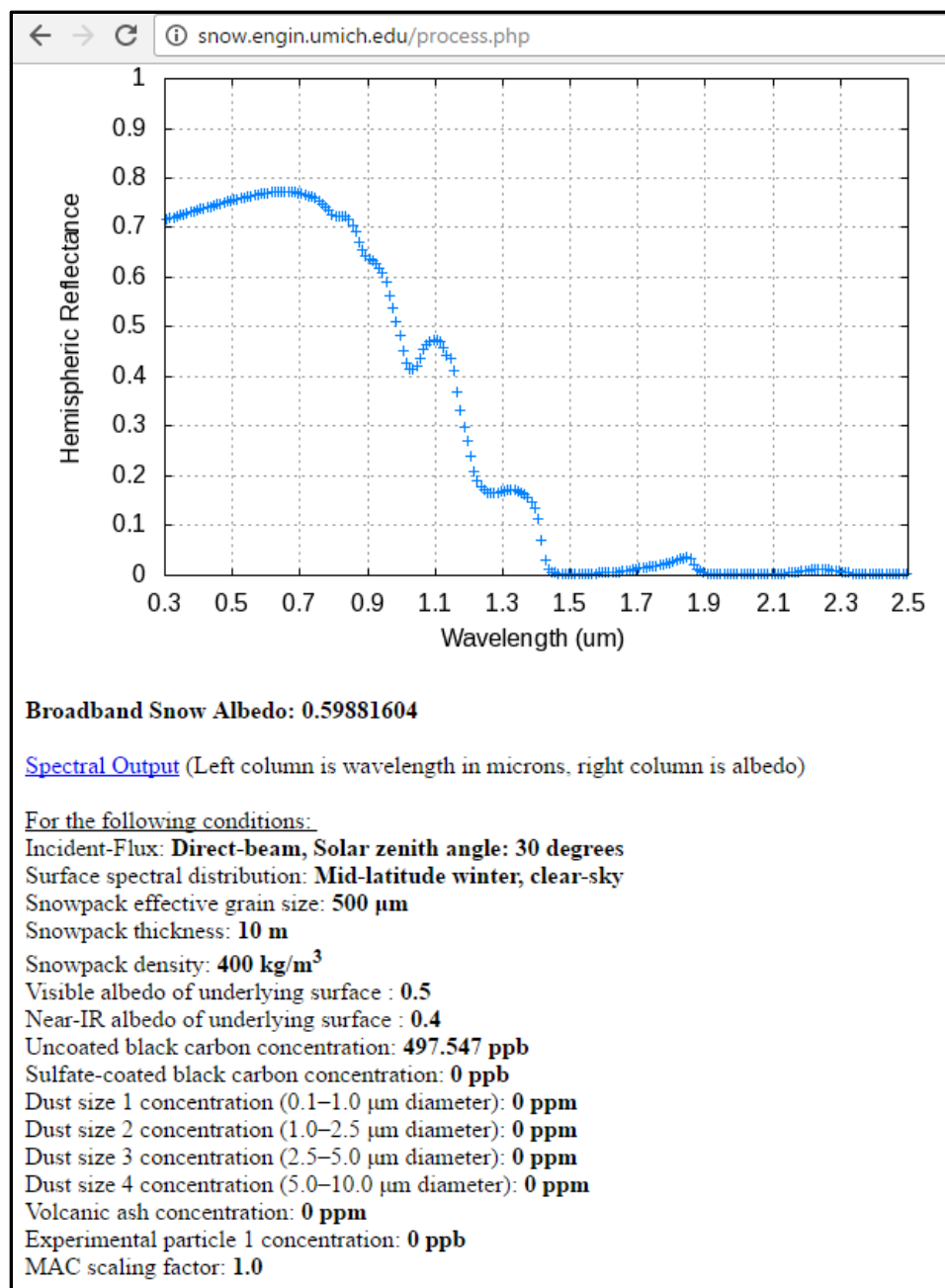


Figura 08: Albedo de nieve para el mes de febrero 2016 en el glaciar Yanapaccha.

Ingresando el valor de carbono negro obtenido bajo el método LAHM para este mes (497.547 ng/g) se obtuvo un albedo de 0.59881604.

g. Simulación de albedo para el mes de marzo 2016.

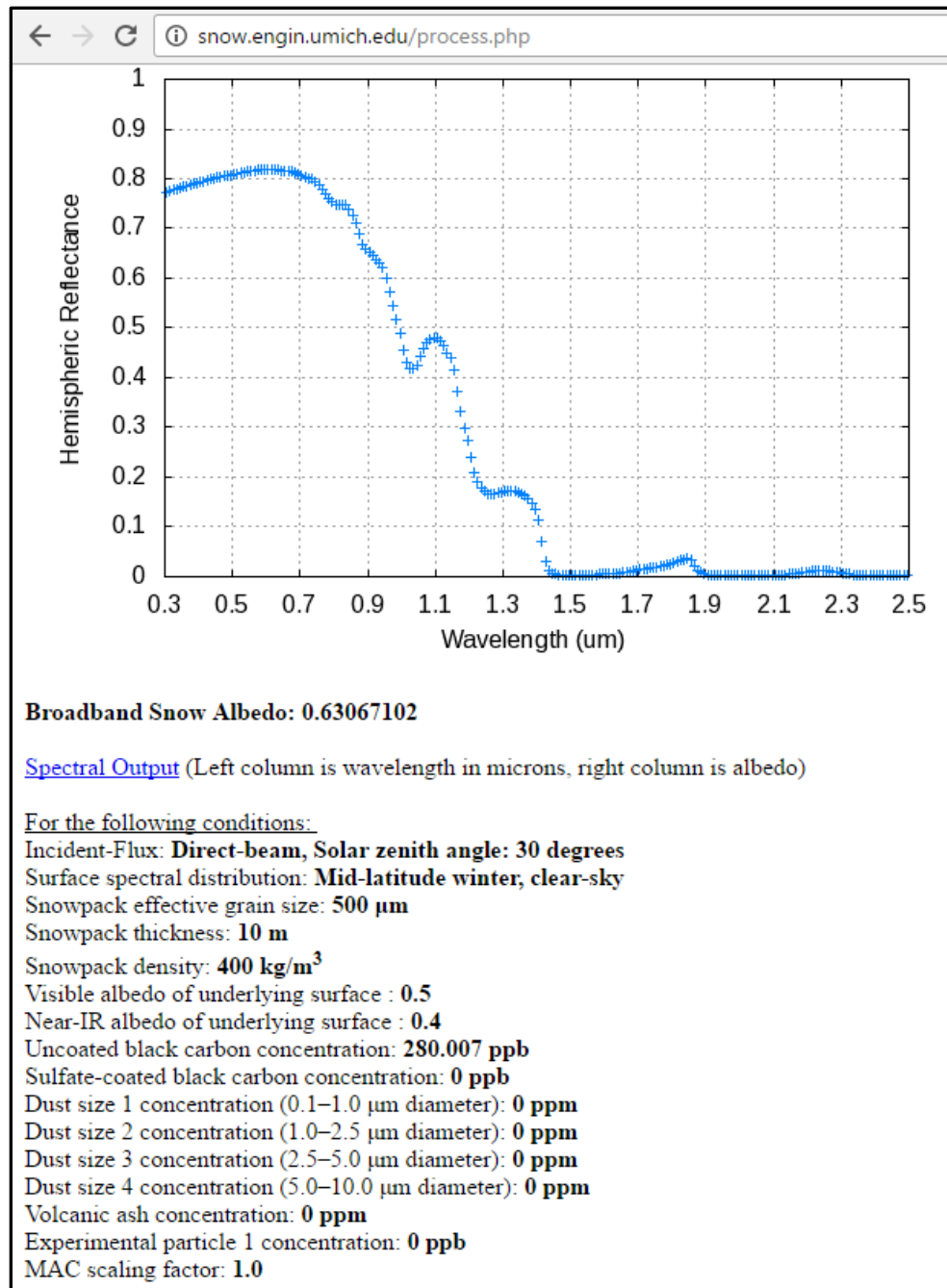


Figura 09: Albedo de nieve para el mes de marzo 2016 en el glaciar Yanapaccha.

Ingresando el valor de carbono negro obtenido bajo el método LAHM para este mes (280.007 ng/g) se obtuvo un albedo de 0.63067102.

h. Simulación de albedo para el mes de abril 2016 – zona de acumulación.

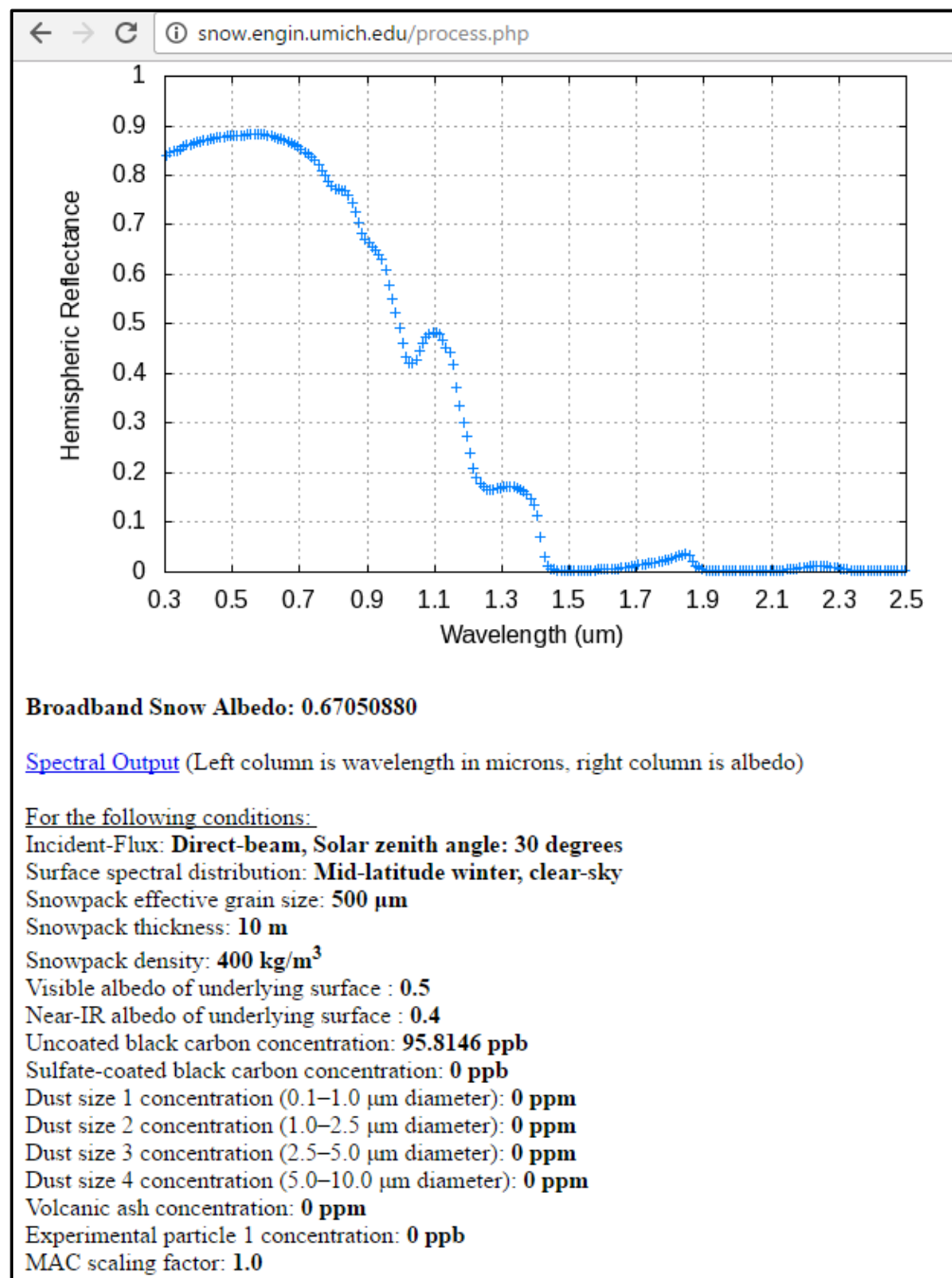


Figura 10: Albedo de nieve para el mes de abril 2016 para la zona de acumulación en el glaciar Yanapaccha.

Ingresando el valor de carbono negro obtenido bajo el método LAHM para este mes en la zona acumulación (95.8146 ng/g) donde se obtuvo un albedo de 0.67050880.

i. Simulación de albedo para el mes de abril 2016 – Línea de equilibrio.

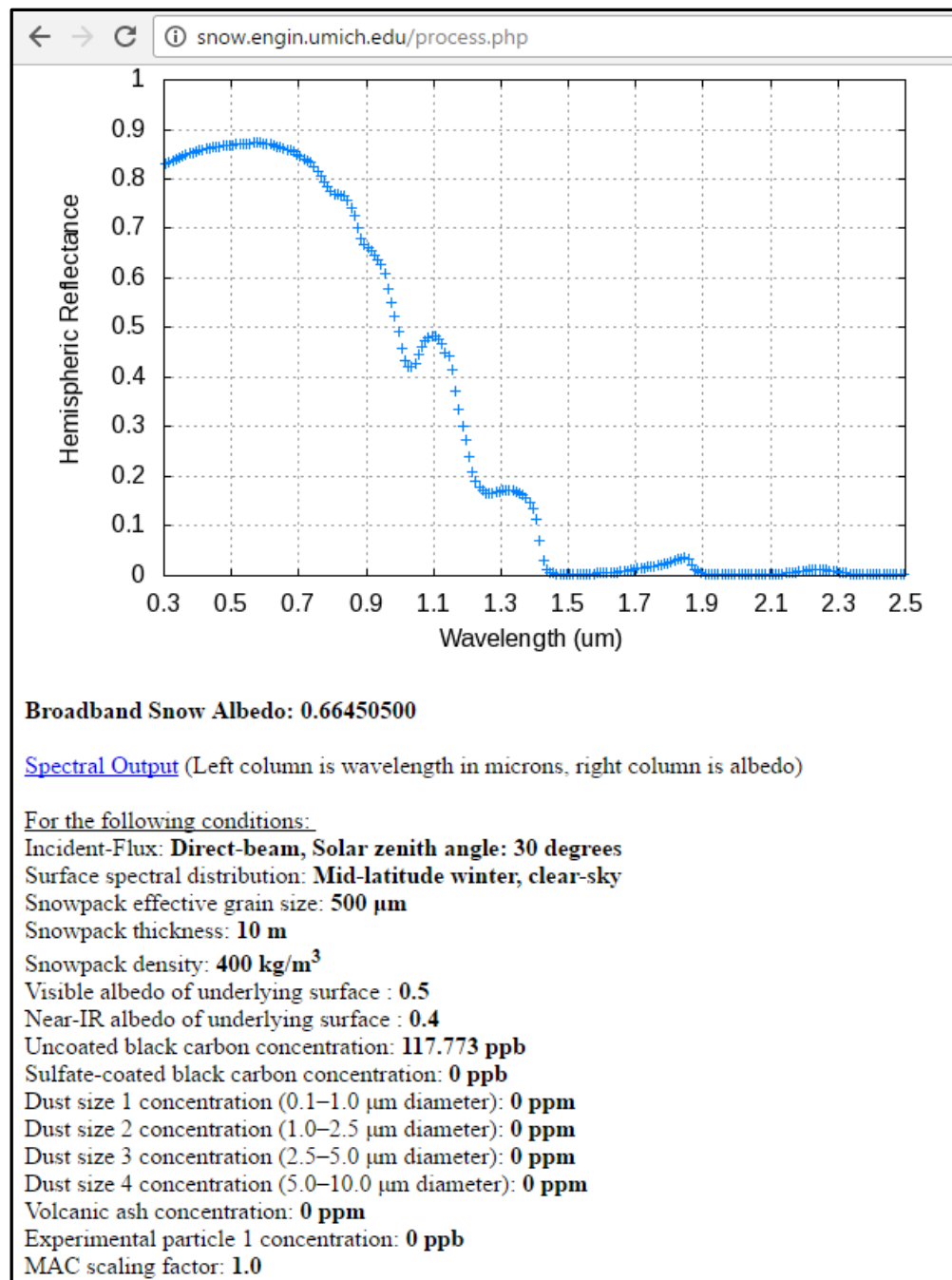


Figura 11: Albedo de nieve para el mes de abril 2016 para la línea de equilibrio en el glaciar Yanapaccha.

Ingresando el valor de carbono negro obtenido bajo el método LAHM para este mes en la línea de equilibrio (117.773 ng/g) donde se obtuvo un albedo de 0.66450500.

j. Simulación de albedo para el mes de abril 2016 – zona ablación.

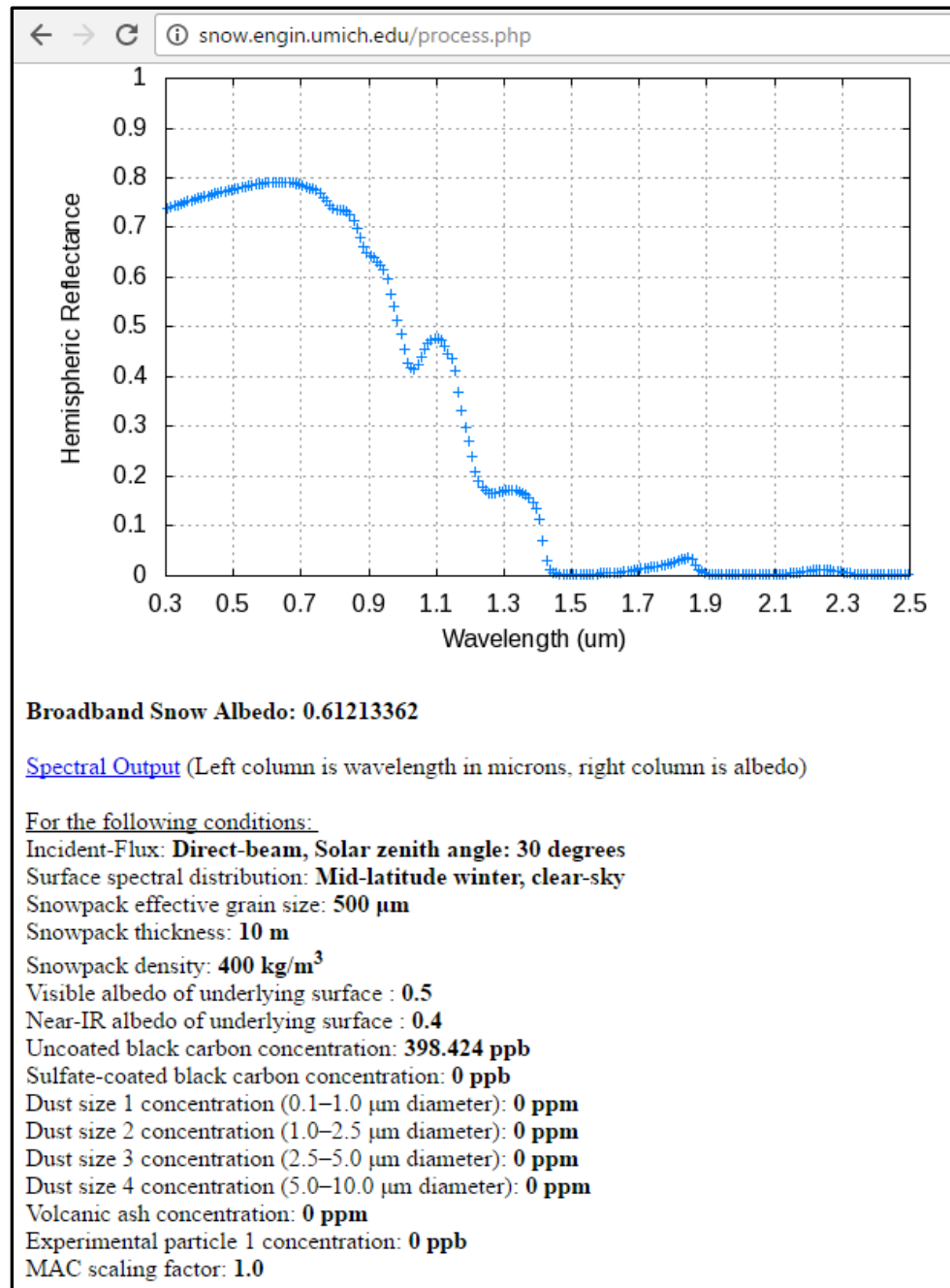


Figura 12: Albedo de nieve para el mes de abril 2016 para la zona de ablación en el glaciar Yanapaccha.

Ingresando el valor de carbono negro obtenido bajo el método LAHM para este mes en la zona de ablación (398.424 ng/g) donde se obtuvo un albedo de 0.61213362.

k. Simulación de albedo para el mes de mayo 2016 – zona de acumulación.

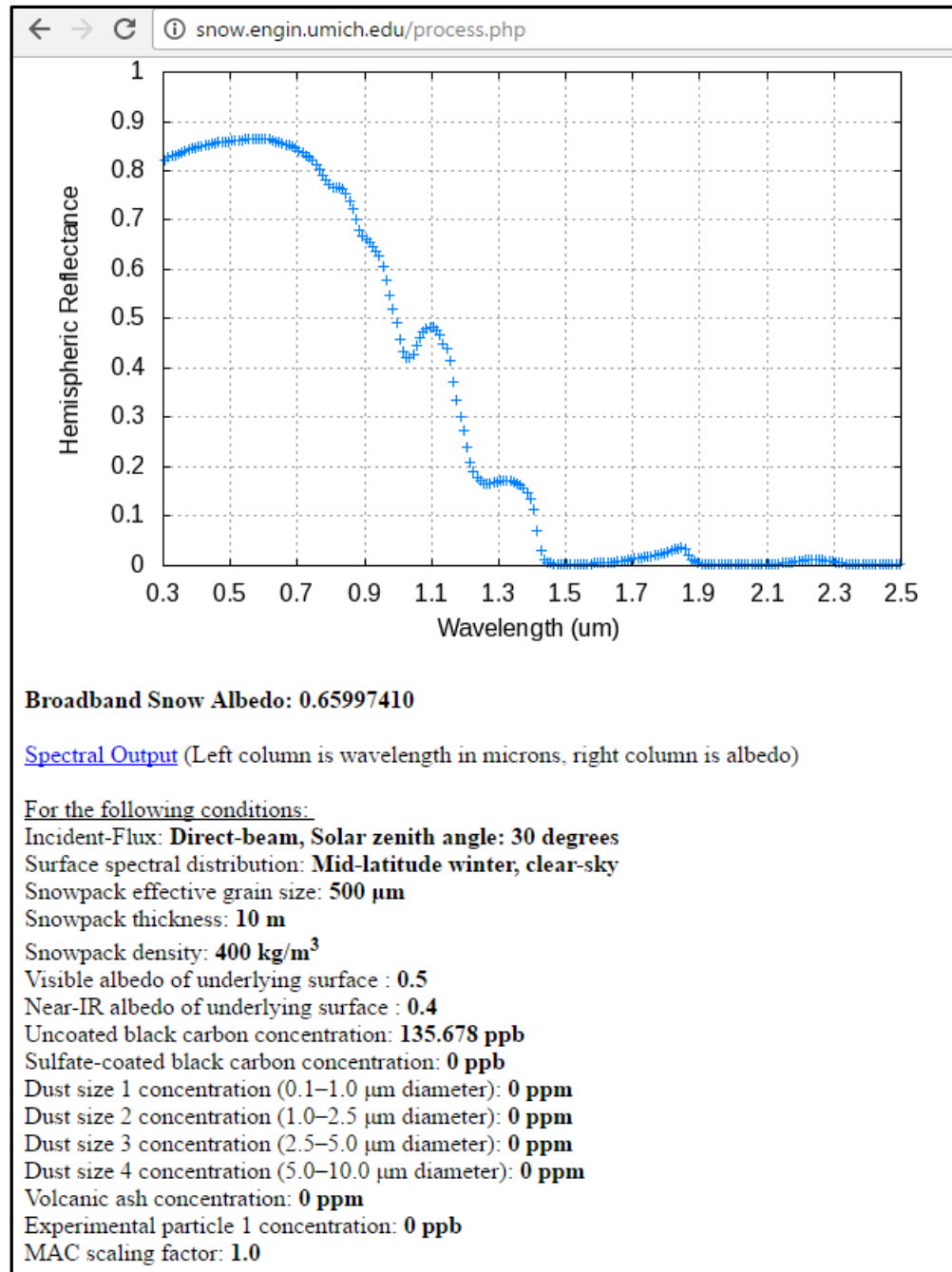


Figura 13: Albedo de nieve para el mes de mayo 2016 para la zona de acumulación en el glaciar Yanapaccha.

Ingresando el valor de carbono negro obtenido bajo el método LAHM para este mes en la zona de acumulación (135.678 ng/g) donde se obtuvo un albedo de 0.65997410.

I. Simulación de albedo para el mes de mayo 2016 – Línea de equilibrio.

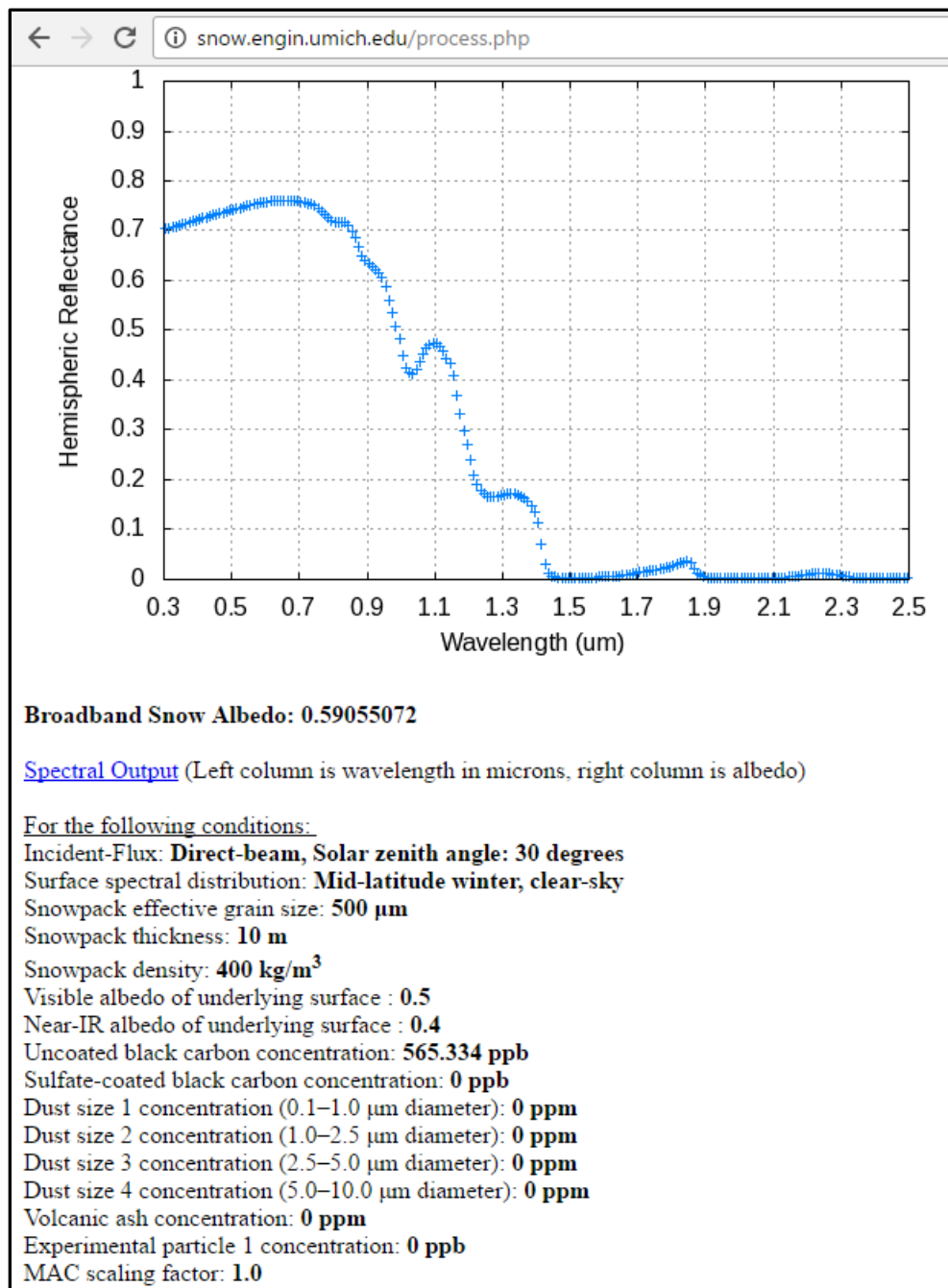


Figura 14: Albedo de nieve para el mes de mayo 2016 para la línea de equilibrio en el glaciar Yanapaccha.

Ingresando el valor de carbono negro obtenido bajo el método LAHM para este mes en la línea de equilibrio (565.334 ng/g) donde se obtuvo un albedo de 0.59055072.

m. Simulación de albedo para el mes de mayo 2016 – zona ablación.

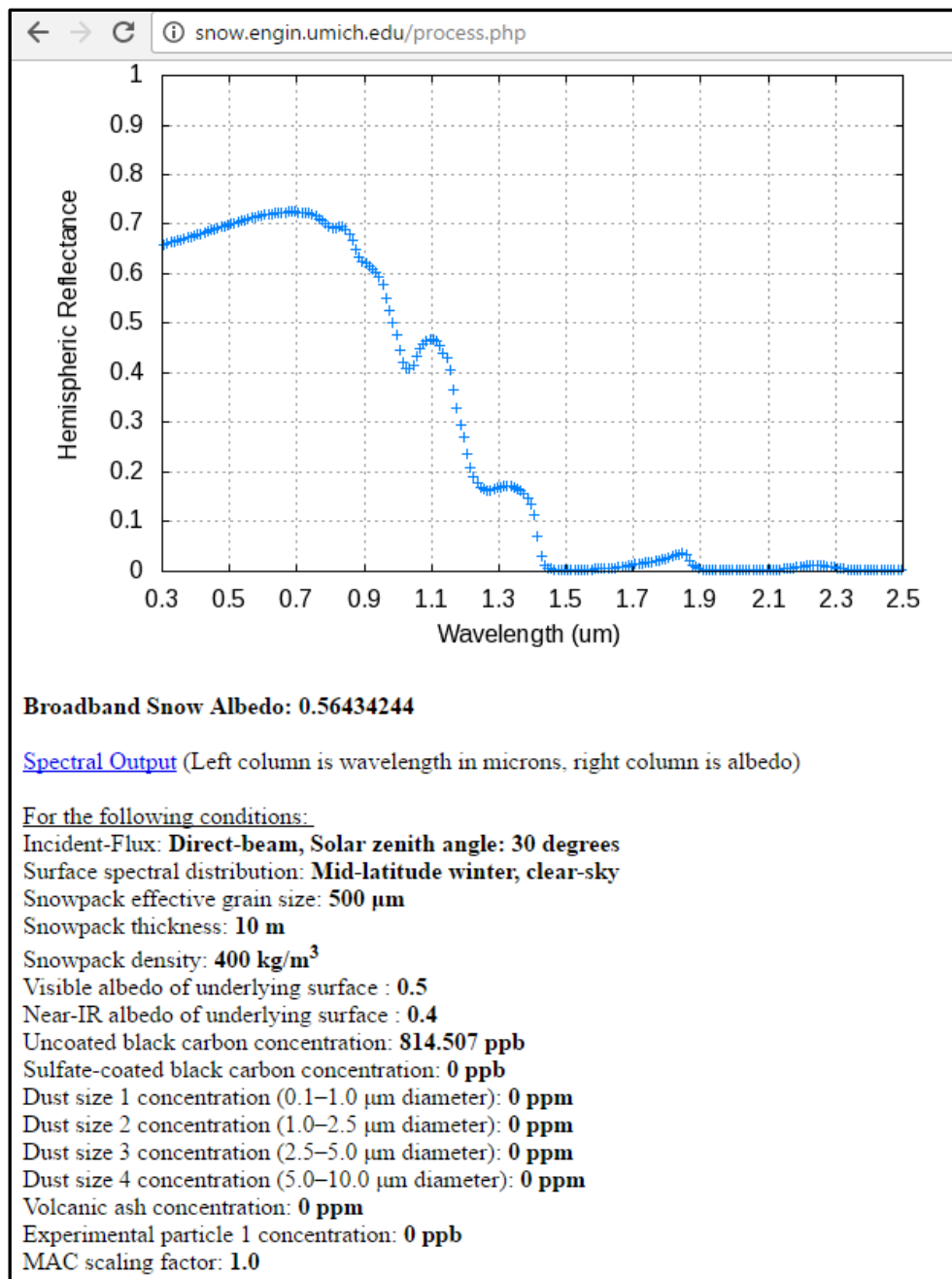


Figura 15: Albedo de nieve para el mes de mayo 2016 para la zona de ablación en el glaciar Yanapaccha.

Ingresando el valor de carbono negro obtenido bajo el método LAHM para este mes en la zona de ablación (814.507 ng/g) donde se obtuvo un albedo de 0.56434244.

n. Simulación de albedo para el mes de junio 2016 – zona de acumulación.

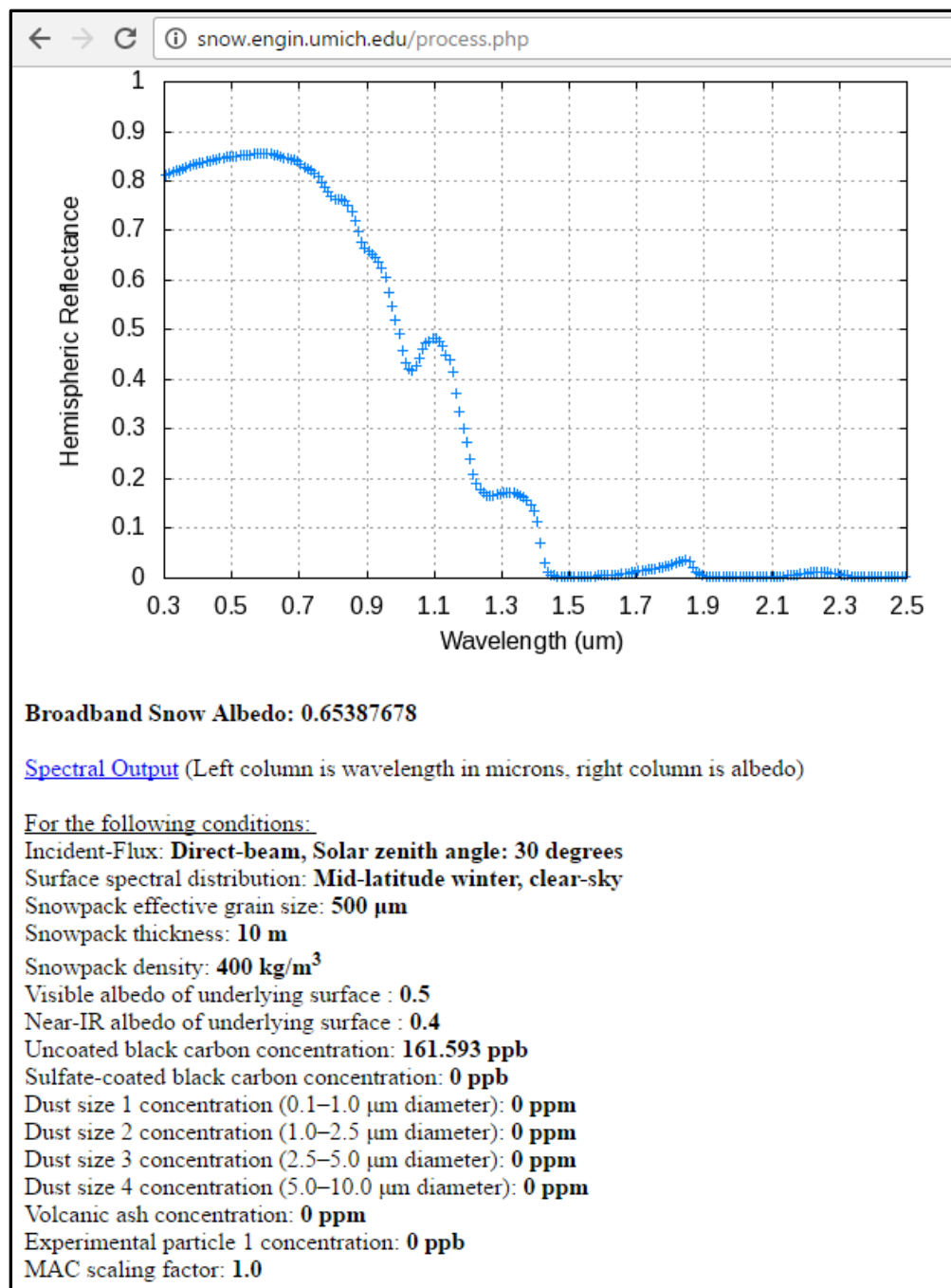


Figura 16: Albedo de nieve para el mes de junio 2016 para la zona de acumulación en el glaciar Yanapaccha.

Ingresando el valor de carbono negro obtenido bajo el método LAHM para este mes en la zona de ablación (161.593 ng/g) donde se obtuvo un albedo de 0.65387678.

o. Simulación de albedo para el mes de junio 2016 – Línea de equilibrio.

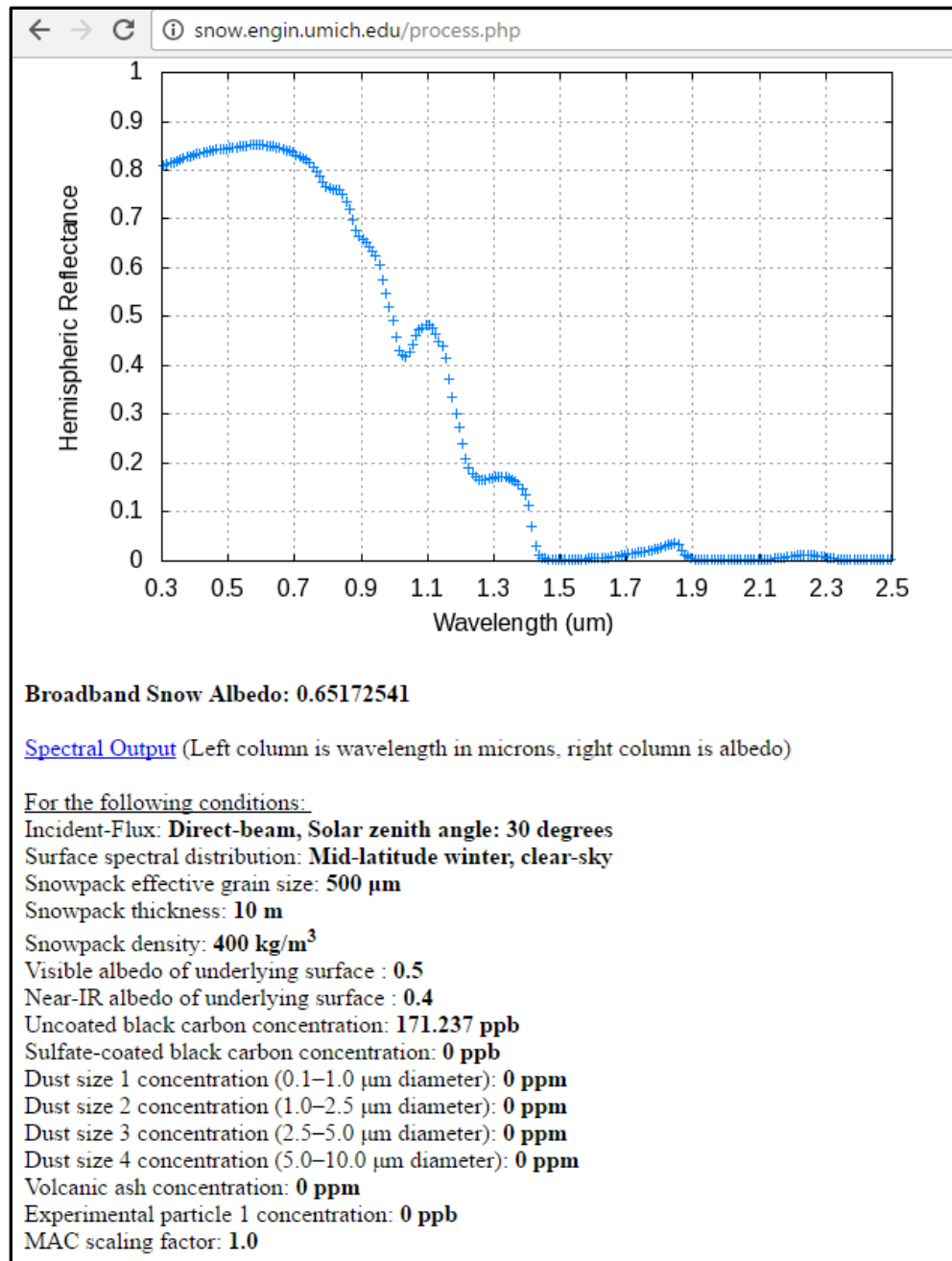


Figura 17: Albedo de nieve para el mes de junio 2016 para la línea de equilibrio en el glaciar Yanapaccha.

Ingresando el valor de carbono negro obtenido bajo el método LAHM para este mes en la línea de equilibrio (171.237 ng/g) donde se obtuvo un albedo de 0.65172541.

p. Simulación de albedo para el mes de junio 2016 – zona ablación.

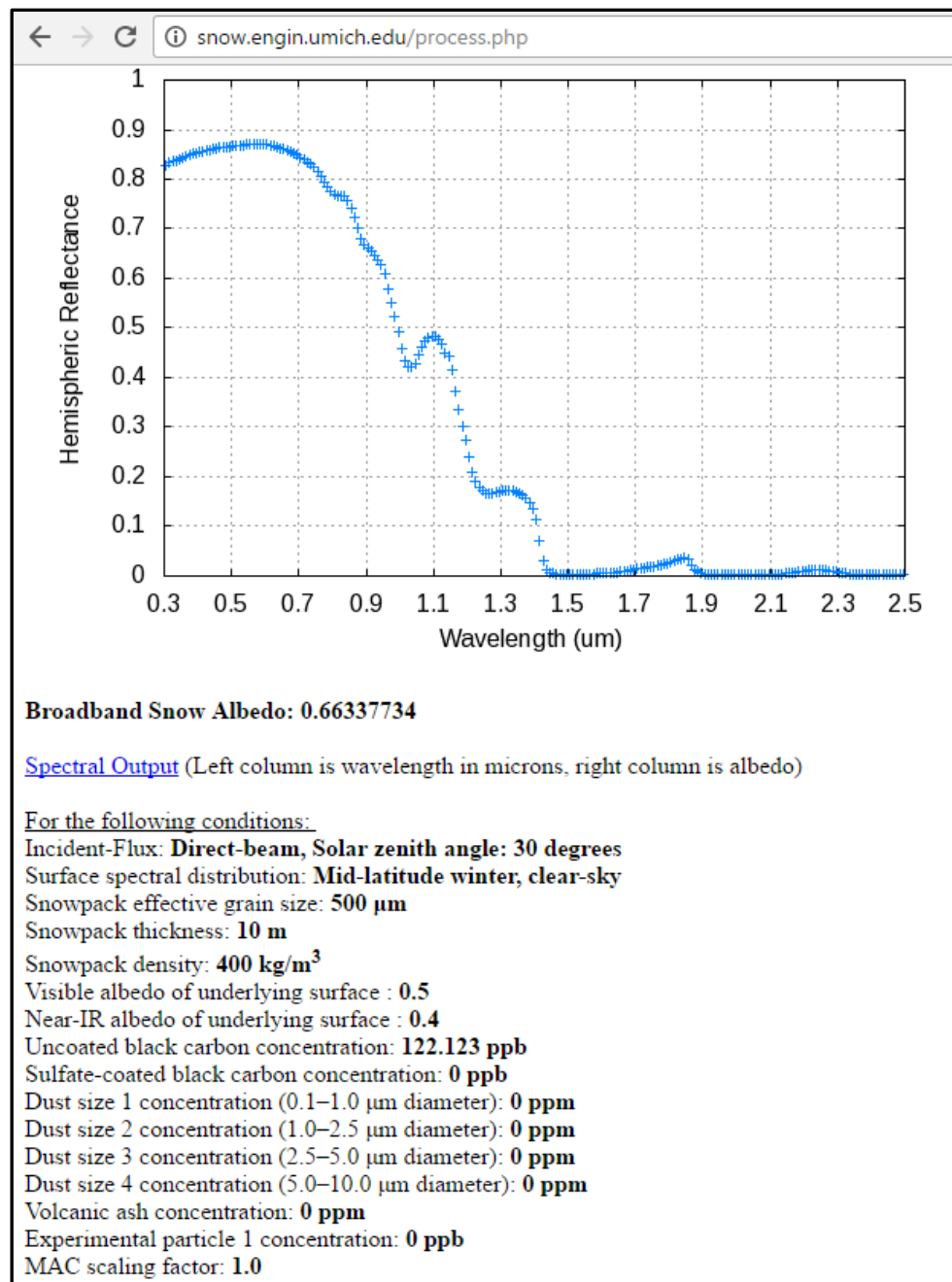


Figura 18: Albedo de nieve para el mes de junio 2016 para la zona de ablación en el glaciar Yanapaccha.

Ingresando el valor de carbono negro obtenido bajo el método LAHM para este mes en la zona de ablación (122.123 ng/g) donde se obtuvo un albedo de 0.66337734.

q. Simulación de albedo para el mes de julio 2016 – zona de acumulación.

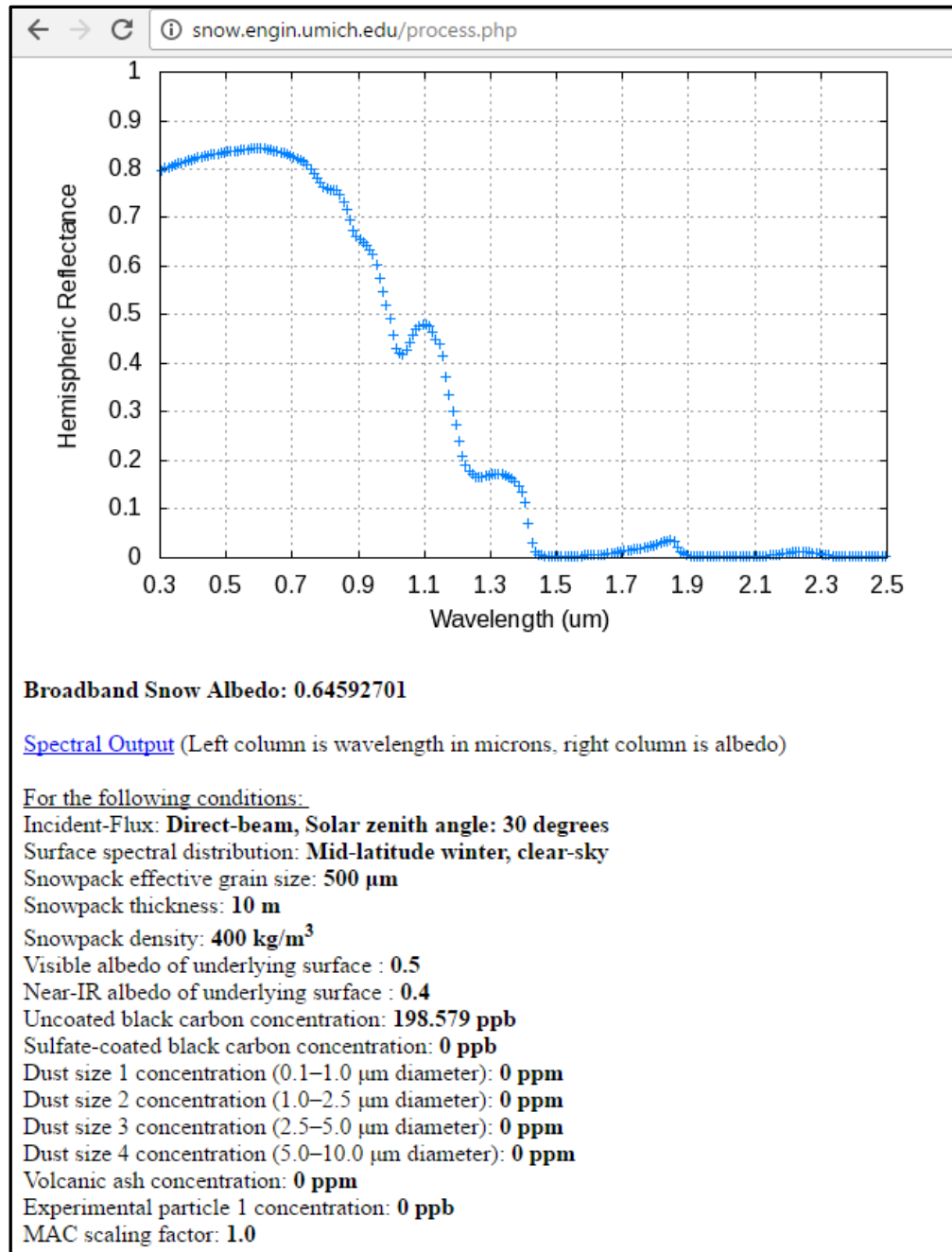


Figura 19: Albedo de nieve para el mes de julio 2016 para la zona de acumulación en el glaciar Yanapaccha.

Ingresando el valor de carbono negro obtenido bajo el método LAHM para este mes en la zona de acumulación (198.579 ng/g) donde se obtuvo un albedo de 0.64592701.

r. Simulación de albedo para el mes de julio 2016 – Línea de equilibrio.

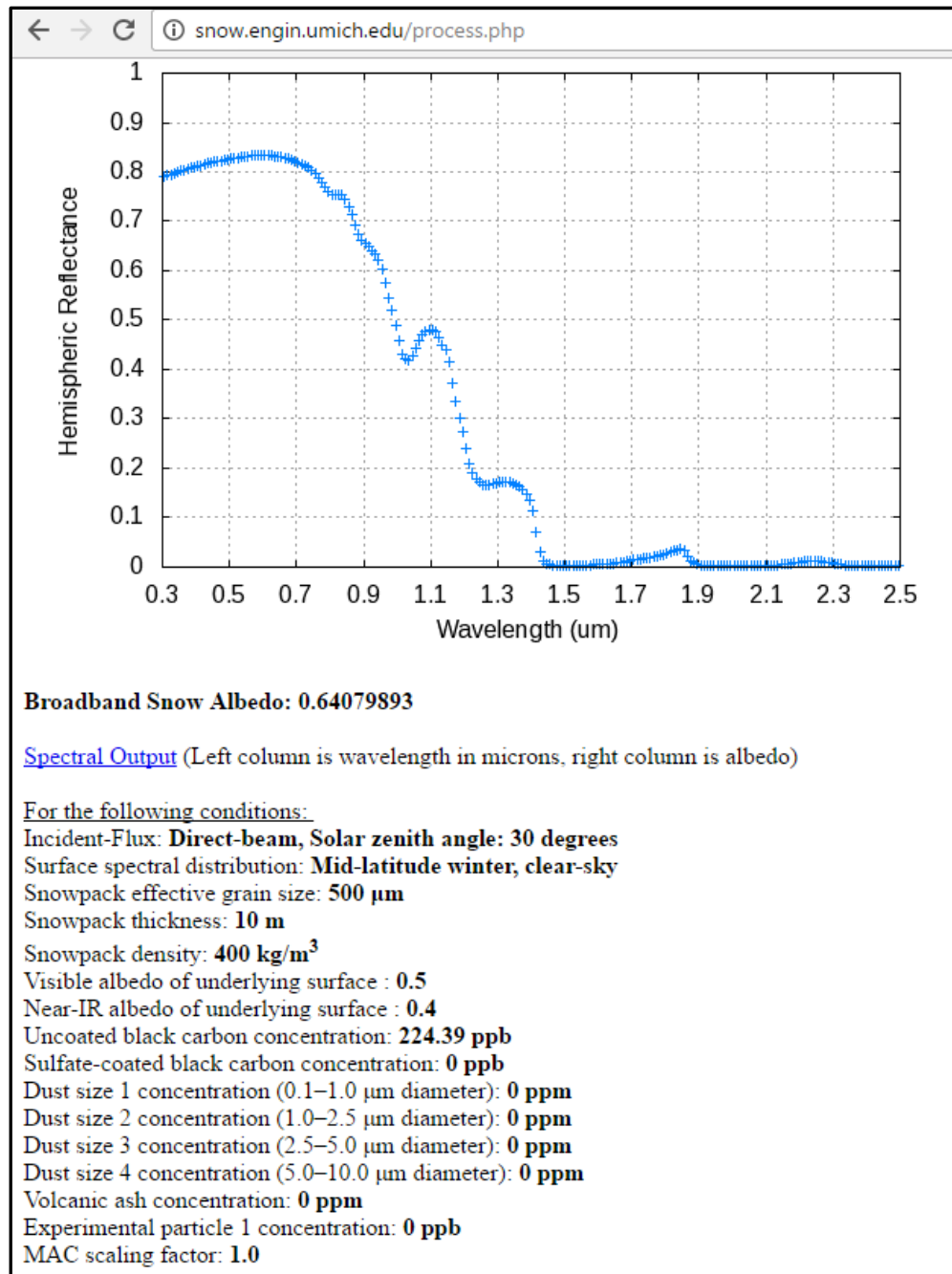


Figura 20: Albedo de nieve para el mes de julio 2016 para la línea de equilibrio en el glaciar Yanapaccha.

Ingresando el valor de carbono negro obtenido bajo el método LAHM para este mes en la línea de equilibrio (224.39 ng/g) donde se obtuvo un albedo de 0.64079893.

s. Simulación de albedo para el mes de julio 2016 – zona ablación.

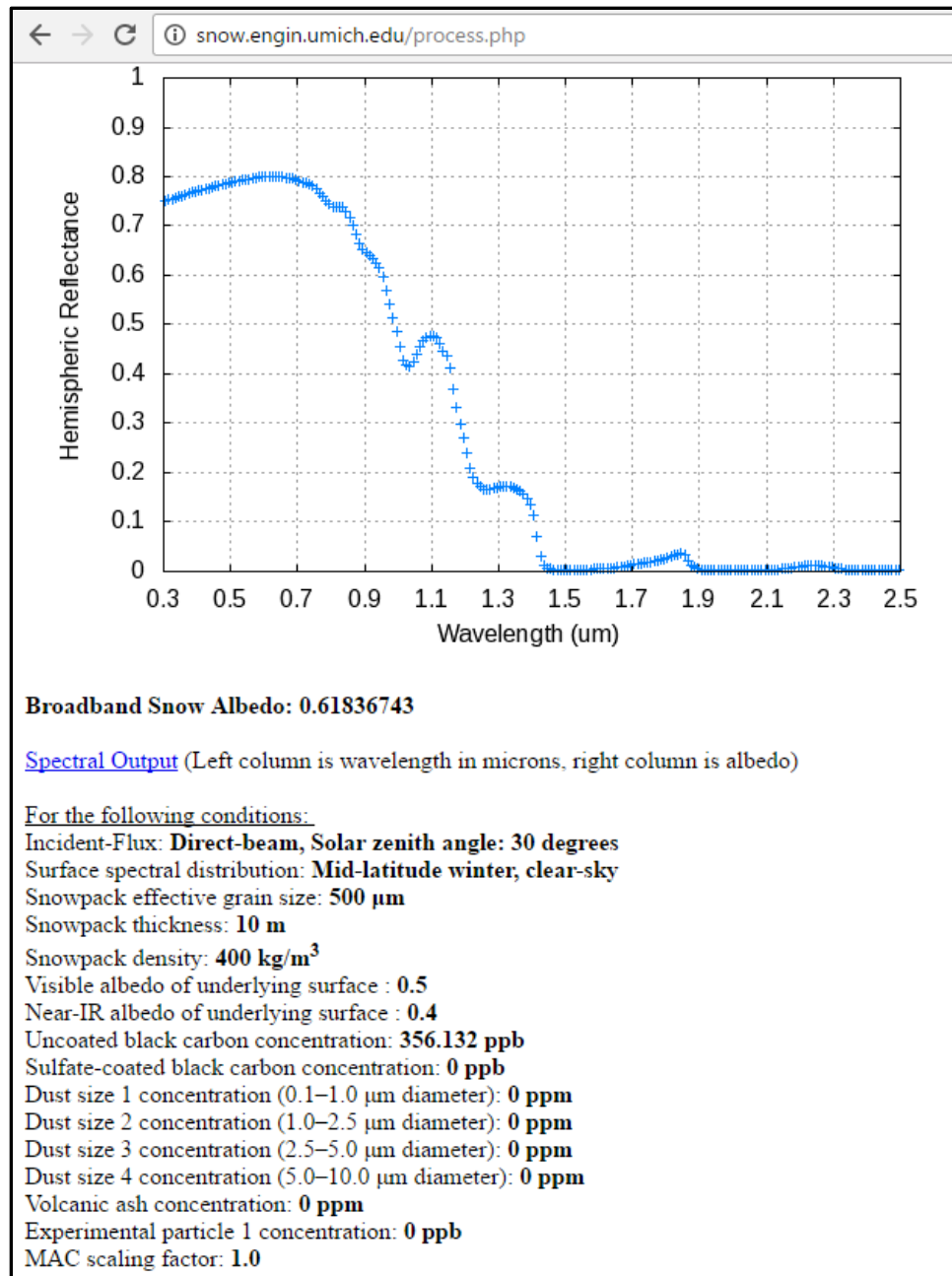


Figura 21: Albedo de nieve para el mes de julio 2016 para la zona de ablación en el glaciar Yanapaccha.

Ingresando el valor de carbono negro obtenido bajo el método LAHM para este mes en la línea de equilibrio (356.132 ng/g) donde se obtuvo un albedo de 0.61836743.

5.3.1.1. Resultados de SNICAR para el glaciar Yanapaccha

Los resultados de albedo en cada uno de los meses utilizando la simulación SNICAR para el glaciar Yanapaccha son los siguientes:

Glaciar Yanapaccha				
Mes/Año	BC (ng/g)			Albedo de Nieve (0 – 1)
Base	0.0			0.71069986
Oct - 2015	10.6566			0.70335841
Nov - 2015	11.6185			0.70278841
Dic - 2015	18.5066			0.69900095
Ene - 2016	205.192			0.64458293
Feb - 2016	497.547			0.59881604
Mar - 2016	280.007			0.63067102
Abr - 2016	zona	Acumulación	95.8146	0.67050880
		Línea de Equilibrio	117.773	0.66450500
		Ablación	398.424	0.61213362
May - 2016	zona	Acumulación	135.678	0.65997410
		Línea de Equilibrio	565.334	0.59055072
		Ablación	814.507	0.56434244
Jun - 2016	zona	Acumulación	161.593	0.65387678
		Línea de Equilibrio	171.237	0.65172541
		Ablación	122.123	0.66337734
Jul - 2016	zona	Acumulación	198.579	0.64592701
		Línea de Equilibrio	224.39	0.64079893
		Ablación	356.132	0.61836743

Tabla 29: Albedo mensual en el glaciar Yanapaccha.

5.3.2. Aplicación de SNICAR para el glaciar Shallap

Ingresando al portal de la simulación SNICAR se procedió a fijar una línea base para el albedo de la nieve sin contenido de carbono negro (BC). De inmediato se ingresó los valores de carbono negro obtenidos para el glaciar Shallap en cada mes de muestreo, para obtener la afectación al albedo de la nieve en este glaciar. A continuación se presenta los resultados obtenidos:

a. Simulación de albedo para el mes de octubre 2015.

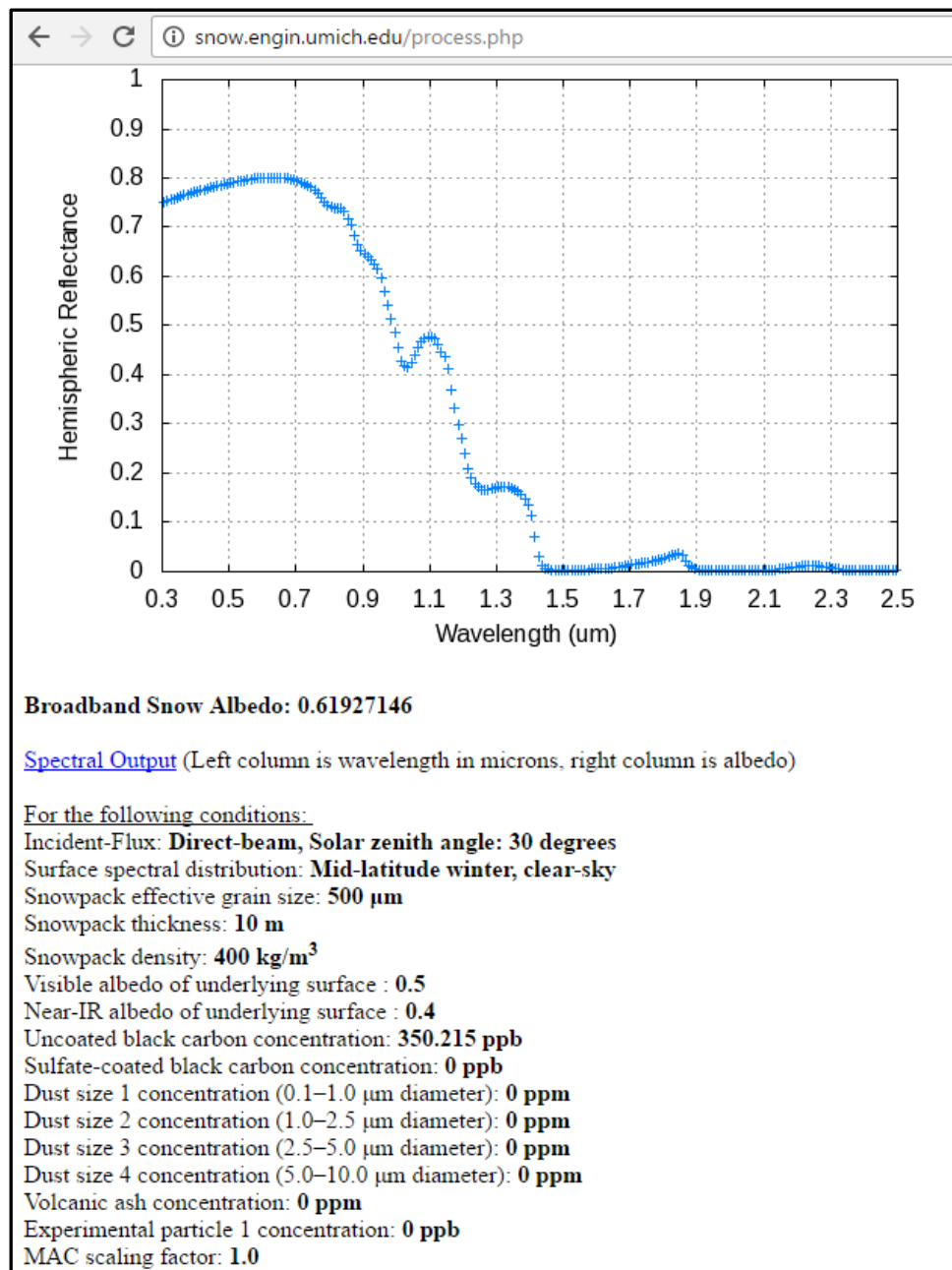


Figura 22: Albedo de nieve para el mes de octubre 2015 para el glaciar Shallap.

Ingresando el valor de carbono negro obtenido bajo el método LAHM para este mes (350.215 ng/g) se obtuvo un albedo de 0.61927146.

b. Simulación de albedo para el mes de noviembre 2015.

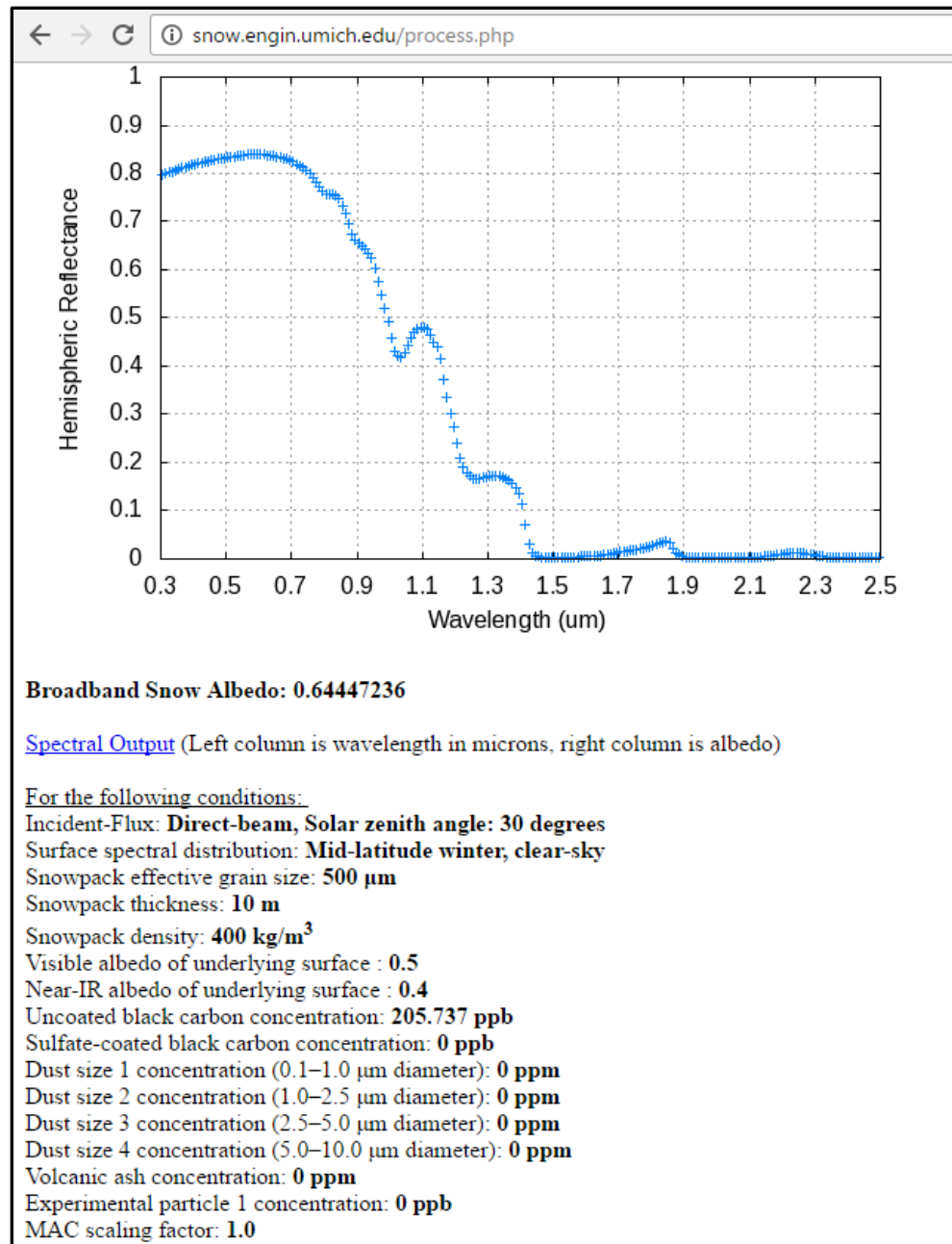


Figura 23: Albedo de nieve para el mes de noviembre 2015 en el glaciar Shallap.

Ingresando el valor de carbono negro obtenido bajo el método LAHM para este mes (205.737 ng/g) se obtuvo un albedo de 0.64447236.

c. Simulación de albedo para el mes de diciembre 2015.

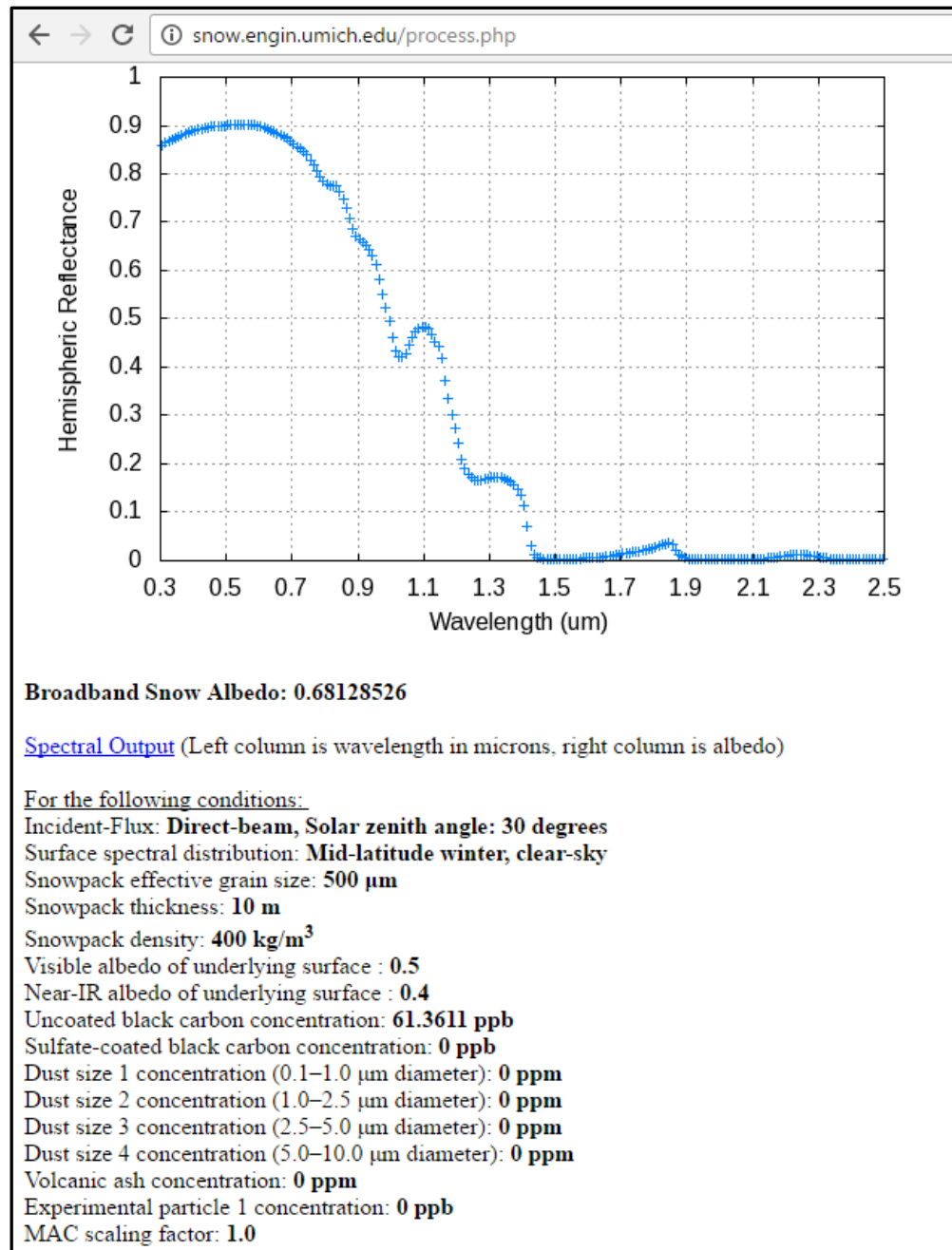


Figura 24: Albedo de nieve para el mes diciembre 2015 en el glaciar Shallap.

Ingresando el valor de carbono negro obtenido bajo el método LAHM para este mes (61.3611 ng/g) se obtuvo un albedo de 0.68128526.

d. Simulación de albedo para el mes de enero 2015.

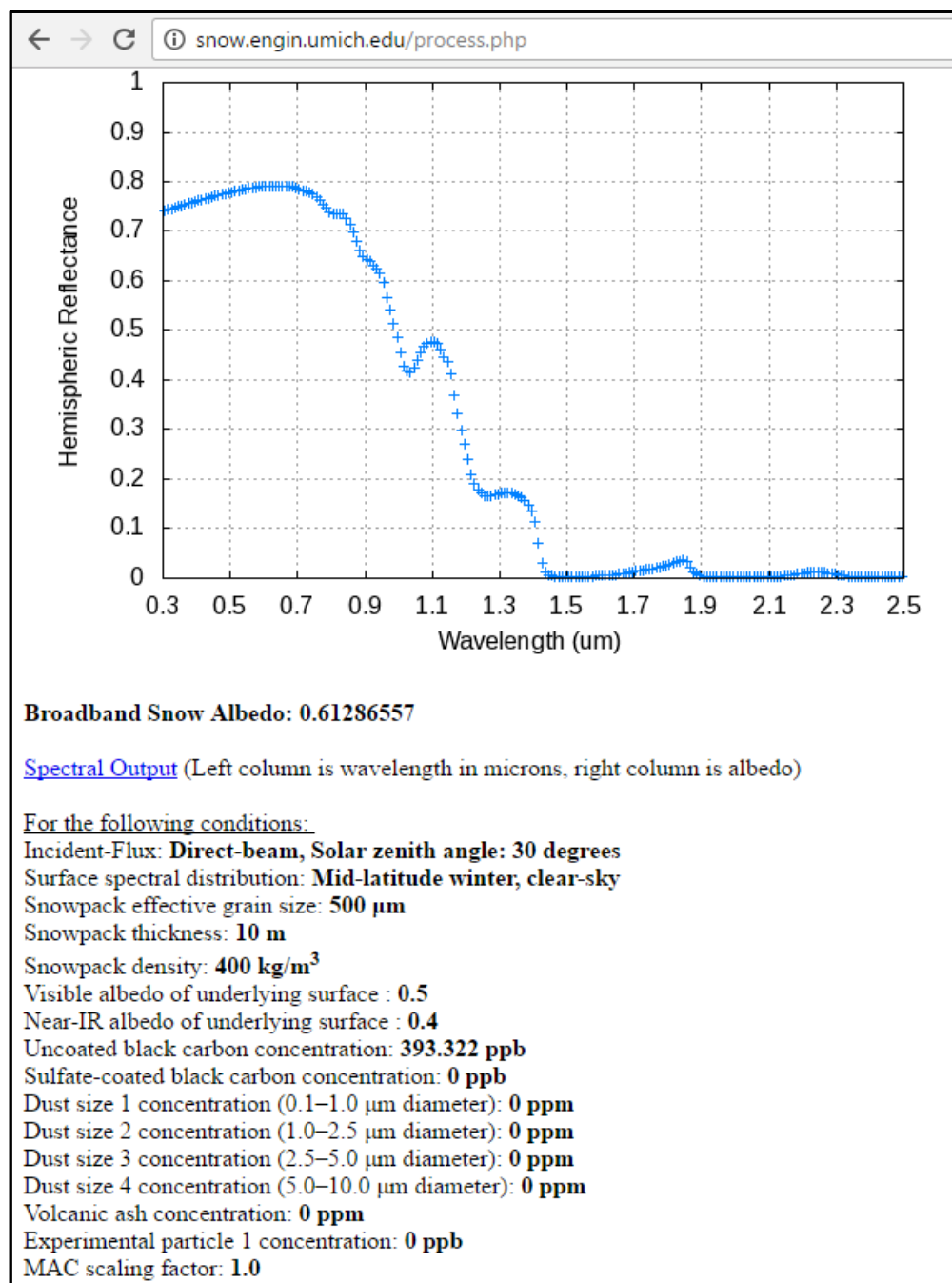


Figura 25: Albedo de nieve para el mes de enero 2016 en el glaciar Shallap.

Ingresando el valor de carbono negro obtenido bajo el método LAHM para este mes (393.322 ng/g) se obtuvo un albedo de 0.61286557.

e. Simulación de albedo para el mes febrero 2015.

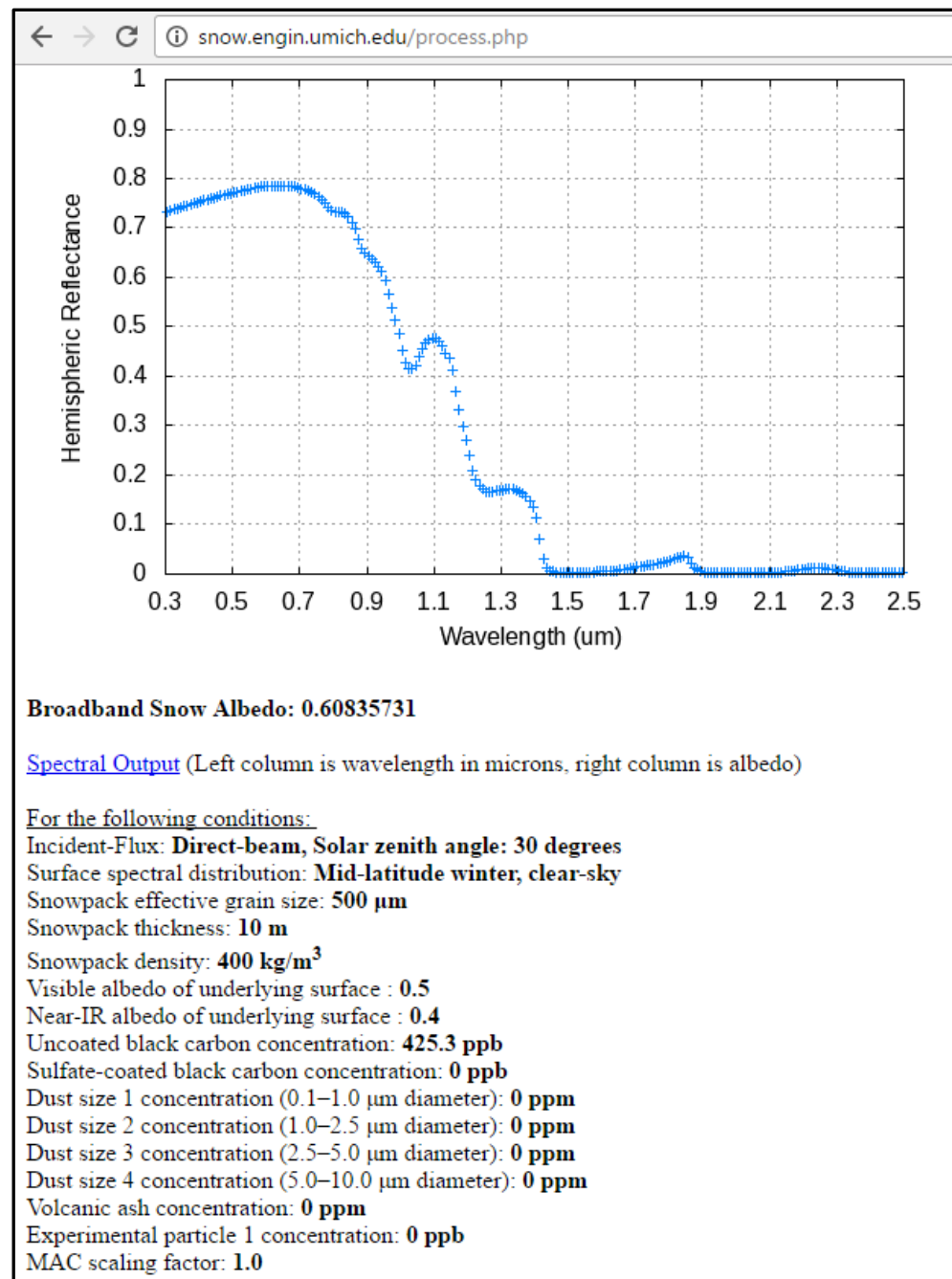


Figura 26: Albedo de nieve para el mes de febrero 2016 en el glaciar Shallap.

Ingresando el valor de carbono negro obtenido bajo el método LAHM para este mes (425.3 ng/g) se obtuvo un albedo de 0.60835731.

f. Simulación de albedo para el mes de marzo 2015.

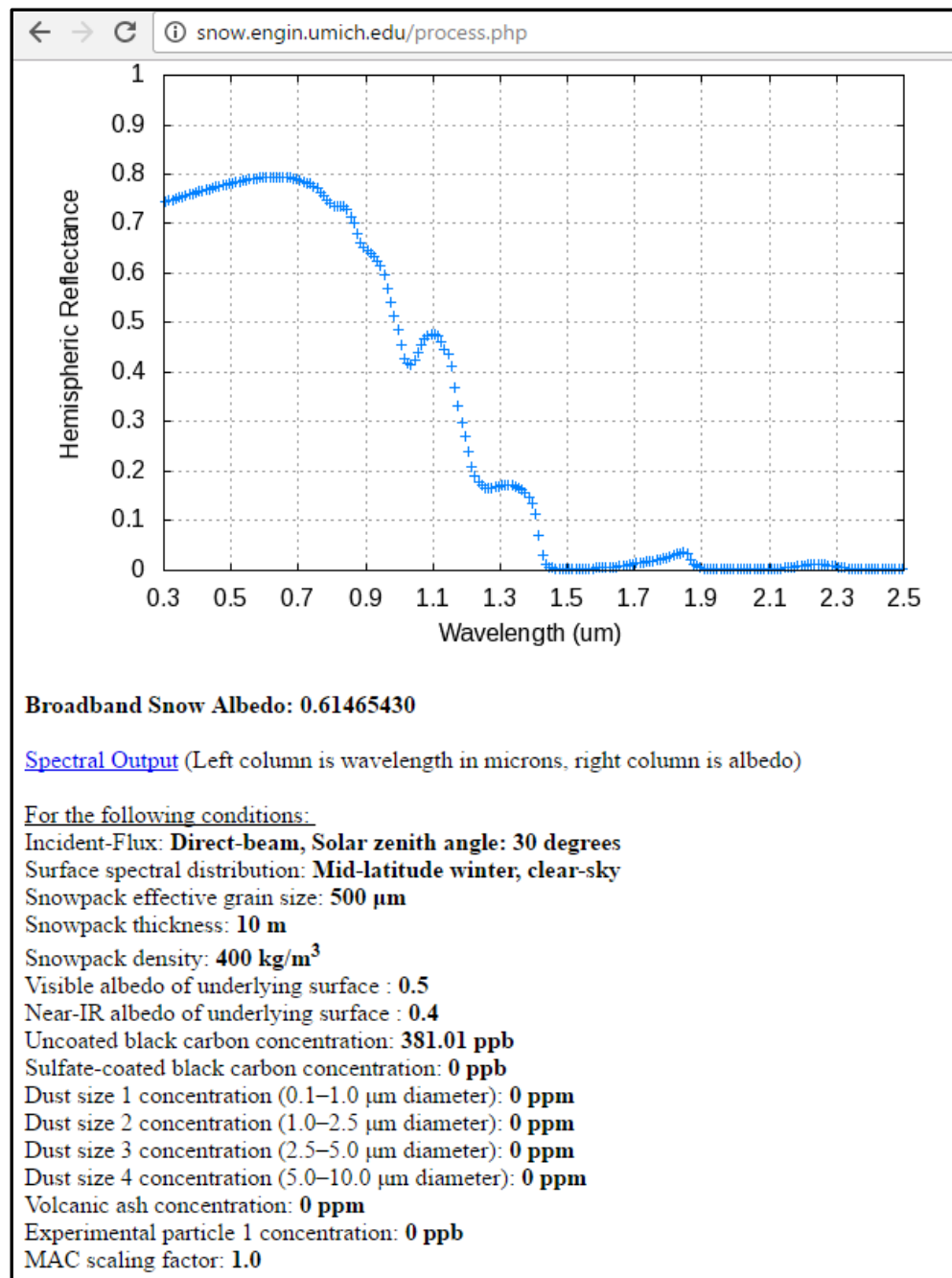


Figura 27: Albedo de nieve para el mes de marzo 2016 en el glaciar Shallap.

Ingresando el valor de carbono negro obtenido bajo el método LAHM para este mes (381.01 ng/g) se obtuvo un albedo de 0.61465430.

g. Simulación de albedo para el mes de abril 2016 – zona de acumulación.

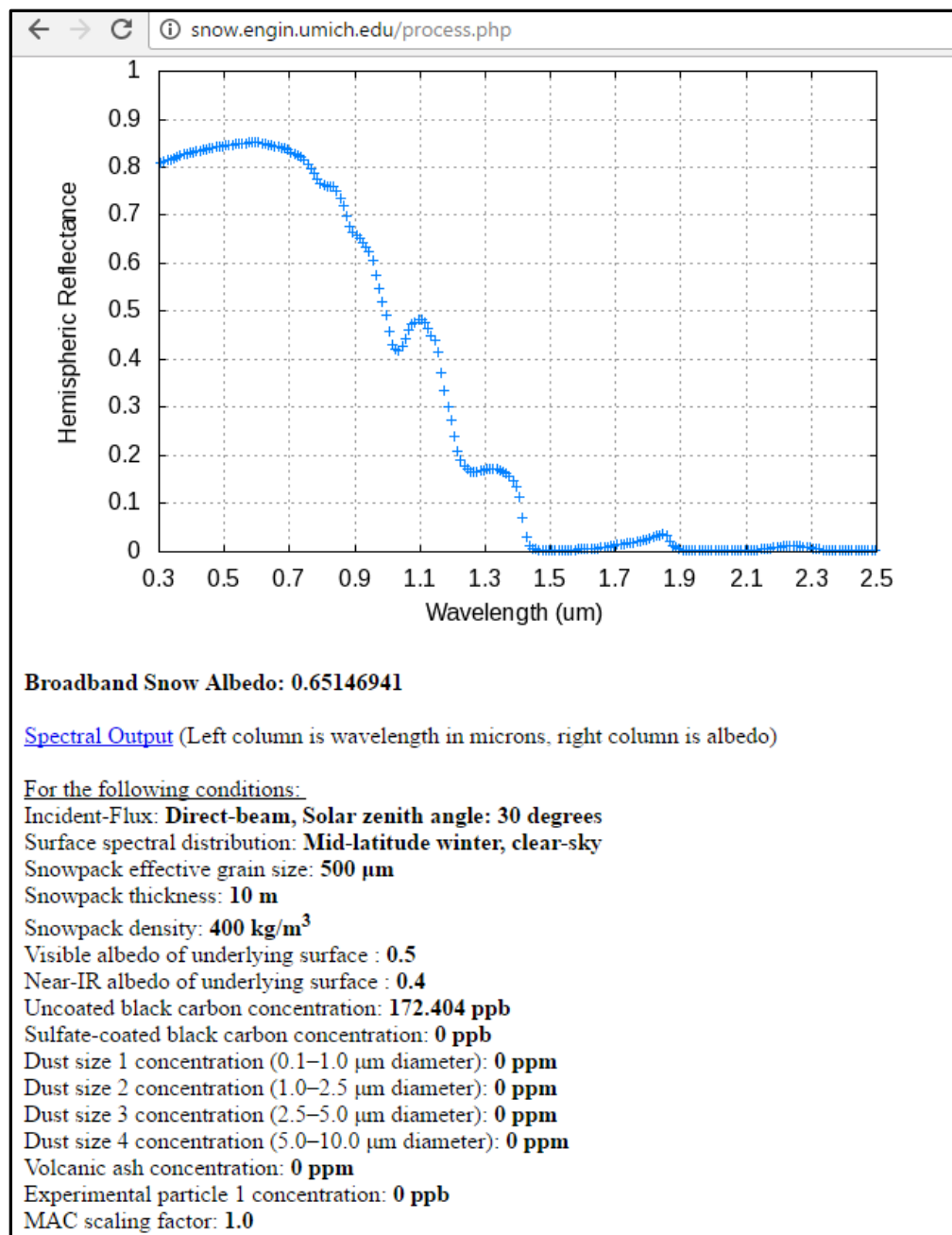


Figura 28: Albedo de nieve para el mes de abril 2016 para la zona de acumulación en el glaciar Shallap.

Ingresando el valor de carbono negro obtenido bajo el método LAHM para este mes en la zona de acumulación (172.404 ng/g) donde se obtuvo un albedo de 0.65146941.

h. Simulación de albedo para mes de abril 2016 - Línea de equilibrio.

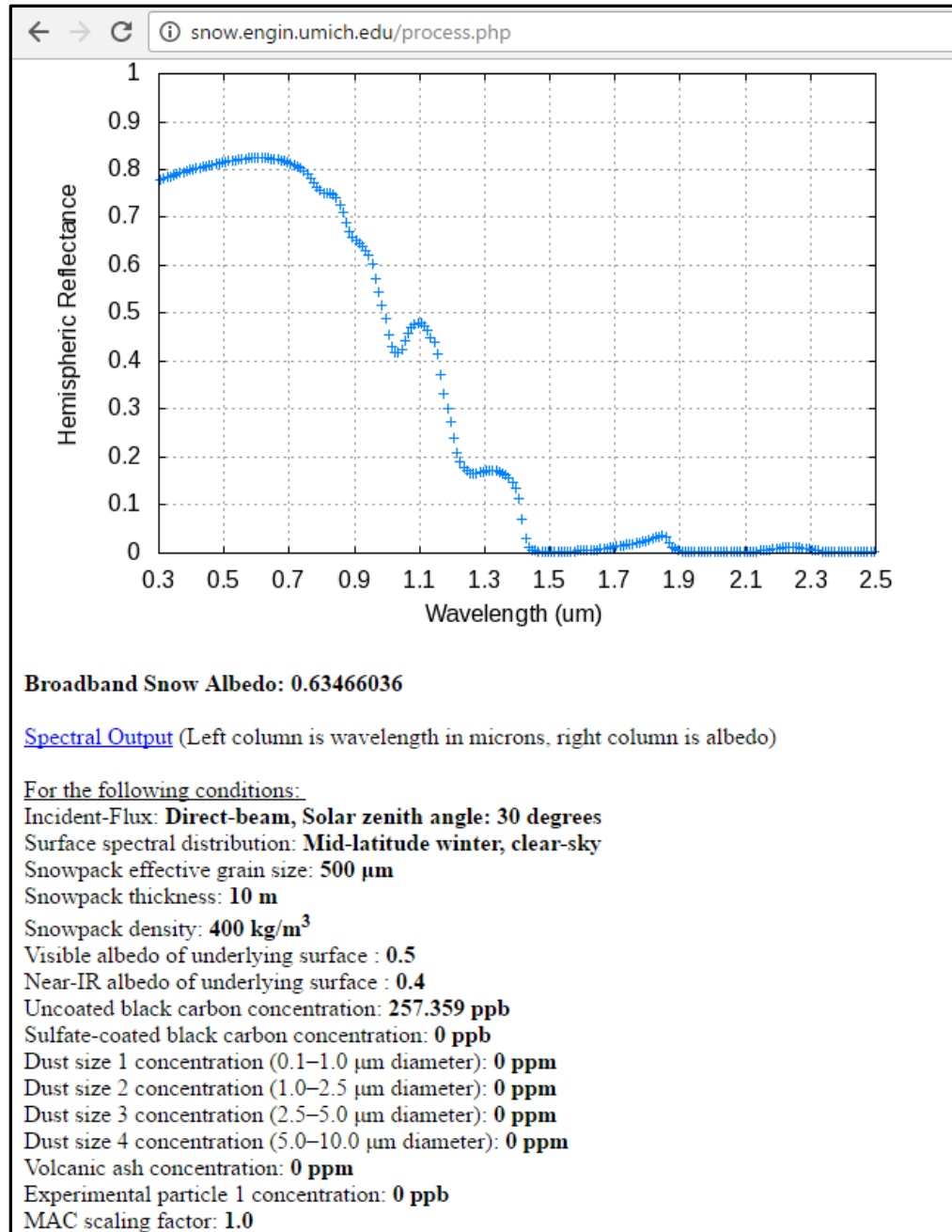


Figura 29: Albedo de nieve para el mes de abril 2016 para la línea de equilibrio en el glaciar Shallap.

Ingresando el valor de carbono negro obtenido bajo el método LAHM para este mes en la línea de equilibrio (257.359 ng/g) donde se obtuvo un albedo de 0.63466036.

i. Simulación de albedo para mes de abril 2016 – zona de ablación.

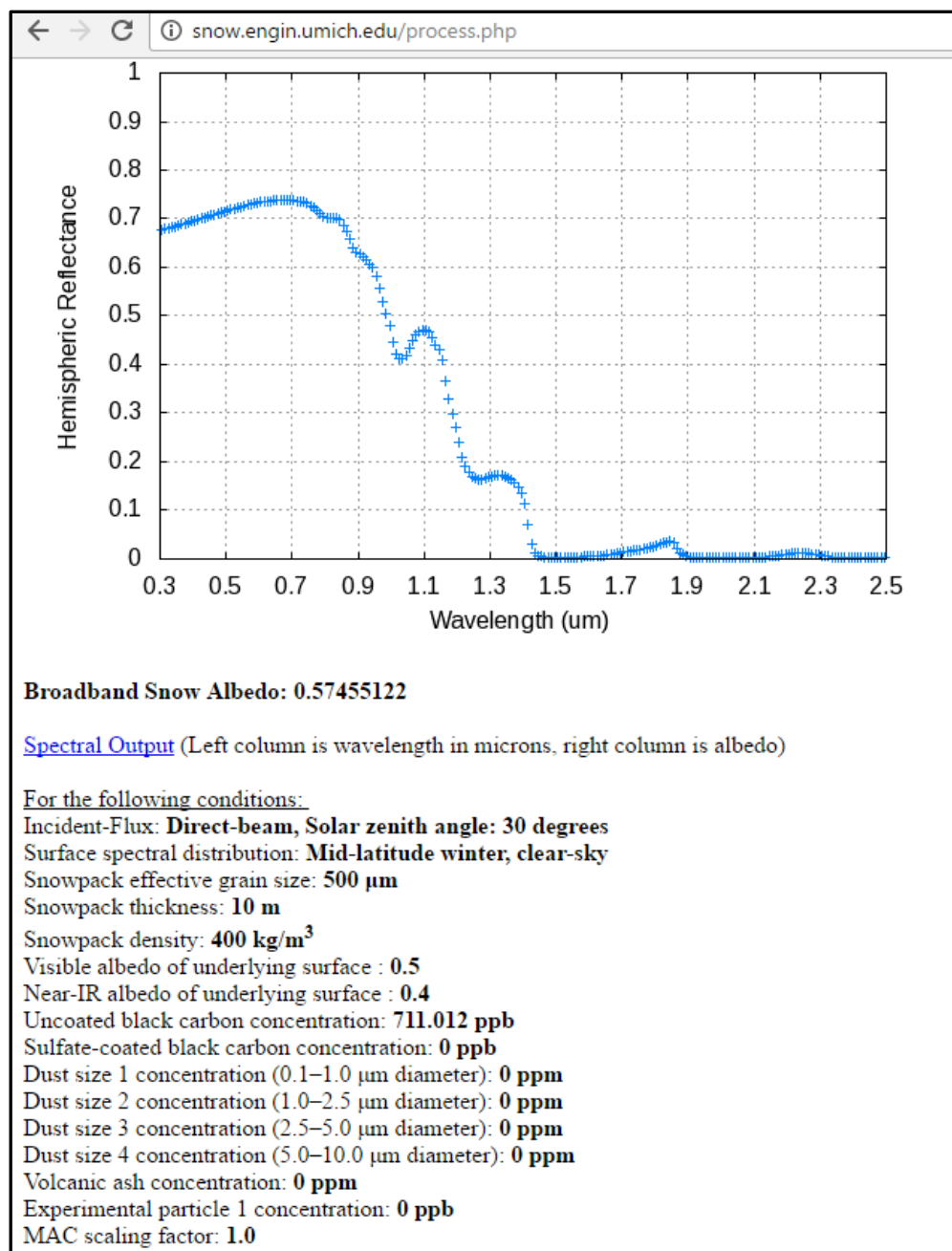


Figura 30: Albedo de nieve para el mes de abril 2016 para la zona de ablación en el glaciar Shallap.

Ingresando el valor de carbono negro obtenido bajo el método LAHM para este mes en la zona de ablación (711.012 ng/g) donde se obtuvo un albedo de 0.57455122.

j. Simulación de albedo para el mes de mayo 2016 – zona de acumulación.

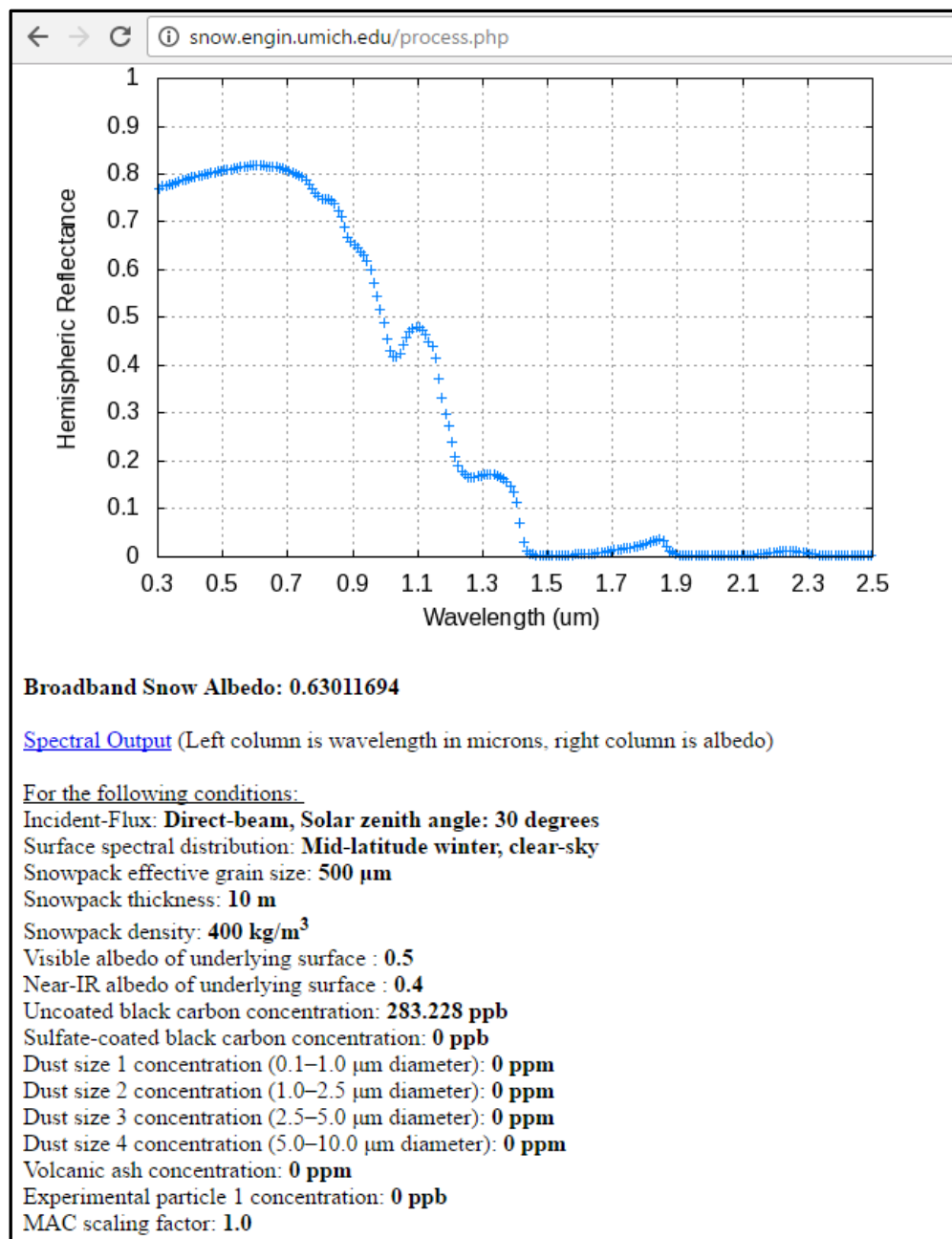


Figura 31: Albedo de nieve para el mes de mayo 2016 para la zona de acumulación en el glaciar Shallap.

Ingresando el valor de carbono negro obtenido bajo el método LAHM para este mes en la zona de acumulación (283.228 ng/g) donde se obtuvo un albedo de 0.63011694.

k. Simulación de albedo para mes de mayo 2016 - Línea de equilibrio.

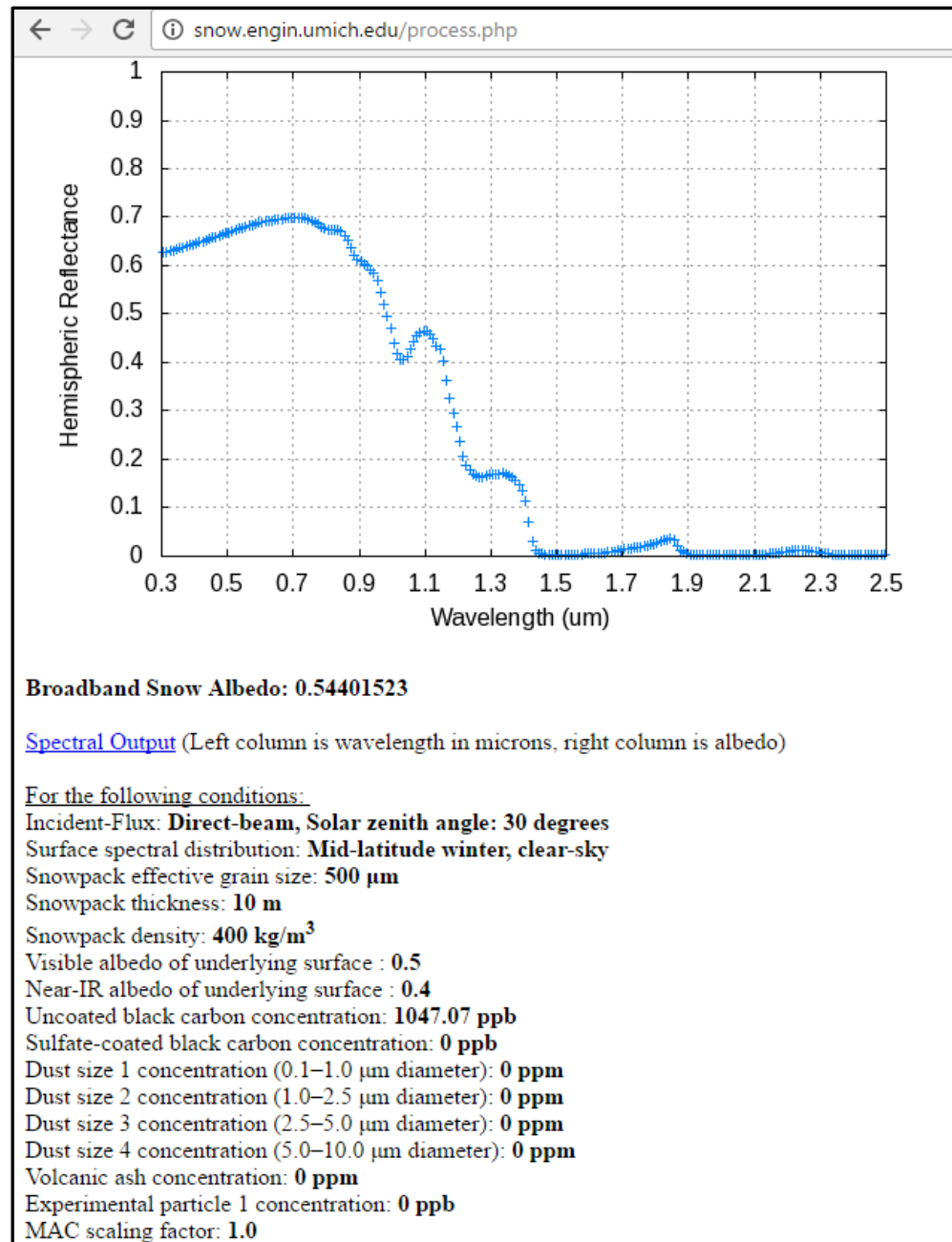


Figura 32: Albedo de nieve para el mes de mayo 2016 para la línea de equilibrio en el glaciar Shallap.

Ingresando el valor de carbono negro obtenido bajo el método LAHM para este mes en la línea de equilibrio (1047.07 ng/g) donde se obtuvo un albedo de 0.54401523.

I. Simulación de albedo para mes de mayo 2016 – zona de ablación.

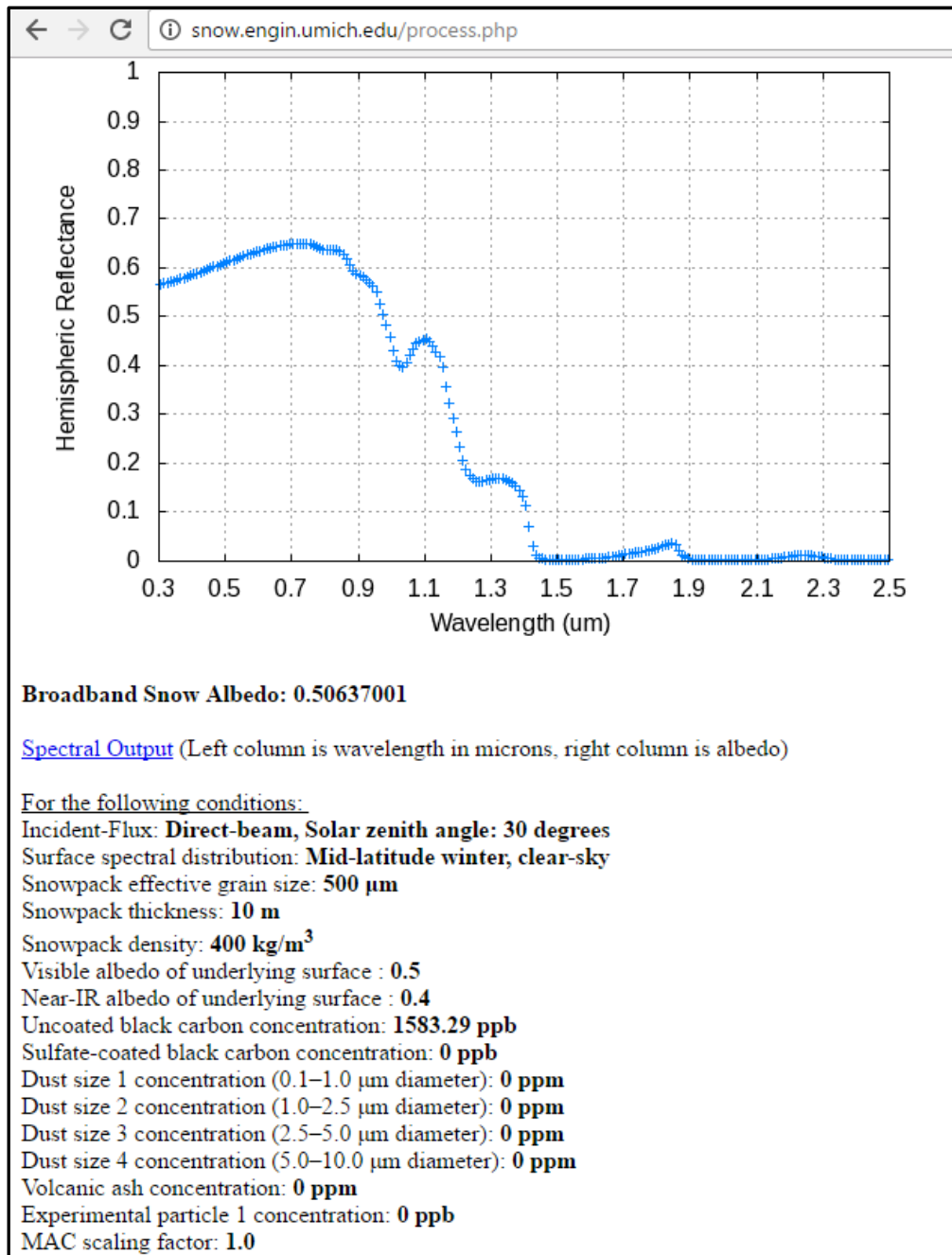


Figura 33: Albedo de nieve para el mes de mayo 2016 para la zona de ablación en el glaciar Shallap.

Ingresando el valor de carbono negro obtenido bajo el método LAHM para este mes en la zona de ablación (1583.29 ng/g) donde se obtuvo un albedo de 0.50637001.

m. Simulación de albedo para el mes de junio 2016 – zona de acumulación.

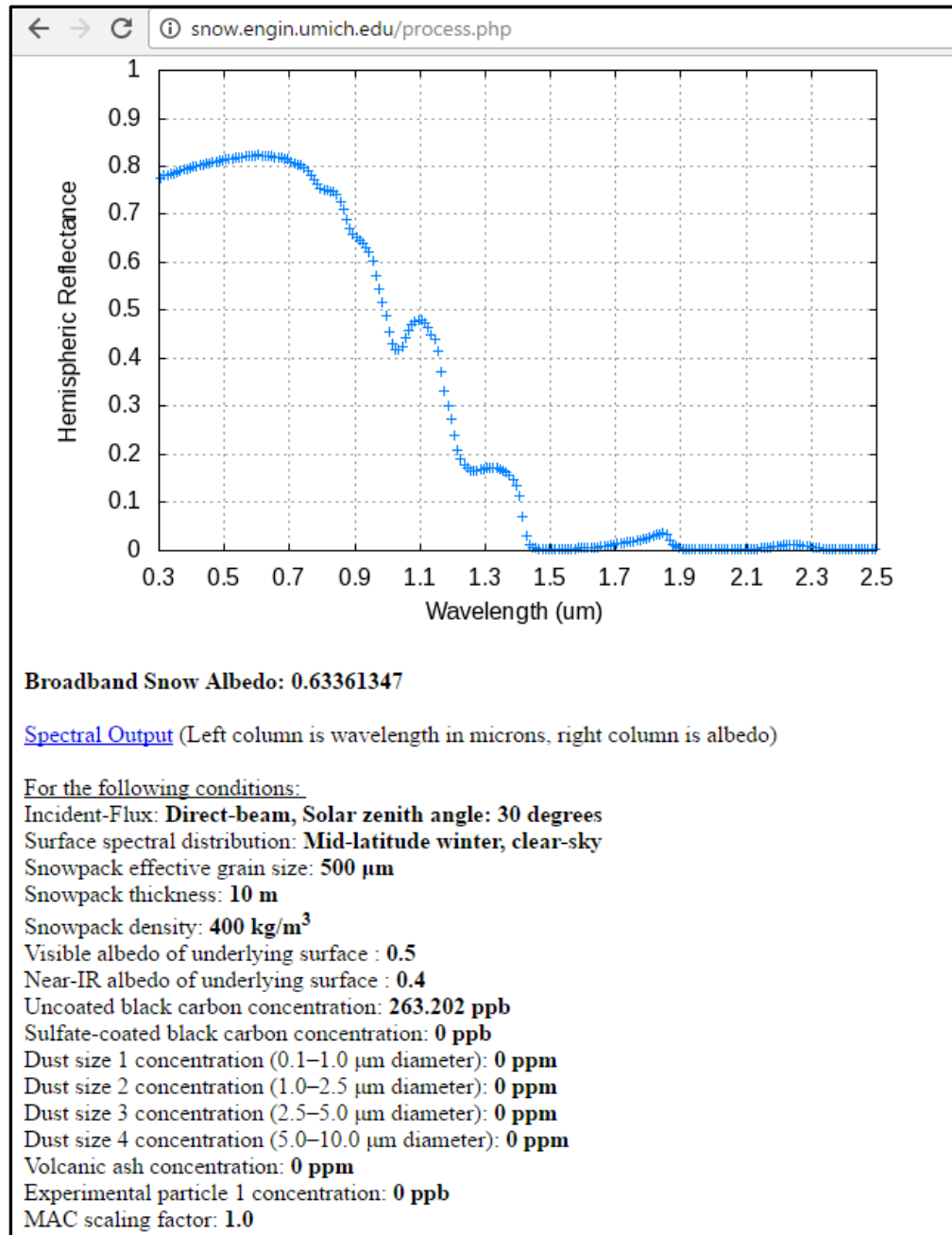


Figura 34: Albedo de nieve para el mes de junio 2016 para la zona de acumulación en el glaciar Shallap.

Ingresando el valor de carbono negro obtenido bajo el método LAHM para este mes en la zona de acumulación (263.202 ng/g) donde se obtuvo un albedo de 0.63361347.

n. Simulación de albedo para mes de junio 2016 - Línea de equilibrio.

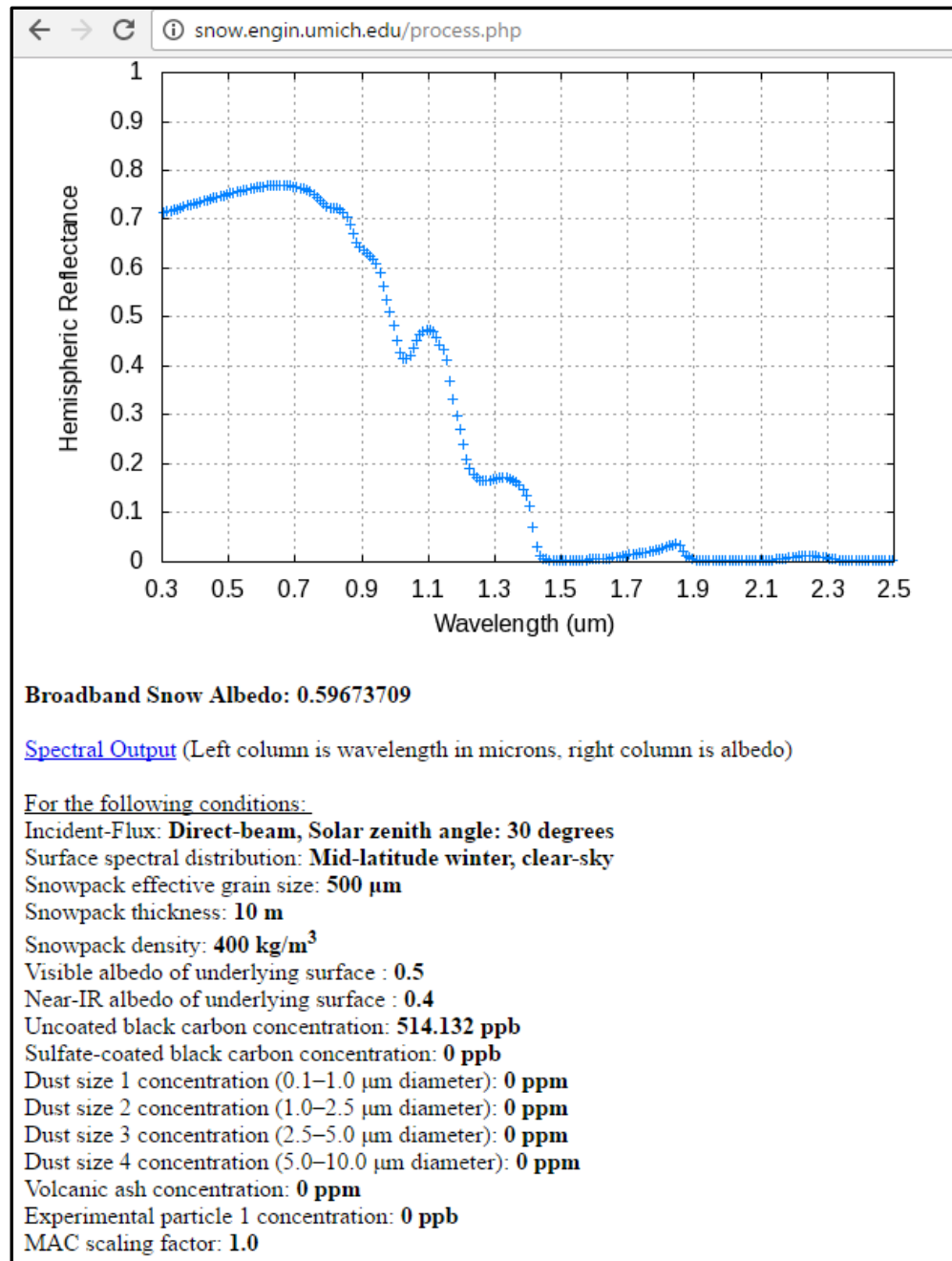


Figura 35: Albedo de nieve para el mes de junio 2016 para la línea de equilibrio en el glaciar Shallap.

Ingresando el valor de carbono negro obtenido bajo el método LAHM para este mes en la línea de equilibrio (514.132 ng/g) donde se obtuvo un albedo de 0.59673709.

o. Simulación de albedo para mes de junio 2016 – zona de ablación.

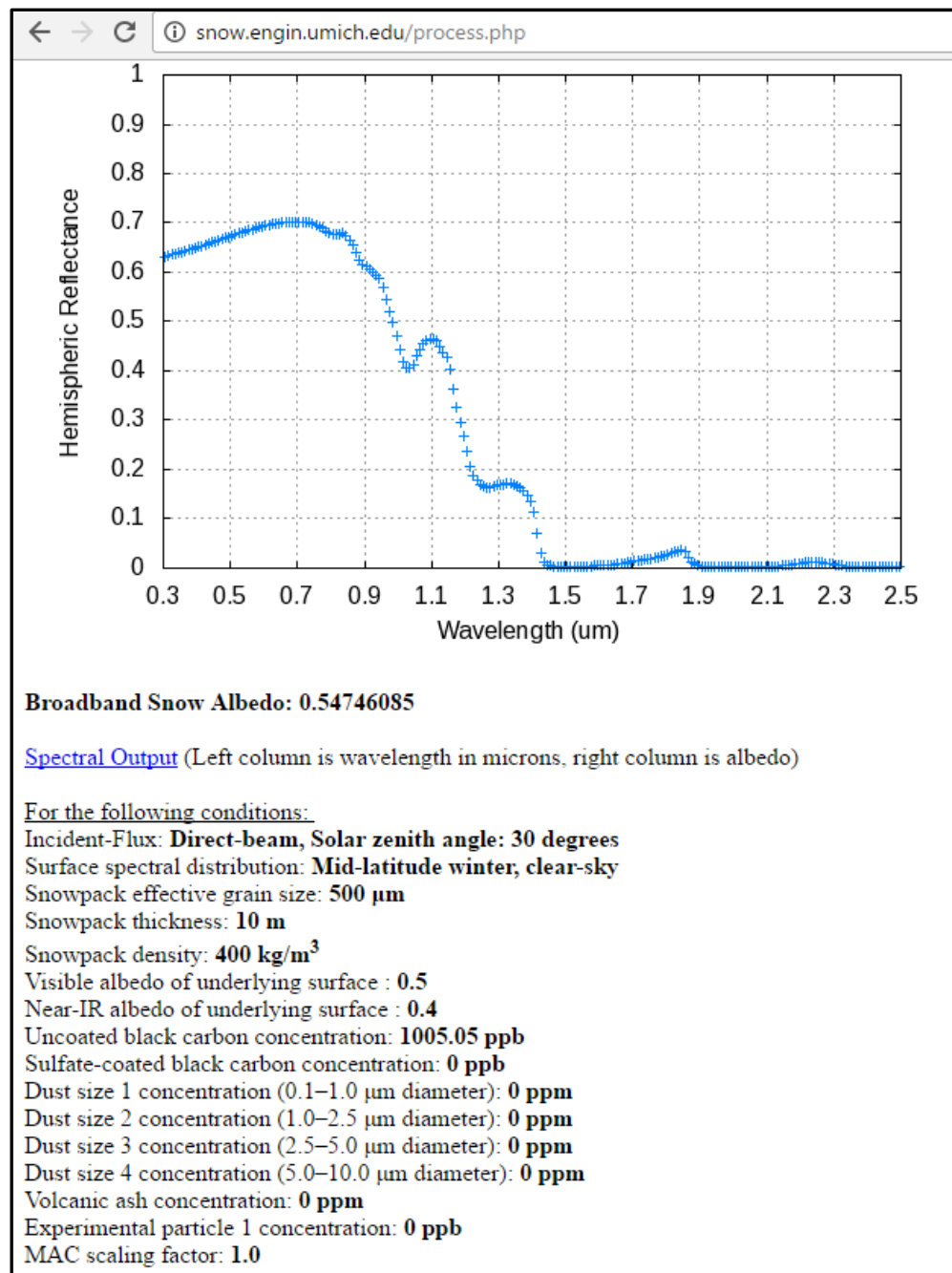


Figura 36: Albedo de nieve para el mes de junio 2016 para la zona de ablación en el glaciar Shallap.

Ingresando el valor de carbono negro obtenido bajo el método LAHM para este mes en la zona de ablación (1005.05 ng/g) donde se obtuvo un albedo de 0.54746085.

p. Simulación de albedo para el mes de julio 2016 – zona de acumulación.

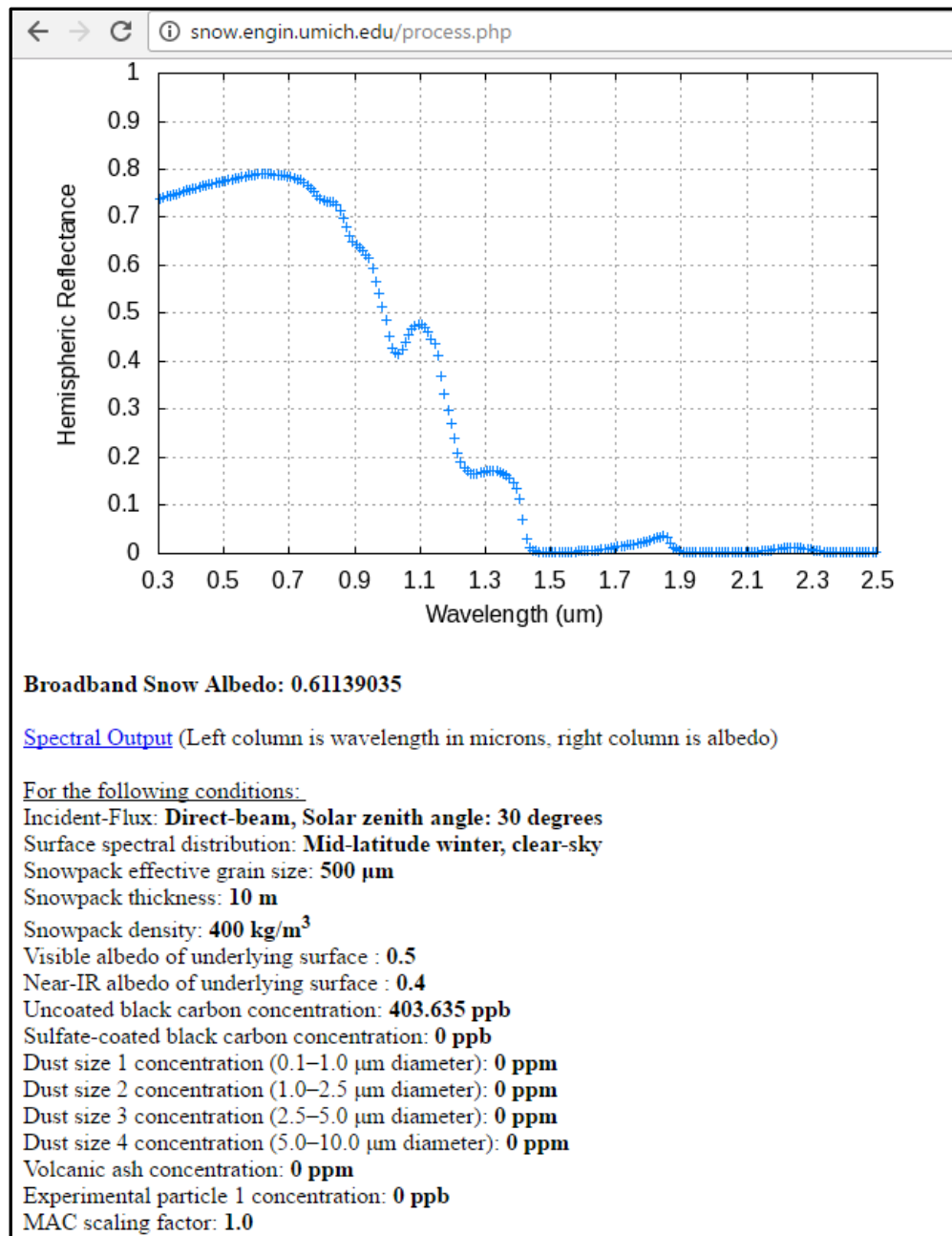


Figura 37: Albedo de nieve para el mes de julio 2016 para la zona de acumulación en el glaciar Shallap.

Ingresando el valor de carbono negro obtenido bajo el método LAHM para este mes en la zona de acumulación (403.635 ng/g) donde se obtuvo un albedo de 0.61139035.

q. Simulación de albedo para mes de julio 2016 - Línea de equilibrio.

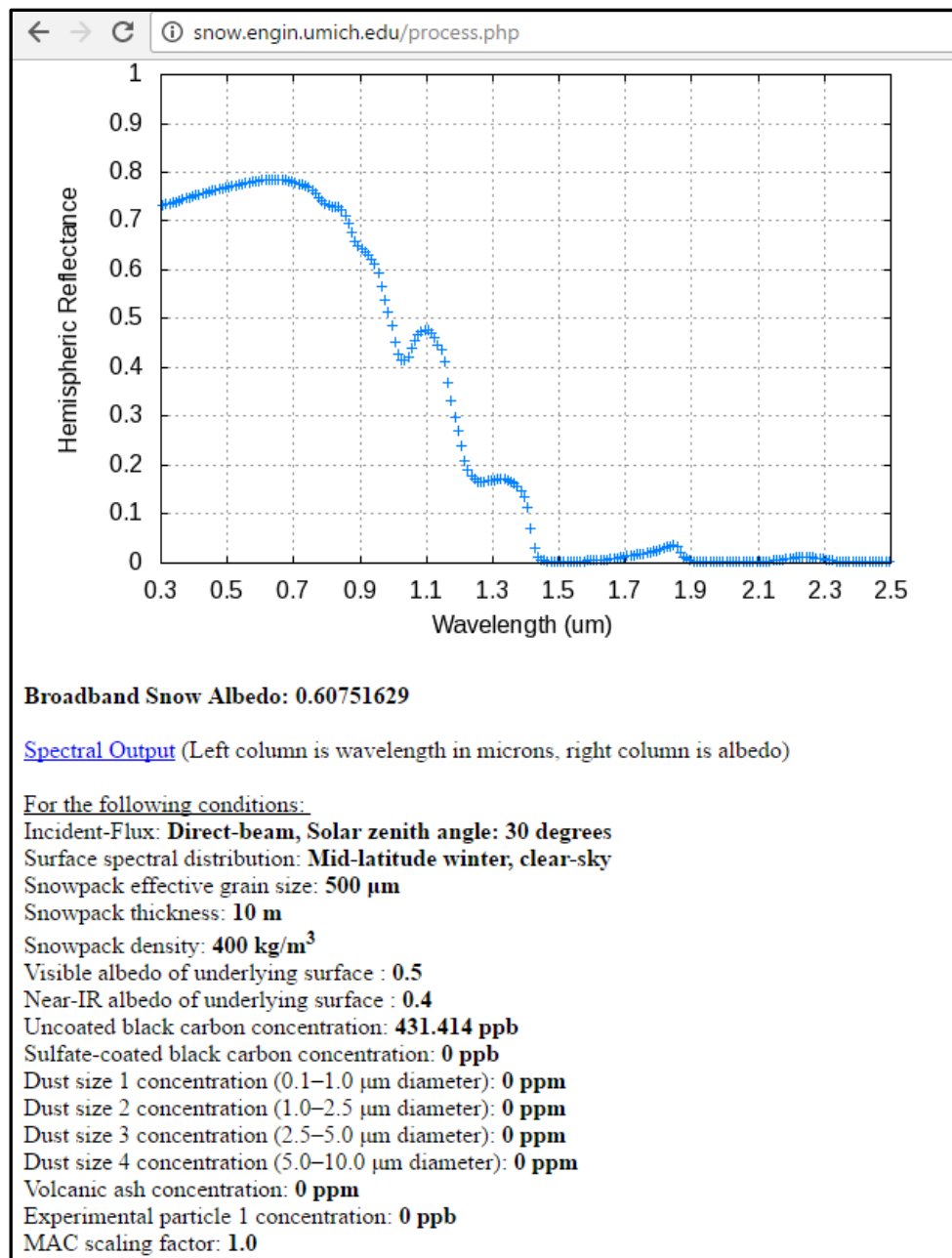


Figura 38: Albedo de nieve para el mes de julio 2016 para la línea de equilibrio en el glaciar Shallap.

Ingresando el valor de carbono negro obtenido bajo el método LAHM para este mes en la línea de equilibrio (431.414 ng/g) donde se obtuvo un albedo de 0.60751629.

r. Simulación de albedo para mes de junio 2016 – zona de ablación.

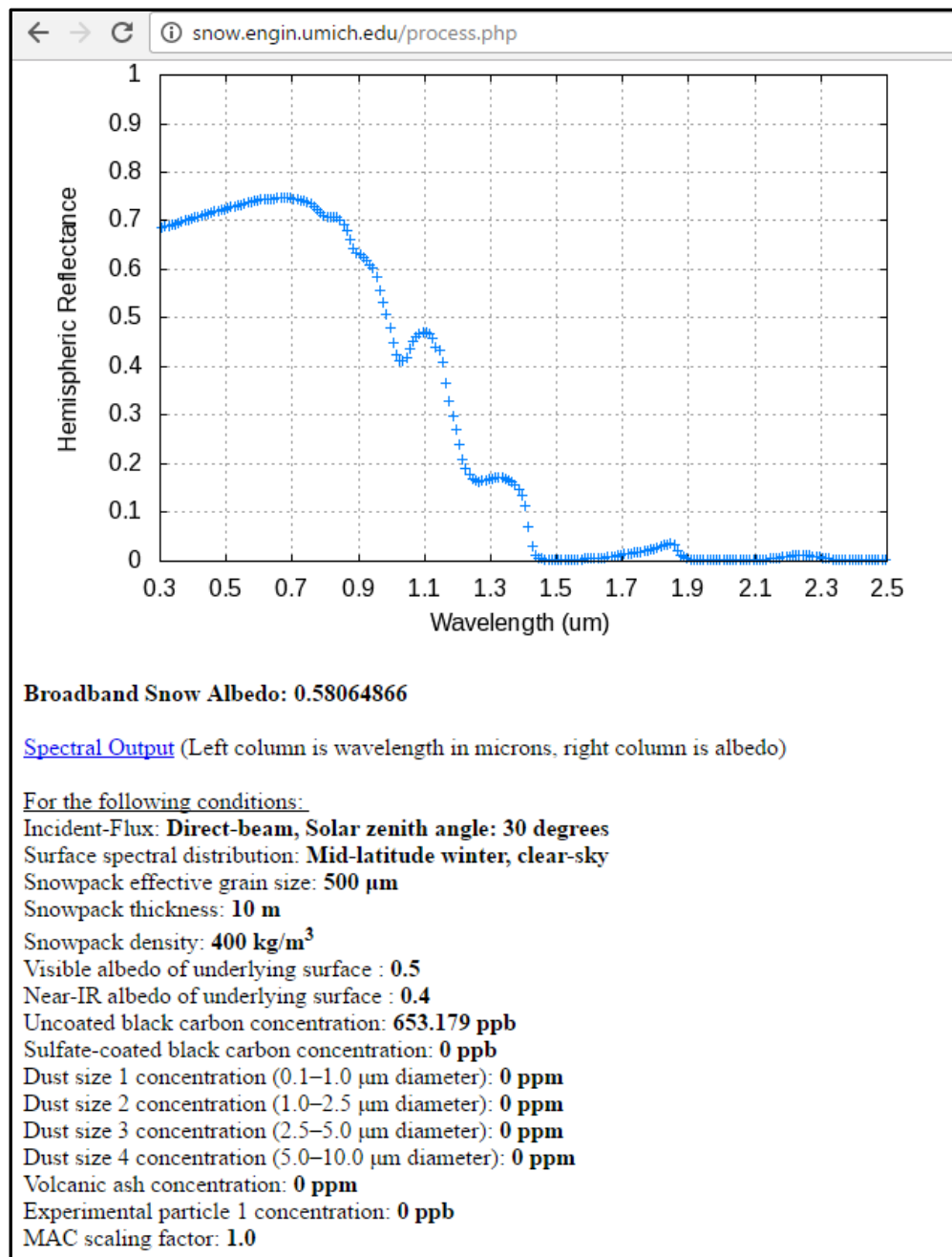


Figura 39: Albedo de nieve para el mes de julio 2016 para la zona de ablación en el glaciar Shallap.

Ingresando el valor de carbono negro obtenido bajo el método LAHM para este mes en la zona de ablación (653.179 ng/g) donde se obtuvo un albedo de 0.58064866.

s. Simulación de albedo para el mes de agosto 2016 – zona de acumulación.

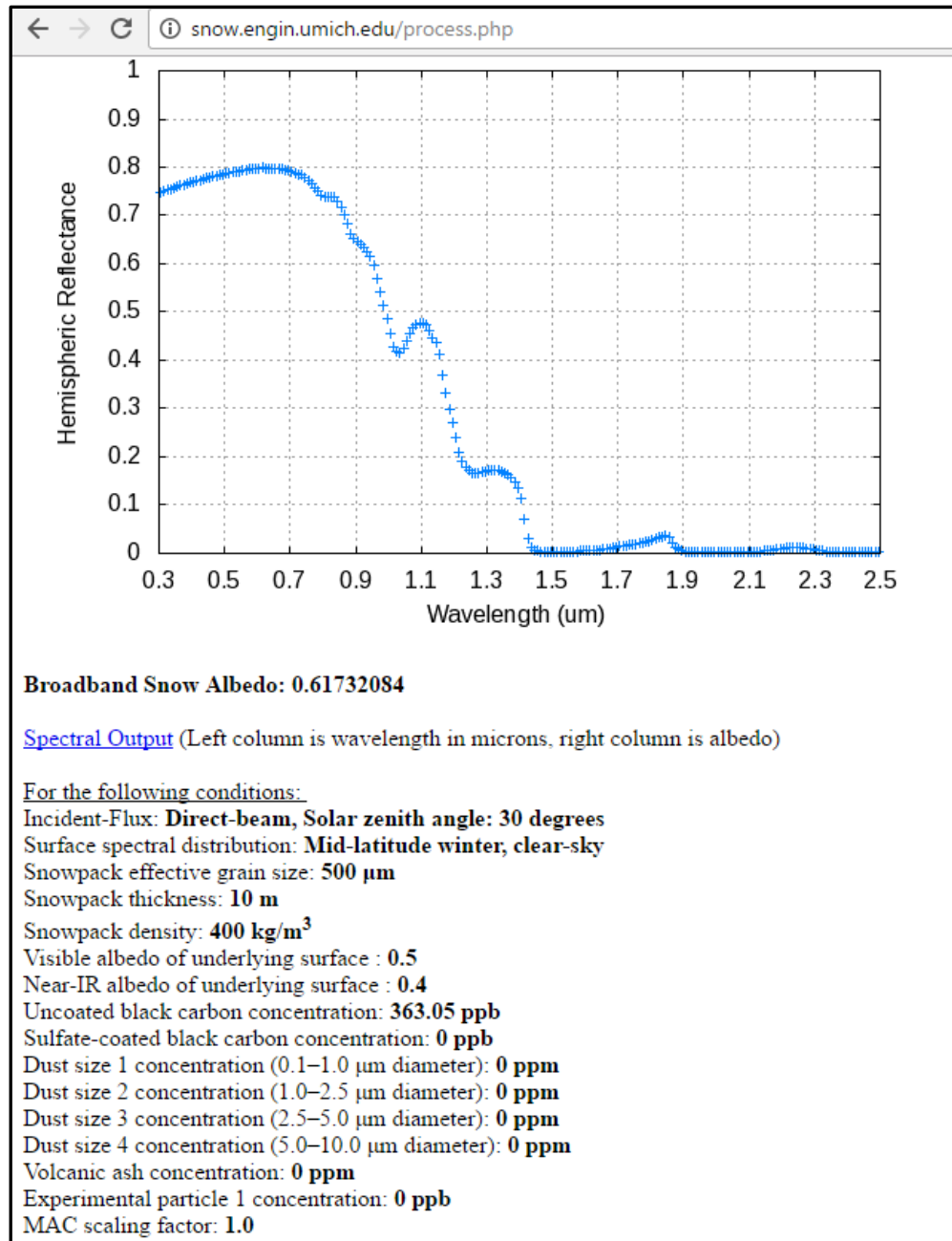


Figura 40: Albedo de nieve para el mes de agosto 2016 para la zona de acumulación en el glaciar Shallap.

Ingresando el valor de carbono negro obtenido bajo el método LAHM para este mes en la zona de acumulación (363.05 ng/g) donde se obtuvo un albedo de 0.61732084.

t. Simulación de albedo para mes de agosto 2016 - Línea de equilibrio.

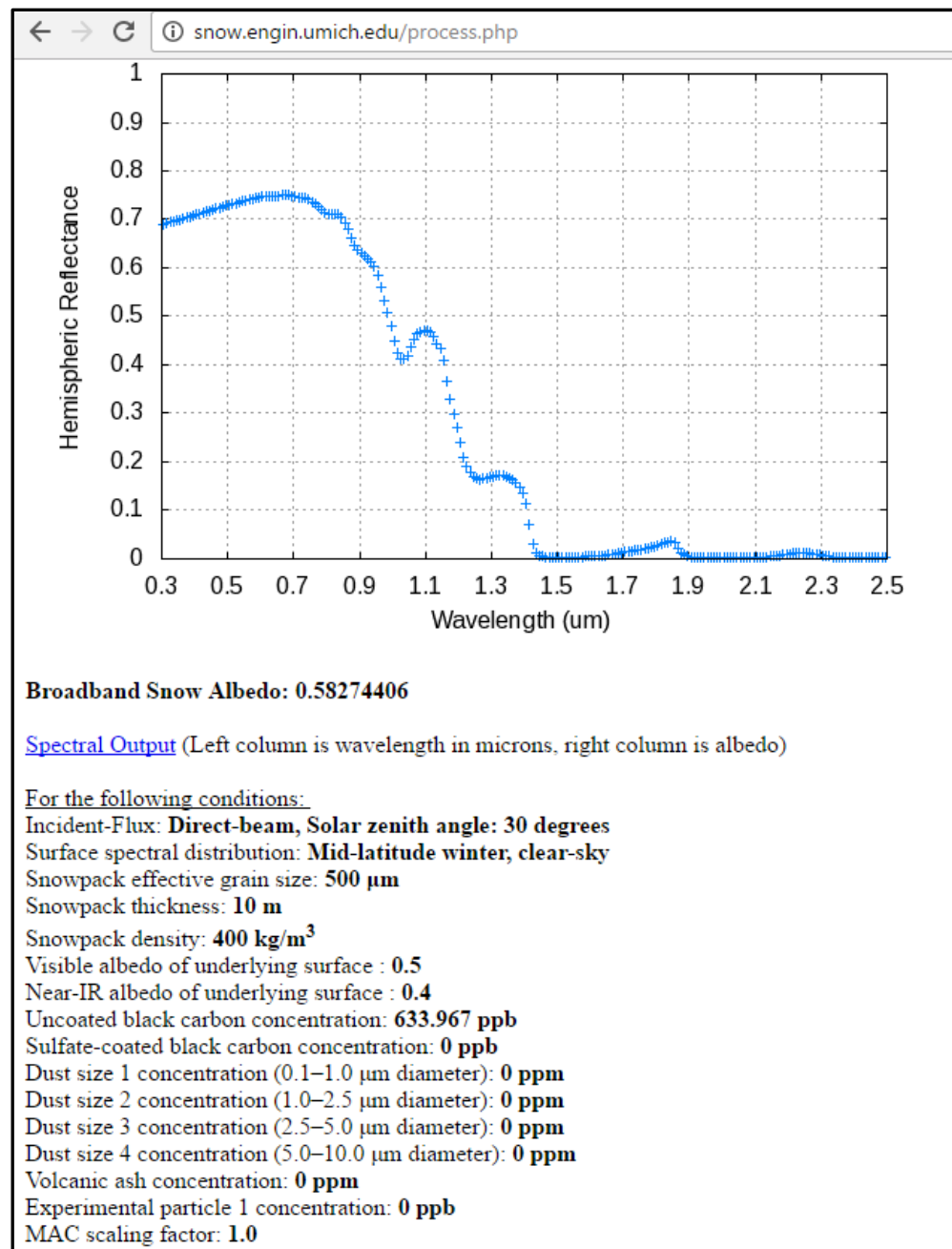


Figura 41: Albedo de nieve para el mes de agosto 2016 para la línea de equilibrio en el glaciar Shallap.

Ingresando el valor de carbono negro obtenido bajo el método LAHM para este mes en la línea de equilibrio (633.967 ng/g) donde se obtuvo un albedo de 0.58274406.

u. Simulación de albedo para mes de agosto 2016 – zona de ablación.

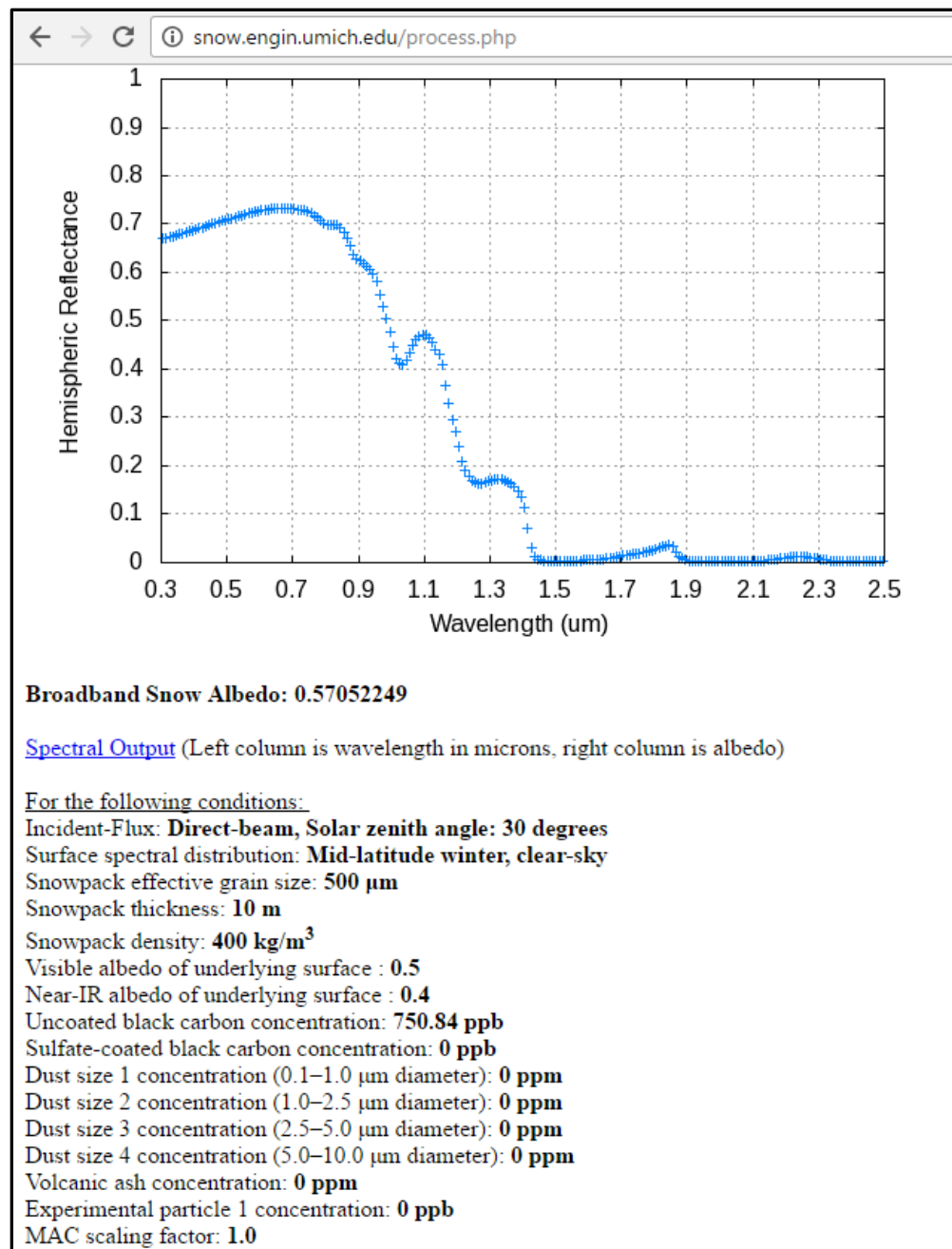


Figura 42: Albedo de nieve para el mes de agosto 2016 para la zona de ablación en el glaciar Shallap.

Ingresando el valor de carbono negro obtenido bajo el método LAHM para este mes en la zona de ablación (750.84 ng/g) donde se obtuvo un albedo de 0.57052249.

5.3.2.1. Resultados de SNICAR para el glaciar Shallap

Los resultados de albedo en cada uno de los meses utilizando la simulación SNICAR para el glaciar Shallap son los siguientes:

Glaciar Shallap				
Mes/Año	BC (ng/g)		Albedo de Nieve (0 – 1)	
Base	0.0		0.71069986	
Oct - 2015	350.215		0.61927146	
Nov - 2015	205.737		0.64447236	
Dic - 2015	61.3611		0.68128526	
Ene - 2016	393.322		0.61286557	
Feb - 2016	425.3		0.60835731	
Mar - 2016	381.01		0.61465430	
Abr - 2016	zona	Acumulación	172.404	0.65146941
		Línea de Equilibrio	257.359	0.63466036
		Ablación	711.012	0.57455122
May - 2016	zona	Acumulación	283.228	0.63011694
		Línea de Equilibrio	1047.07	0.54401523
		Ablación	1583.29	0.50637001
Jun - 2016	zona	Acumulación	263.202	0.63361347
		Línea de Equilibrio	514.132	0.59673709
		Ablación	1005.05	0.54746085
Jul - 2016	zona	Acumulación	403.635	0.61139035
		Línea de Equilibrio	431.414	0.60751629
		Ablación	653.179	0.58064866
Ago - 2016	zona	Acumulación	363.05	0.61732084
		Línea de Equilibrio	633.967	0.58274406
		Ablación	750.84	0.57052249

Tabla 30: Albedo mensual en el glaciar Shallap.

5.4. Estimación de Nieve Fundida

Una vez obtenidos los datos de carbono negro, los datos de radiación solar y el albedo de la nieve mediante la simulación SNICAR para ambos glaciares se procede con la estimación de la cantidad de nieve que se funde cada mes y en cada zona de los glaciares debido al carbono negro. Para ello se detalla el procedimiento seguido:

5.4.1. Nieve fundida en el glaciar Yanapaccha

a. Determinar la diferencia de albedo obtenido en la simulación SNICAR.

Mes/Año		Albedo Base (BC=0.0 ng/g)	Albedo con BC	Diferencia (Df)
Oct – 2015		0.71069986	0.70335841	0.00734145
Nov – 2015		0.71069986	0.70278841	0.00791145
Dic – 2015		0.71069986	0.69900095	0.01169891
Ene – 2016		0.71069986	0.64458293	0.06611693
Feb – 2016		0.71069986	0.59881604	0.11188382
Mar – 2016		0.71069986	0.63067102	0.08002884
Abr – 2016	Acumulación	0.71069986	0.67050880	0.04019106
	Línea de Equilibrio	0.71069986	0.66450500	0.04619486
	Ablación	0.71069986	0.61213362	0.09856624
May – 2016	Acumulación	0.71069986	0.65997410	0.05072576
	Línea de Equilibrio	0.71069986	0.59055072	0.12014914
	Ablación	0.71069986	0.56434244	0.14635742
Jun – 2016	Acumulación	0.71069986	0.65387678	0.05682308
	Línea de Equilibrio	0.71069986	0.65172541	0.05897445
	Ablación	0.71069986	0.66337734	0.04732252
Jul – 2016	Acumulación	0.71069986	0.64592701	0.06477285
	Línea de Equilibrio	0.71069986	0.64079893	0.06990093
	Ablación	0.71069986	0.61836743	0.09233243

Tabla 31: Diferencia de albedo para el glaciar Yanapaccha.

b. Calcular la cantidad de energía en Joule que llega al glaciar.

Los datos de radiación solar se registran en vatios por metro cuadrado (W/m^2), lo que significa que es en Joule por segundo por metro cuadrado. Necesitamos saber cuántos Joules (energía) llega al glaciar. Por lo tanto, multiplicaremos la energía total por el número 3600 (segundos en una hora). Esto nos dará el número total de energía en Joule por segundo por metro cuadrado (J/s/m^2) que llega a la superficie del glaciar para cada mes.

Mes/Año	(ET) Energía Total (W/m ²)	ET*3600 (J(seg/m ²)
Oct – 2015	348500.9979	1254603592
Nov – 2015	303620.3446	1093033241
Dic – 2015	340541.3611	1225948900
Ene – 2016	397205.7936	1429940857
Feb – 2016	301059.5498	1083814379
Mar – 2016	322862.787	1162306033
Abr – 2016	339821.9835	1223359141
May – 2016	353073.4145	1271064292
Jun – 2016	324384.3499	1167783660
Jul – 2016	370388.6068	1333398985

Tabla 32: Cálculo de la energía solar que llega al glaciar Yanpaccha.

c. Determinar la energía absorbida por el carbono negro.

En este paso multiplicamos la diferencia de albedo obtenido en paso (a.) para cada mes y la cantidad de energía convertida en Joule. Esto nos dará la cantidad de energía absorbida por el carbono negro presente en la nieve.

Mes/Año	Diferencia de Albedo (Df)	ET*3600 (J(seg/m ²)	Energía Absorbida por el BC (J(seg/m ²)
Oct – 2015	0.00734145	1254603592	9210609.54
Nov – 2015	0.00791145	1093033241	8647477.83
Dic – 2015	0.01169891	1225948900	14342265.85
Ene – 2016	0.06611693	1429940857	94543299.55
Feb – 2016	0.11188382	1083814379	121261292.94
Mar – 2016	0.08002884	1162306033	93018003.57
Abr – 2016	Acumulación	0.04019106	1223359141
	Línea de Equilibrio	0.04619486	1223359141
	Ablación	0.09856624	1223359141
May - 2016	Acumulación	0.05072576	1271064292
	Línea de Equilibrio	0.12014914	1271064292
	Ablación	0.14635742	1271064292
Jun – 2016	Acumulación	0.05682308	1167783660
	Línea de Equilibrio	0.05897445	1167783660
	Ablación	0.04732252	1167783660
Jul – 2016	Acumulación	0.06477285	1333398985
	Línea de Equilibrio	0.06990093	1333398985
	Ablación	0.09233243	1333398985

Tabla 33: Determinación de energía absorbida por el carbono negro en el glaciar Yanapaccha.

d. Nieve fundida a causa del carbono negro.

Paso seguido dividimos la energía absorbida por el carbono negro entre el número 336000, esta valor es la energía en Joule que se requiere para convertir un kilogramo de nieve en agua (energía de fusión). De esta manera obtenemos el número de kilogramos de nieve fundida por metro cuadrado en el glaciar Yanapaccha.

Mes/Año	Energía Absorbida por el BC (J/m ²)	Energía de Fusión (Joule)	Nieve fundida por el BC (kg/m ²)	
Oct – 2015	9210609.54	336000	27.41	
Nov – 2015	8647477.83	336000	25.74	
Dic – 2015	14342265.85	336000	42.69	
Ene – 2016	94543299.55	336000	281.38	
Feb – 2016	121261292.94	336000	360.90	
Mar – 2016	93018003.57	336000	276.84	
Abr - 2016	Acumulación	49168100.63	336000	146.33
	Línea de Equilibrio	56512904.24	336000	168.19
	Ablación	120581910.67	336000	358.87
May – 2016	Acumulación	64475702.24	336000	191.89
	Línea de Equilibrio	152717281.61	336000	454.52
	Ablación	186029690.48	336000	553.66
Jun – 2016	Acumulación	66357064.32	336000	197.49
	Línea de Equilibrio	68869399.05	336000	204.97
	Ablación	55262465.60	336000	164.47
Jul – 2016	Acumulación	86368052.42	336000	257.05
	Línea de Equilibrio	93205829.08	336000	277.40
	Ablación	123115968.41	336000	366.42

Tabla 34: Estimación de nieve fundida por el carbono negro en el glaciar Yanapaccha.

5.4.2. Nieve fundida en el glaciar Shallap

- a. Determinar la diferencia de albedo obtenido en la simulación SNICAR.

Mes/Año	Albedo Base (BC=0.0 ng/g)	Albedo con BC	Diferencia (Df)
Oct – 2015	0.71069986	0.61927146	0.0914284
Nov – 2015	0.71069986	0.64447236	0.0662275
Dic – 2015	0.71069986	0.68128526	0.0294146
Ene – 2016	0.71069986	0.61286557	0.09783429
Feb – 2016	0.71069986	0.60835731	0.10234255

	Mar – 2016	0.71069986	0.61465430	0.09604556
Abr – 2016	Acumulación	0.71069986	0.65146941	0.05923045
	Línea de Equilibrio	0.71069986	0.63466036	0.0760395
	Ablación	0.71069986	0.57455122	0.13614864
May – 2016	Acumulación	0.71069986	0.63011694	0.08058292
	Línea de Equilibrio	0.71069986	0.54401523	0.16668463
	Ablación	0.71069986	0.50637001	0.20432985
Jun – 2016	Acumulación	0.71069986	0.63361347	0.07708639
	Línea de Equilibrio	0.71069986	0.59673709	0.11396277
	Ablación	0.71069986	0.54746085	0.16323901
Jul – 2016	Acumulación	0.71069986	0.61139035	0.09930951
	Línea de Equilibrio	0.71069986	0.60751629	0.10318357
	Ablación	0.71069986	0.58064866	0.1300512
Ago - 2016	Acumulación	0.71069986	0.61732084	0.09337902
	Línea de Equilibrio	0.71069986	0.58274406	0.1279558
	Ablación	0.71069986	0.57052249	0.14017737

Tabla 35: Diferencia de albedo para el glaciar Shallap.

b. Calcular la cantidad de energía en Joule que llega al glaciar.

Los datos de radiación solar se registran en vatios por metro cuadrado (W/m^2), lo que significa que es en Joule por segundo por metro cuadrado. Necesitamos saber cuántos Joules (energía) llega al glaciar. Por lo tanto, multiplicaremos la energía total por el número 3600 (segundos en una hora). Esto nos dará el número total de energía en Joule por segundo por metro cuadrado (J.seg/m^2) que llega a la superficie del glaciar para cada mes.

Mes/Año	(ET) Energía Total (W/m^2)	ET*3600 (J.seg/m^2)
Oct – 2015	377870.6332	1360334280
Nov – 2015	306620.1766	1103832636
Dic – 2015	331259.5288	1192534304
Ene – 2016	378934.4806	1364164130
Feb – 2016	309243.4727	1113276502
Mar – 2016	335525.3126	1207891125
Abr – 2016	322063.3876	1159428195
May – 2016	333760.7393	1201538661
Jun – 2016	318869.9967	1147931988
Jul – 2016	383196.0868	1379505912
Ago – 2016	370242.1215	1332871637

Tabla 36: Conversión de unidad de la energía para el glaciar Shallap.

c. Determinar la energía absorbida por el carbono negro

En este paso multiplicamos la diferencia de albedo obtenido en paso (a.) para cada mes y la cantidad de energía convertida en Joule. Esto nos dará la cantidad de energía absorbida por el carbono negro en la nieve.

Mes/Año	Diferencia de Albedo (Df)	ET*3600 (J(seg/m ²))	Energía Absorbida por el BC (J(seg/m ²))
Oct – 2015	0.09142840	1360334280	124373186.64
Nov – 2015	0.06622750	1103832636	73104075.89
Dic – 2015	0.02941460	1192534304	35077919.53
Ene – 2016	0.09783429	1364164130	133462029.11
Feb – 2016	0.10234255	1113276502	113935556.03
Mar – 2016	0.09604556	1207891125	116012579.55
Abr – 2016	Acumulación	0.05923045	1159428195
	Línea de Equilibrio	0.07603950	1159428195
	Ablación	0.13614864	1159428195
May – 2016	Acumulación	0.08058292	1201538661
	Línea de Equilibrio	0.16668463	1201538661
	Ablación	0.20432985	1201538661
Jun – 2016	Acumulación	0.07708639	1147931988
	Línea de Equilibrio	0.11396277	1147931988
	Ablación	0.16323901	1147931988
Jul – 2016	Acumulación	0.09930951	1379505912
	Línea de Equilibrio	0.10318357	1379505912
	Ablación	0.13005120	1379505912
Ago – 2016	Acumulación	0.09337902	1332871637
	Línea de Equilibrio	0.12795580	1332871637
	Ablación	0.14017737	1332871637

Tabla 37: Determinación de energía absorbida por el carbono negro en el glaciar Shallap.

d. Nieve fundida a causa del carbono negro

Paso seguido dividimos la energía absorbida por el carbono negro entre el número 336000, esta valor es la energía en Joule que se requiere para convertir un kilogramo de nieve en agua (energía de fusión). De esta manera obtenemos el número de kilogramos de nieve fundida por metro cuadrado en el glaciar Shallap.

Mes/Año	Energía Absorbida por el BC (J(seg/m ²))	Energía de Fusión (Joule)	Nieve fundida por el BC (kg/m ²)
Oct – 2015	124373186.64	336000	370.16
Nov – 2015	73104075.89	336000	217.57
Dic – 2015	35077919.53	336000	104.40
Ene – 2016	133462029.11	336000	397.21
Feb – 2016	113935556.03	336000	339.09
Mar – 2016	116012579.55	336000	345.28
Abr – 2016	Acumulación	68673453.76	336000
	Línea de Equilibrio	88162340.27	336000
	Ablación	157854571.99	336000
May – 2016	Acumulación	96823493.83	336000
	Línea de Equilibrio	200278027.21	336000
	Ablación	245510214.46	336000
Jun – 2016	Acumulación	88489932.92	336000
	Línea de Equilibrio	130821509.13	336000
	Ablación	187387281.27	336000
Jul – 2016	Acumulación	136998056.21	336000
	Línea de Equilibrio	142342344.89	336000
	Ablación	179406399.33	336000
Ago – 2016	Acumulación	124462247.27	336000
	Línea de Equilibrio	170548656.64	336000
	Ablación	186838440.65	336000

Tabla 38: Estimación de nieve fundida por el carbono negro en el glaciar Shallap.

Para comprender mejor el procedimiento de obtención de la cantidad de nieve fundida a causa del carbono negro en cada glaciar se presenta dos tablas con la secuencia de cálculos realizados para este fin.

ESTIMACIÓN DE NIEVE FUNDIDA A CAUSA DEL CARBONO NEGRO PARA EL GLACIAR YANAPACCHA						
Mes/Año	Carbon Negro - BC (ng/g)	Radiación Solar (W/m ²)	Radiación Solar (J(seg/m ²)	Diferencia - Albedo	Energía Absorbida por BC (Joules)	Nieve Fundida por BC (Kg/m ²)
oct-15	10.6566	348500.9979	1254603592	0.00734145	9210609.54	27.41
nov-15	11.6185	303620.3446	1093033241	0.00791145	8647477.83	25.74
dic-15	18.5066	340541.3611	1225948900	0.01169891	14342265.85	42.69
ene-16	205.192	397205.7936	1429940857	0.06611693	94543299.55	281.38
feb-16	497.547	301059.5498	1083814379	0.11188382	121261292.94	360.90
mar-16	280.007	322862.787	1162306033	0.08002884	93018003.57	276.84
abr-16	95.8146	339821.9835	1223359141	0.04019106	49168100.63	146.33
	117.773	339821.9835	1223359141	0.04619486	56512904.24	168.19
	398.424	339821.9835	1223359141	0.09856624	120581910.67	358.87
may-16	135.678	353073.4145	1271064292	0.05072576	64475702.24	191.89
	565.334	353073.4145	1271064292	0.12014914	152717281.61	454.52
	814.507	353073.4145	1271064292	0.14635742	186029690.48	553.66
jun-16	161.593	324384.3499	1167783660	0.05682308	66357064.32	197.49
	171.237	324384.3499	1167783660	0.05897445	68869399.05	204.97
	122.123	324384.3499	1167783660	0.04732252	55262465.60	164.47
jul-16	198.579	370388.6068	1333398985	0.06477285	86368052.42	257.05
	224.39	370388.6068	1333398985	0.06990093	93205829.08	277.40
	356.132	370388.6068	1333398985	0.09233243	123115968.41	366.42

Tabla 39: Secuencia de cálculos realizados para estimar la cantidad de nieve fundida a causa del carbono negro en el glaciar Yanapaccha.

Hasta el mes de marzo 2016 se recolectaron muestras a una altitud cercana a los 5000 m.s.n.m. a partir del mes de abril 2016 se recolectaron muestras en cada zona del glaciar (incluida la línea de equilibrio), el mismo valor de radiación solar se considera para cada zona del glaciar en los meses de abril, mayo, junio y julio; sin embargo por las distintas masas de carbono negro en cada zona del glaciar se obtuvo diferentes valores de diferencia de albedo, energía absorbida y nieve fundida por el carbono negro. La masa de carbono negro y la nieve fundida son directamente proporcionales, cuando la masa de carbono negro es mayor la cantidad de nieve fundida es mayor y de manera viceversa si la masa de carbono negro es menor la cantidad también es menor. El aumento del carbono negro está ligado a la falta de precipitaciones sólidas, una menor humedad relativa en la atmósfera (el carbono negro actúa como núcleos de condensación) al no encontrar humedad estas partículas persisten en la atmósfera que se transportan a los glaciares por los vientos.

ESTIMACIÓN DE NIEVE FUNDIDA A CAUSA DEL CARBONO NEGRO PARA EL GLACIAR SHALLAP						
Mes/Año	Carbon Negro - BC (ng/g)	Radiación Solar (W/m2)	Radiación Solar (J(seg/m2)	Diferencia - Albedo	Energía Absorbida por BC (Joules)	Nieve Fundida por BC (Kg/m2)
oct-15	350.215	377870.6332	1360334280	0.09142840	124373186.64	370.16
nov-15	205.737	306620.1766	1103832636	0.06622750	73104075.89	217.57
dic-15	61.3611	331259.5288	1192534304	0.02941460	35077919.53	104.40
ene-16	393.322	378934.4806	1364164130	0.09783429	133462029.11	397.21
feb-16	425.3	309243.4727	1113276502	0.10234255	113935556.03	339.09
mar-16	381.01	335525.3126	1207891125	0.09604556	116012579.55	345.28
abr-16	172.404	322063.3876	1159428195	0.05923045	68673453.76	204.39
	257.359	322063.3876	1159428195	0.07603950	88162340.27	262.39
	711.012	322063.3876	1159428195	0.13614864	157854571.99	469.81
may-16	283.228	333760.7393	1201538661	0.08058292	96823493.83	288.17
	1047.07	333760.7393	1201538661	0.16668463	200278027.21	596.07
	1583.29	333760.7393	1201538661	0.20432985	245510214.46	730.69
jun-16	263.202	318869.9967	1147931988	0.07708639	88489932.92	263.36
	514.132	318869.9967	1147931988	0.11396277	130821509.13	389.35
	1005.05	318869.9967	1147931988	0.16323901	187387281.27	557.70
jul-16	403.635	383196.0868	1379505912	0.09930951	136998056.21	407.73
	431.414	383196.0868	1379505912	0.10318357	142342344.89	423.64
	653.179	383196.0868	1379505912	0.13005120	179406399.33	533.95
ago-16	363.05	370242.1215	1332871637	0.09337902	124462247.27	370.42
	633.967	370242.1215	1332871637	0.12795580	170548656.64	507.59
	750.84	370242.1215	1332871637	0.14017737	186838440.65	556.07

Tabla 40: Secuencia de cálculos realizados para estimar la cantidad de nieve fundida a causa del carbono negro en el glaciar Shallap.

El glaciar Shallap por su cercanía a la ciudad de Huaraz (principal fuente de aerosoles antropogénicos), presenta valores más elevados en comparación al glaciar Yanapaccha. Las principales fuentes de carbono negro en una ciudad son el parque automotor que emite partículas PM_{2.5} (incluido el carbono negro), el uso de biomasa (madera y leña) para cocinar (en caso de Huaraz), y las quemas a cielo abierto (incluido los incendios forestales) este último aporta una gran variedad de partículas (carbono orgánico, carbono negro, sulfuros, nitratos) dependiendo del material orgánico quemado, la combinación con el oxígeno (aire), la sequedad de la madera o pasto. Además para el caso de este glaciar debemos considerar el tipo de Till glaciar que aporta el lecho rocoso por el proceso de abrasión, estas son una mezcla entre gravas y arcillas muy oscuras.

6. RESULTADOS

6.1. Masas de carbono negro determinados en los filtros del glaciar Yanapaccha.

Mes/Año	Carbono Negro - BC (ng/g)	
oct-15	10.6566	
nov-15	11.6185	
dic-15	18.5066	
ene-16	205.192	
feb-16	497.547	
mar-16	280.007	
abr-16	Acumulación	95.8146
	Línea de Equilibrio	117.773
	Ablación	398.424
may-16	Acumulación	135.678
	Línea de Equilibrio	565.334
	Ablación	814.507
jun-16	Acumulación	161.593
	Línea de Equilibrio	171.237
	Ablación	122.123
Jul-16	Acumulación	198.579
	Línea de Equilibrio	224.39
	Ablación	356.132

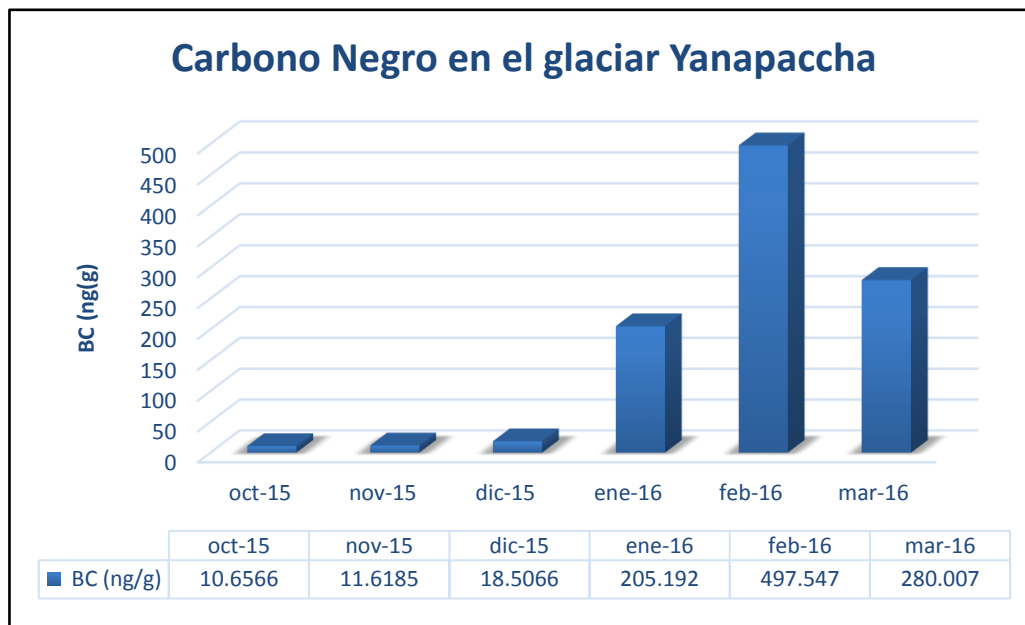


Gráfico 01: Variación de carbono negro entre octubre 2015 a marzo 2016 en el glaciar Yanapaccha.

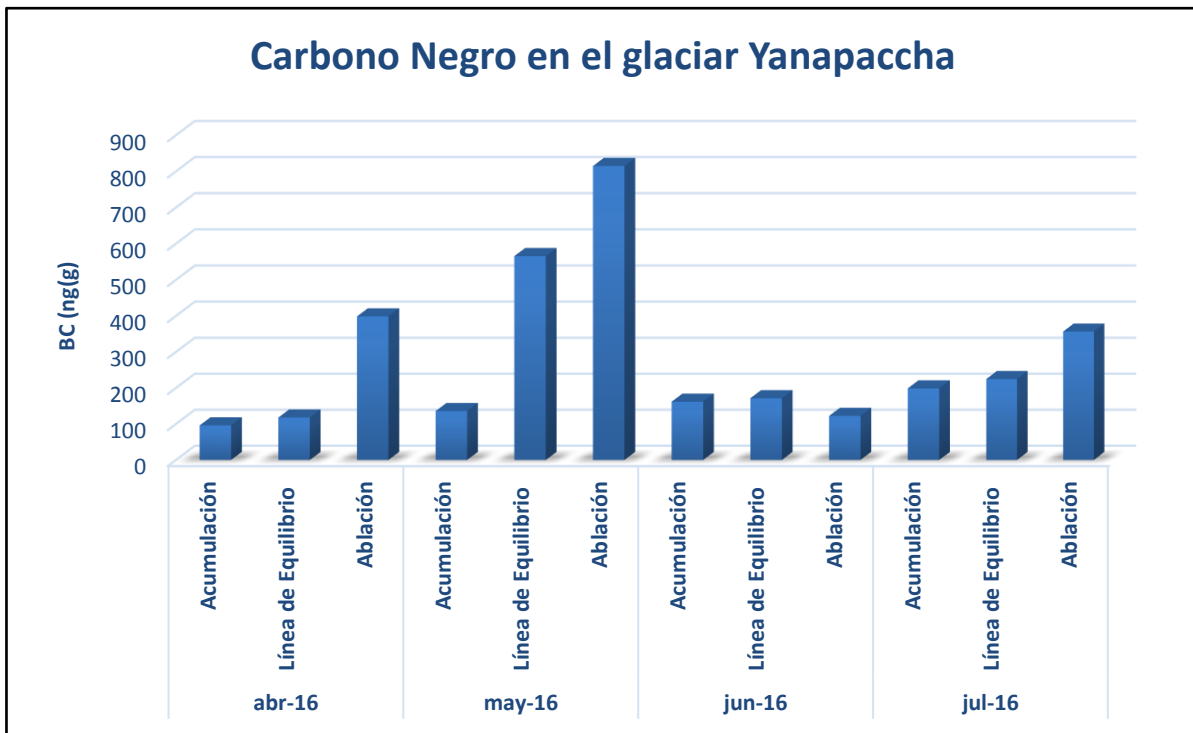


Gráfico 02: Variación de carbono negro entre abril a julio de 2016 en el glaciar Yanapaccha.

6.2. Masas de carbono negro determinados en los filtros del glaciar Shallap.

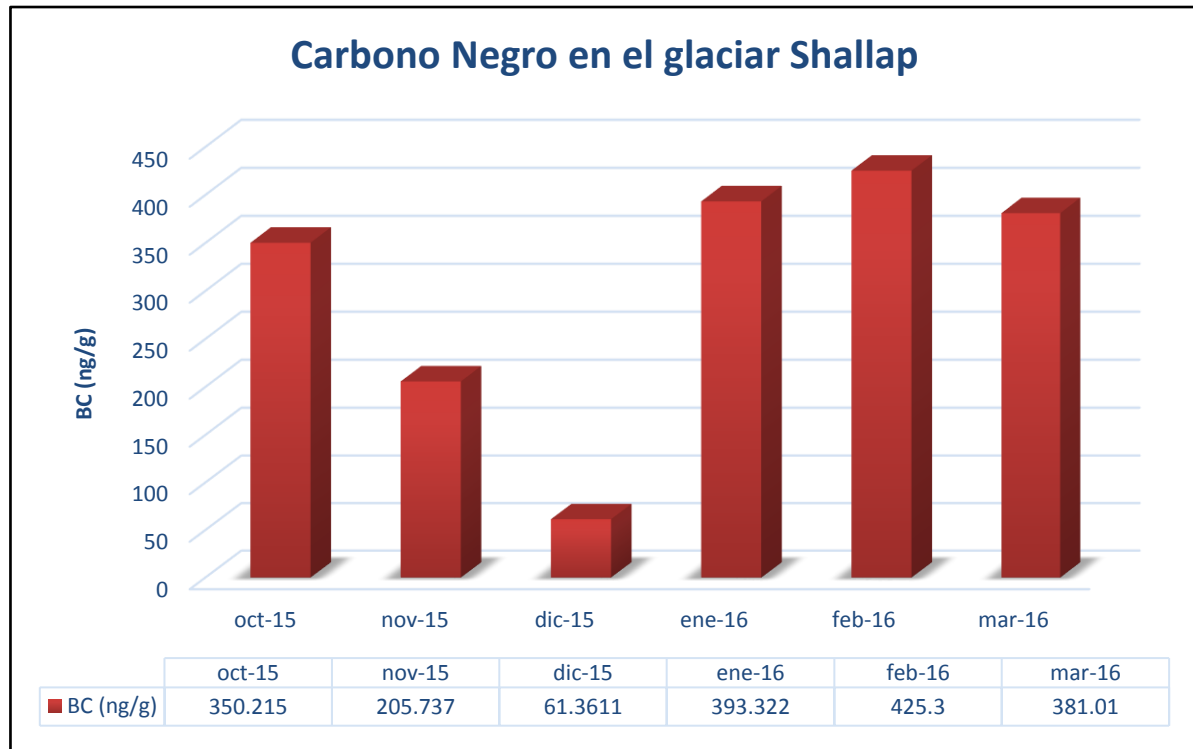


Gráfico 03: Variación de carbono negro entre octubre 2015 a marzo 2016 en el glaciar Shallap.

Mes/Año	Carbono Negro - BC (ng/g)	
oct-15	350.215	
nov-15	205.737	
dic-15	61.3611	
ene-16	393.322	
feb-16	425.3	
mar-16	381.01	
abr-16	Acumulación	172.404
	Línea de Equilibrio	257.359
	Ablación	711.012
may-16	Acumulación	283.228
	Línea de Equilibrio	1047.07
	Ablación	1583.29
jun-16	Acumulación	263.202
	Línea de Equilibrio	514.132
	Ablación	1005.05
Jul-16	Acumulación	403.635
	Línea de Equilibrio	431.414
	Ablación	653.179
ago-16	Acumulación	363.05
	Línea de Equilibrio	633.967
	Ablación	750.84

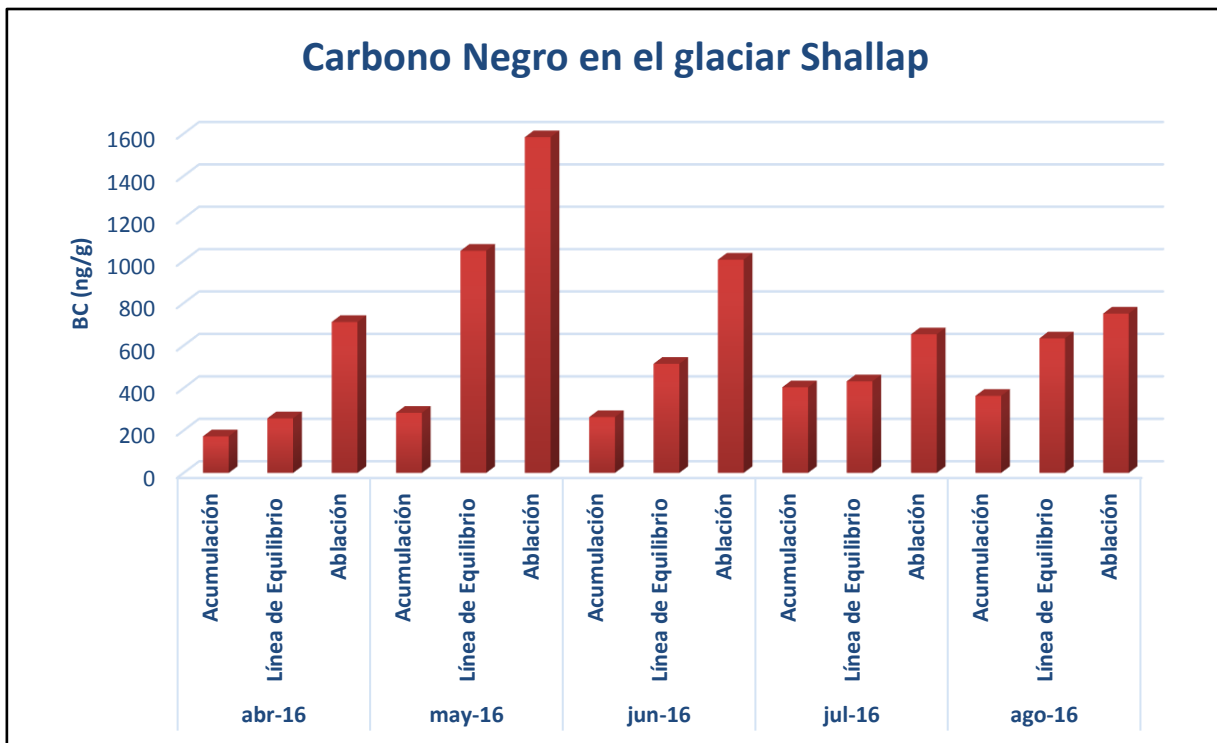


Gráfico 04: Variación de carbono negro entre abril a agosto de 2016 en el glaciar Shallap.

6.3. Variación del albedo de la nieve usando la simulación SNICAR para el glaciar Yanapaccha.

SIMULACIÓN SNICAR PARA EL GLACIAR YANAPACCHA					
Mes/Año	Albedo sin BC	Zona-Glaciario	BC (ng/g)	Albedo con BC	Diferencia-Albedo
oct-15	0.71069986	Acumulación	10.6566	0.70335841	0.00734145
nov-15	0.71069986	Acumulación	11.6185	0.70278841	0.00791145
dic-15	0.71069986	Acumulación	18.5066	0.69900095	0.01169891
ene-16	0.71069986	Acumulación	205.192	0.64458293	0.06611693
feb-16	0.71069986	Acumulación	497.547	0.59881604	0.11188382
mar-16	0.71069986	Acumulación	280.007	0.63067102	0.08002884
abr-16	0.71069986	Acumulación	95.8146	0.67050880	0.04019106
		ELA	117.773	0.66450500	0.04619486
		Ablación	398.424	0.61213362	0.09856624
may-16	0.71069986	Acumulación	135.678	0.65997410	0.05072576
		ELA	565.334	0.59055072	0.12014914
		Ablación	814.507	0.56434244	0.14635742
jun-16	0.71069986	Acumulación	161.593	0.65387678	0.05682308
		ELA	171.237	0.65172541	0.05897445
		Ablación	122.123	0.66337734	0.04732252
jul-16	0.71069986	Acumulación	198.579	0.64592701	0.06477285
		ELA	224.39	0.64079893	0.06990093
		Ablación	356.132	0.61836743	0.09233243

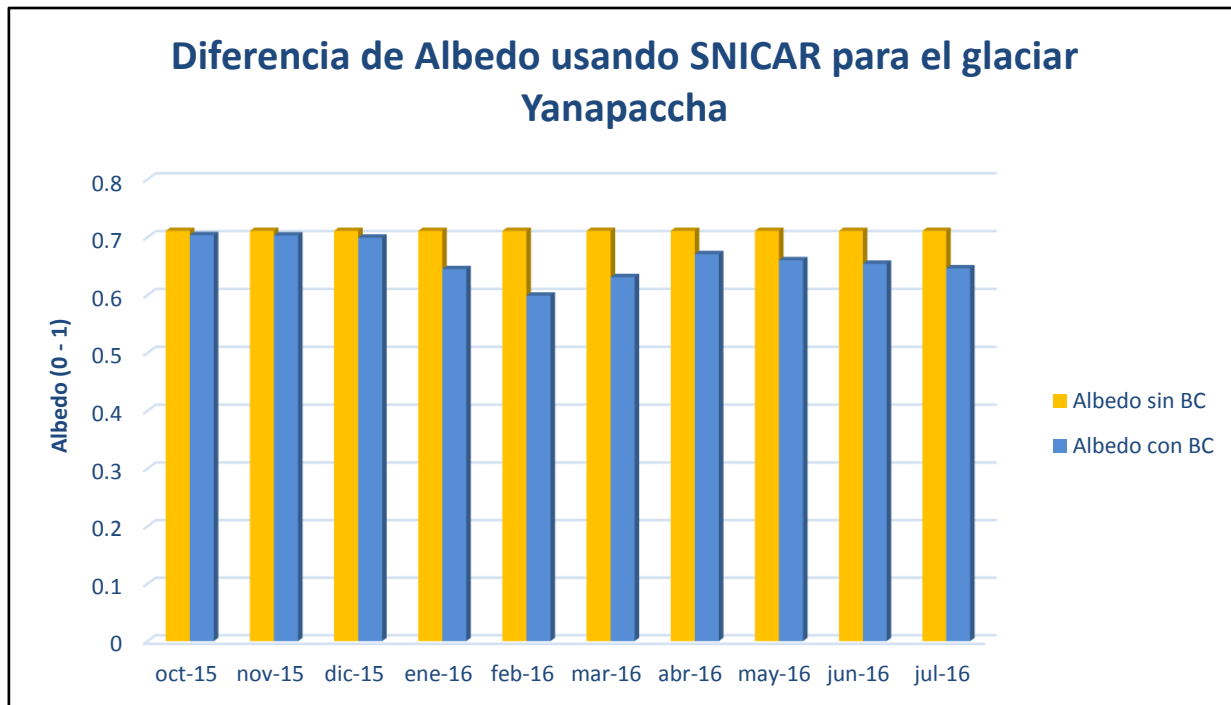


Gráfico 05: Diferencia de albedo usando SNICAR para el glaciar Yanapaccha.

6.4. Variación del albedo de la nieve usando la simulación SNICAR para el glaciar Shallap.

SIMULACIÓN SNICAR PARA EL GLACIAR SHALLAP					
Mes/Año	Albedo sin BC	Zona-Glaciario	BC (ng/g)	Albedo con BC	Diferencia-Albedo
oct-15	0.71069986	Acumulación	350.215	0.61927146	0.0914284
nov-15	0.71069986	Acumulación	205.737	0.64447236	0.0662275
dic-15	0.71069986	Acumulación	61.3611	0.68128526	0.0294146
ene-16	0.71069986	Acumulación	393.322	0.61286557	0.09783429
feb-16	0.71069986	Acumulación	425.3	0.60835731	0.10234255
mar-16	0.71069986	Acumulación	381.01	0.61465430	0.09604556
abr-16	0.71069986	Acumulación	172.404	0.65146941	0.05923045
		ELA	257.359	0.63466036	0.0760395
		Ablación	711.012	0.57455122	0.13614864
may-16	0.71069986	Acumulación	283.228	0.63011694	0.08058292
		ELA	1047.07	0.54401523	0.16668463
		Ablación	1583.29	0.50637001	0.20432985
jun-16	0.71069986	Acumulación	263.202	0.63361347	0.07708639
		ELA	514.132	0.59673709	0.11396277
		Ablación	1005.05	0.54746085	0.16323901
Jul-16	0.71069986	Acumulación	403.635	0.61139035	0.09930951
		ELA	431.414	0.60751629	0.10318357
		Ablación	653.179	0.58064866	0.1300512
ago-16	0.71069986	Acumulación	363.05	0.61732084	0.09337902
		ELA	633.967	0.58274406	0.1279558
		Ablación	750.84	0.57052249	0.14017737

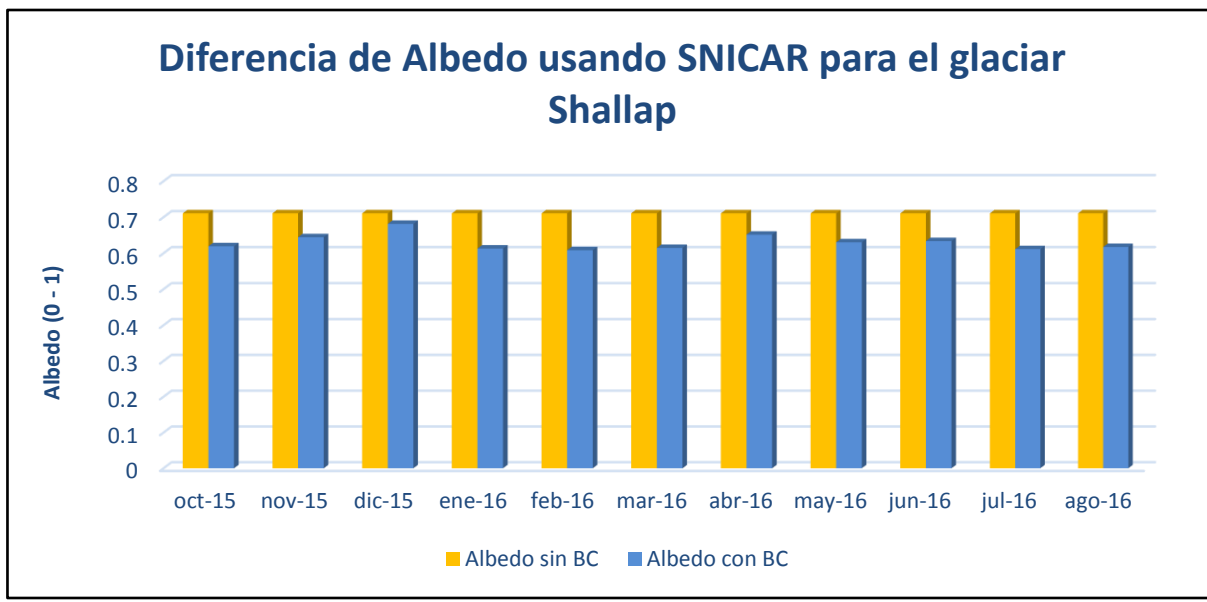


Gráfico 06: Diferencia de albedo usando SNICAR para el glaciar Shallap.

6.5. Energía total que llega sobre el glaciar Yanapaccha.

RS - PARA EL GLACIAR YANAPACCHA		
Año	Mes	RS (W/m2)
2015	oct	348500.9979
2015	nov	303620.3446
2015	dic	340541.3611
2016	ene	397205.7936
2016	feb	301059.5498
2016	mar	322862.787
2016	abr	339821.9835
2016	may	353073.4145
2016	jun	324384.3499
2016	jul	370388.6068

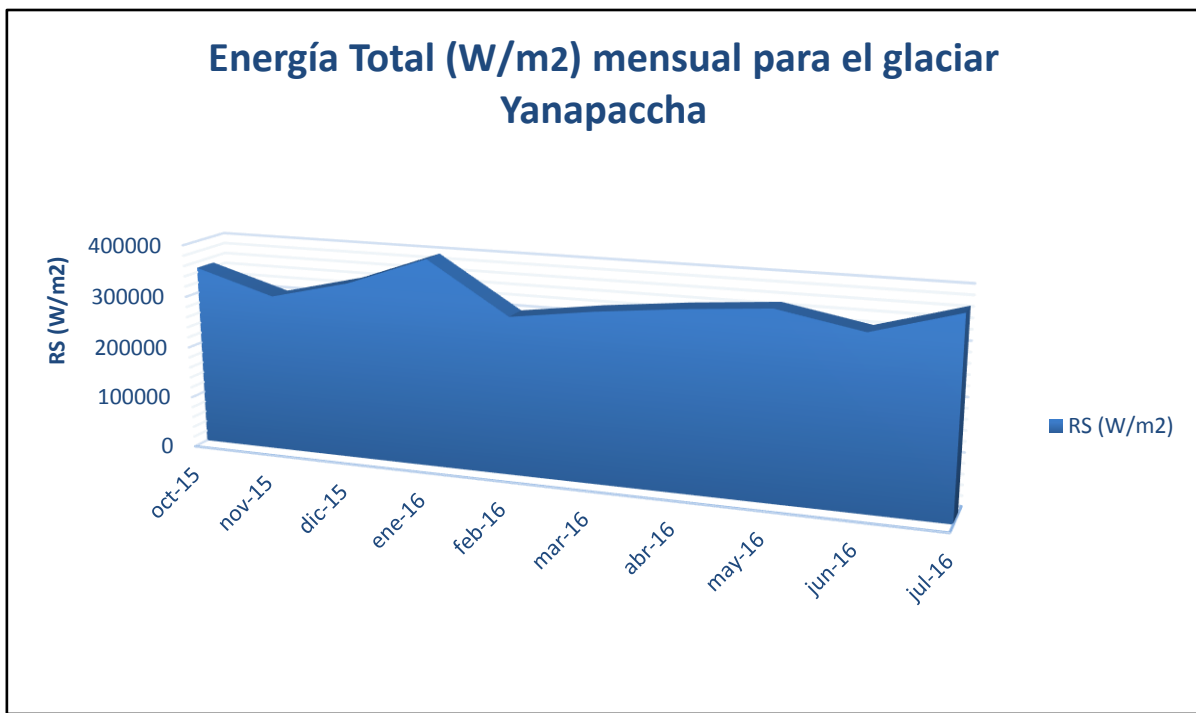


Gráfico 07: Energía total mensual que llega sobre el glaciar Yanapaccha.

De esta energía total (W/m²) mensual que llega sobre la superficie del glaciar, una cantidad es absorbida por el carbono negro. Es esta energía absorbida la que se transfiere en forma de calor a la nieve para acelerar su fusión. A continuación se detalla en una tabla la cantidad de energía absorbida por el carbono negro de manera mensual para el glaciar Yanapaccha:

Energía Absorbida por el Carbono Negro en el glaciar Yanapaccha



Gráfico 08: Energía absorbida por el carbono negro en el glaciar Yanapaccha.

Energía Absorbida por el Carbono Negro en cada zona del glaciar Yanapaccha

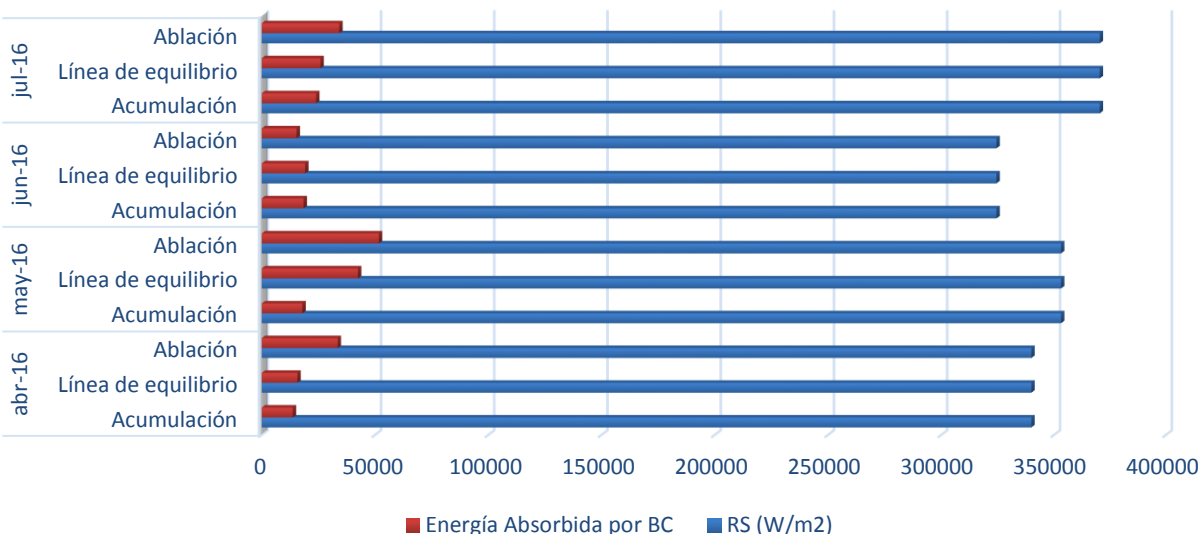


Gráfico 09: Energía absorbida por el carbono negro en cada zona del glaciar Yanapaccha.

6.6. Energía total que llega sobre el glaciar Shallap.

RS - PARA EL GLACIAR SHALLAP	
Mes/Año	RS (W/m²)
oct-15	377870.6332
nov-15	306620.1766
dic-15	331259.5288
ene-16	378934.4806

feb-16	309243.4727
mar-16	335525.3126
abr-16	322063.3876
may-16	333760.7393
jun-16	318869.9967
jul-16	383196.0868
ago-16	370242.1215

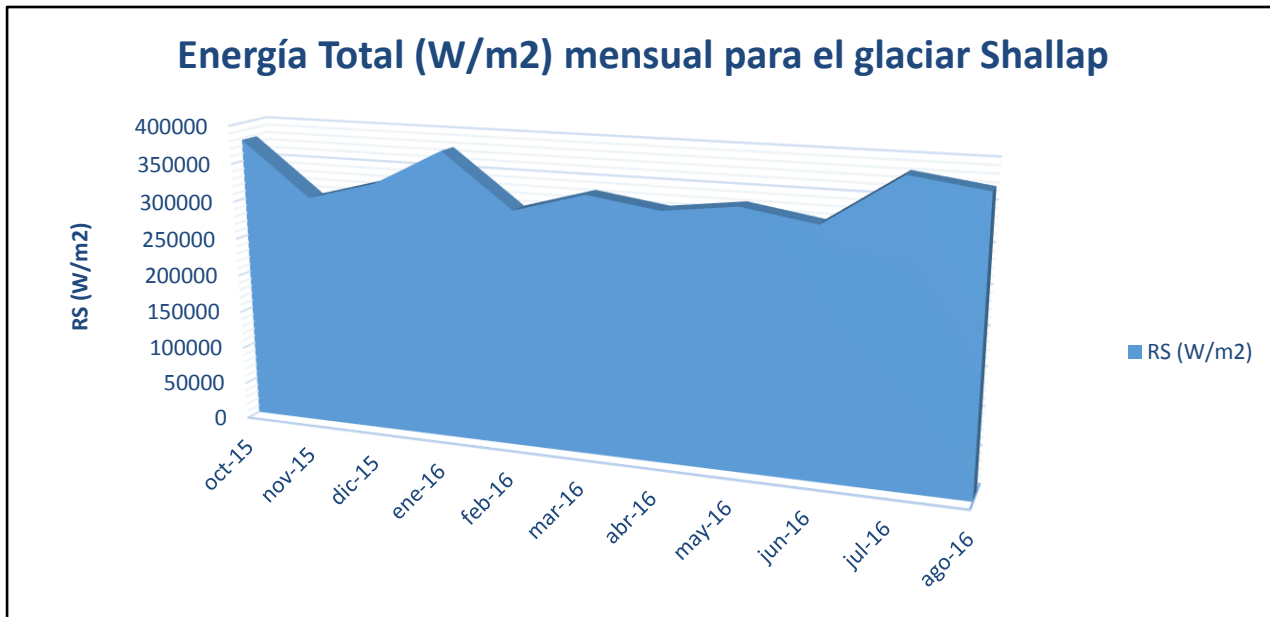


Gráfico 10: Energía total mensual que llega sobre el glaciar Shallap.

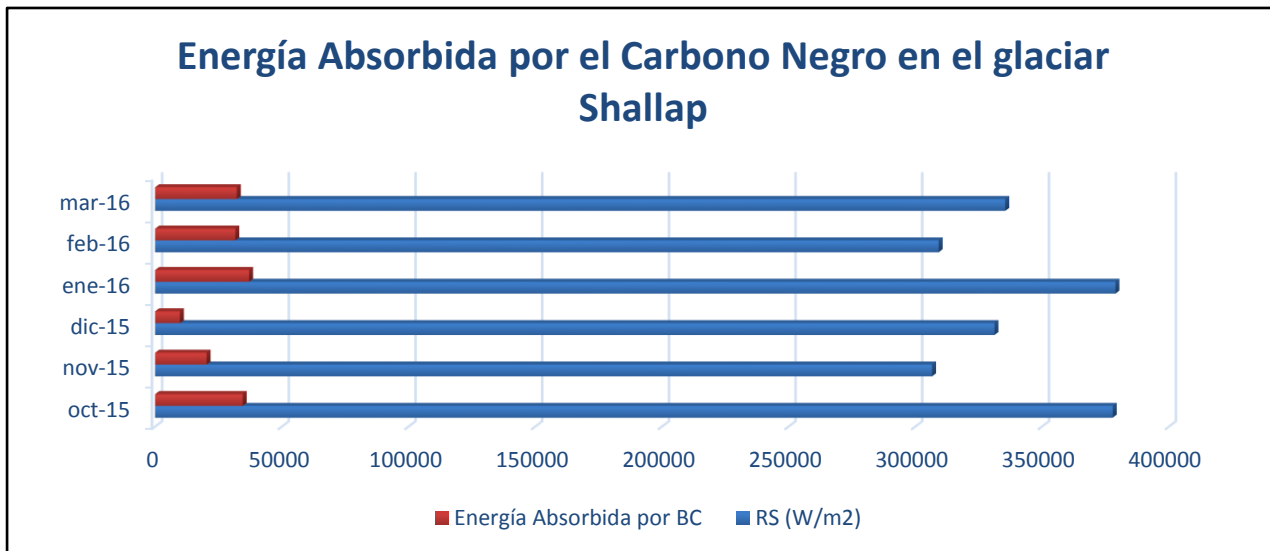


Gráfico 11: Energía absorbida por el carbono negro en el glaciar Shallap.

Energía Absorbida por el Carbono Negro en cada zona del glaciar Shallap

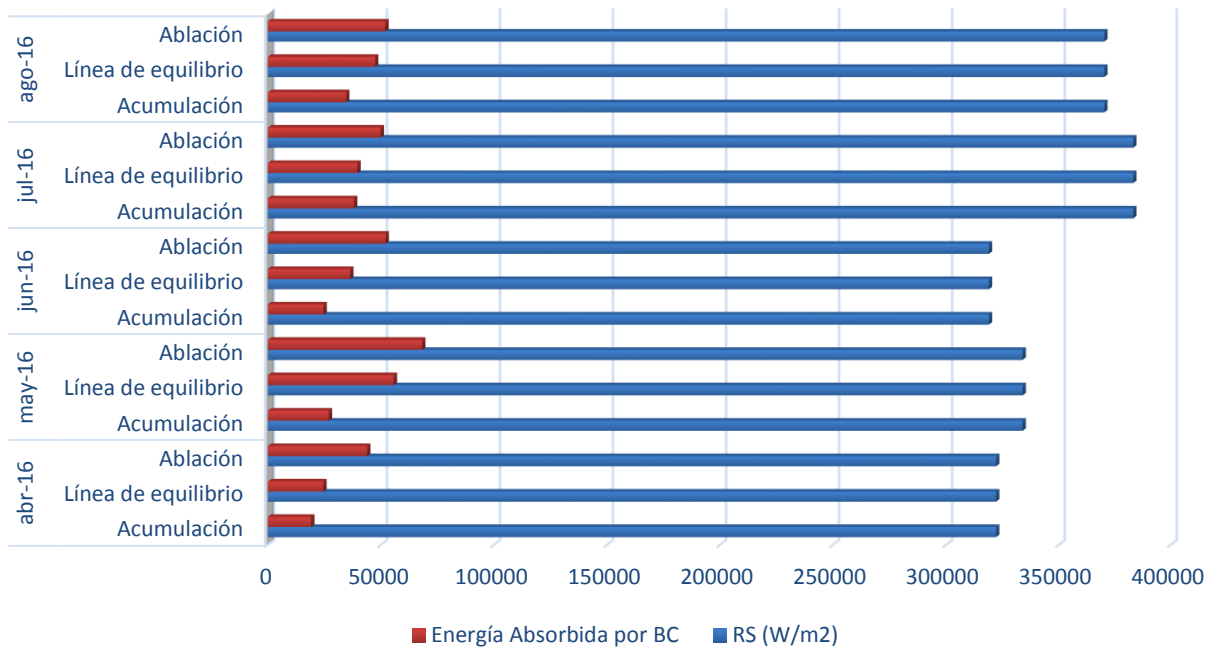


Gráfico 12: Energía absorbida por el carbono negro en cada zona del glaciar Shallap.

6.7. Nieve fundida a causa del carbono negro en el glaciar Yanapaccha.

Mes/Año	BC (ng/g)	Nieve Fundida por BC (Kg/m ²)
oct-15	10.6566	27.41
nov-15	11.6185	25.74
dic-15	18.5066	42.69
ene-16	205.192	281.38
feb-16	497.547	360.90
mar-16	280.007	276.84
abr-16	95.8146	146.33
	117.773	168.19
	398.424	358.87
may-16	135.678	191.89
	565.334	454.52
	814.507	553.66
jun-16	161.593	197.49
	171.237	204.97
	122.123	164.47
Jul-16	198.579	257.05
	224.39	277.40
	356.132	366.42

Nieve Fundida en (Kg/m²) por el Carbono Negro en el glaciar Yanapaccha

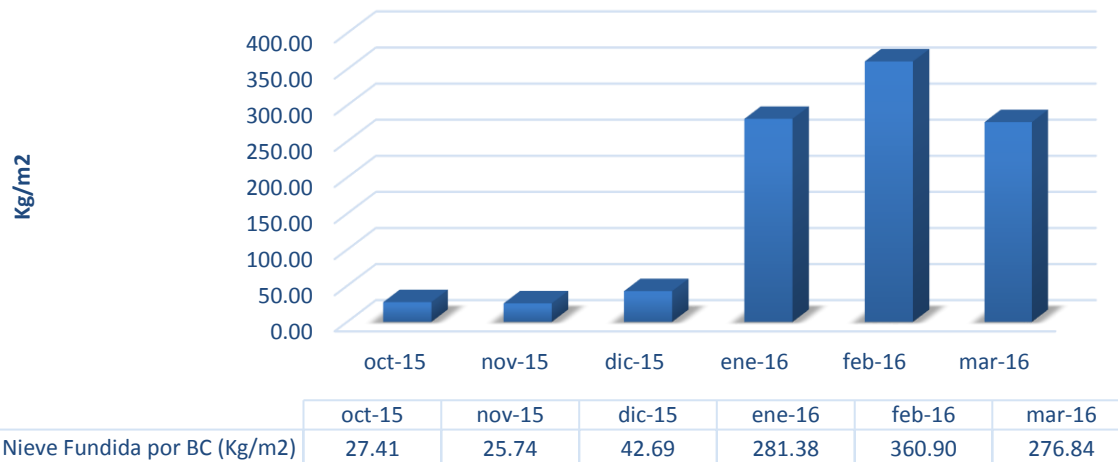


Gráfico 13: Nieve fundida a causa del carbono negro en el glaciar Yanapaccha.

Nieve Fundida en (Kg/m²) por el Carbono Negro en cada zona del glaciar Yanapaccha

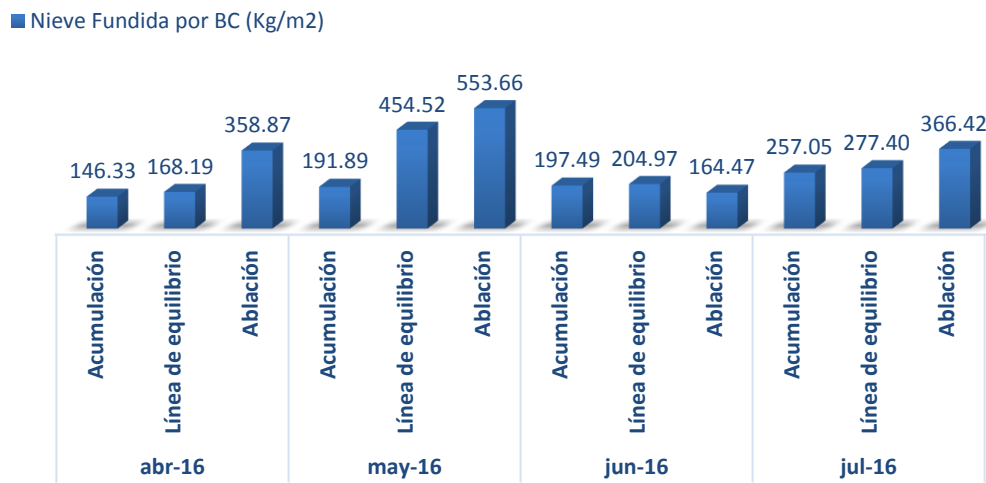


Gráfico 14: Nieve fundida a causa del carbono negro en cada zona del glaciar Yanapaccha.

6.8. Nieve fundida a causa del carbono negro en el glaciar Shallap.

Mes/Año	BC (ng/g)	Nieve Fundida por BC (Kg/m ²)
oct-15	350.215	370.16
nov-15	205.737	217.57
dic-15	61.3611	104.40
ene-16	393.322	397.21
feb-16	425.3	339.09
mar-16	381.01	345.28

abr-16	172.404	204.39
	257.359	262.39
	711.012	469.81
may-16	283.228	288.17
	1047.07	596.07
	1583.29	730.69
jun-16	263.202	263.36
	514.132	389.35
	1005.05	557.70
jul-16	403.635	407.73
	431.414	423.64
	653.179	533.95
ago-16	363.05	370.42
	633.967	507.59
	750.84	556.07

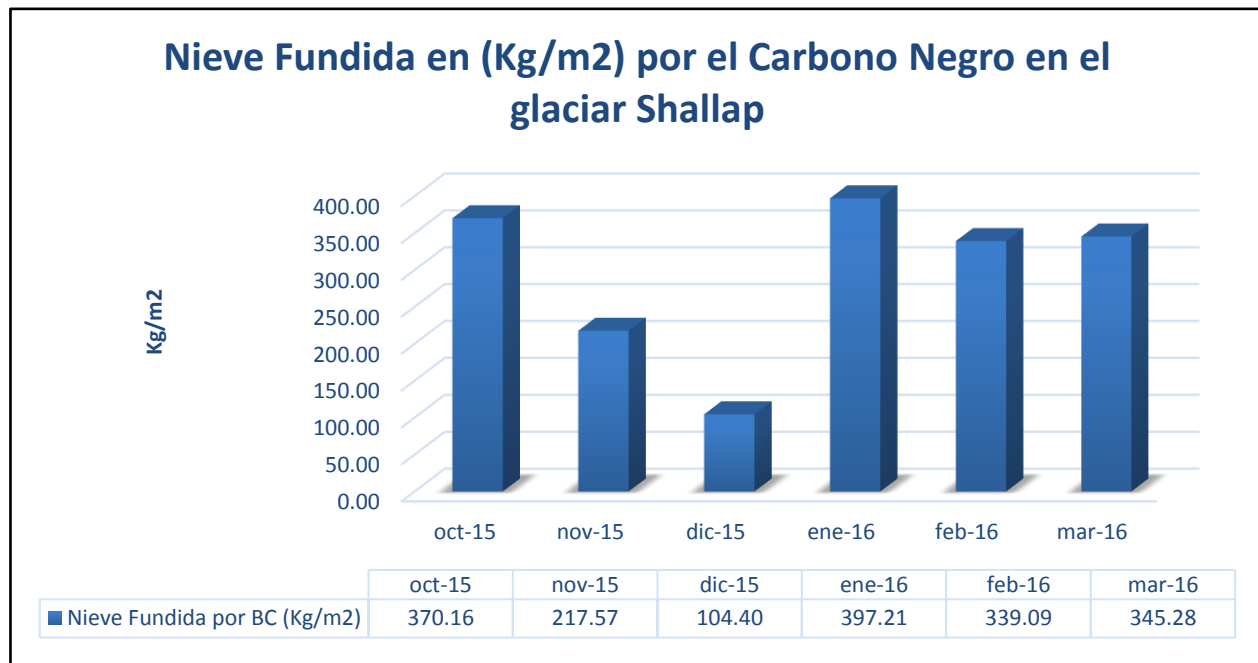


Gráfico 15: Nieve fundida a causa del carbono negro en el glaciar Shallap.

Nieve Fundida en (Kg/m²) por el Carbono Negro en cada zona del glaciar Shallap

■ Nieve Fundida por BC (Kg/m²)



Gráfico 16: Nieve fundida a causa del carbono negro en cada zona del glaciar Shallap.

7. CONCLUSIONES

- La cantidad de carbono negro es mayor en la mayoría de meses en el glaciar Shallap, sólo en el mes febrero de 2016 el glaciar Yanapaccha presentó mayor cantidad de carbono negro. Del mismo modo en cada zona del glaciar Shallap la cantidad de carbono negro es mayor a diferencia del glaciar Yanapaccha.
- En cada zona de ambos glaciares el carbono negro se encuentra en relación inversa a la altitud; quiere decir, a mayor altitud menor cantidad de carbono negro y de manera inversa a menor altitud mayor cantidad de carbono negro.
- Se observa un aumento de carbono negro a partir del mes de enero 2016 para ambos glaciares, esto debido a la falta de precipitaciones durante este año lo cual favorece a la deposición seca del carbono negro sobre los glaciares.
- La mayor diferencia en el albedo de la nieve se presenta en el glaciar Shallap, esto debido a que este glaciar tiene mayor cantidad de carbono negro. La simulación SNICAR considera un valor promedio para la nieve sin carbono negro (0.71069986), este albedo disminuye a medida que se introducen los valores de carbono negro para cada mes.
- La radiación solar que reciben ambos glaciares está dentro de un rango de 300000.00 – 390000.00 W/m², variando para cada mes entre ambos glaciares. Debemos considerar que ambas estaciones meteorológicas están ubicadas muy cerca a los glaciares a una altitud mayor a los 48000 m.s.n.m. por lo cual podemos afirmar que la radiación solar es similar en ambos glaciares, a esto debemos incluir el factor de las nubes.

- Debido a que el carbono negro tiene una alta capacidad para absorber la energía solar en la longitud de onda visible, cuando se presenta mayor cantidad de carbono negro será mayor la cantidad de energía absorbida por el carbono negro. Es el caso del glaciar Shallap, ya que presenta mayor cantidad de carbono negro, por ende la absorción de energía solar es mayor.
- La mayor cantidad de nieve fundida a causa del carbono negro se presenta en el glaciar Shallap, debido a que este glaciar tiene valores mayores de carbono negro durante la mayoría de los meses de muestreo. A partir de enero de 2016 los valores de nieve fundida se incrementan para ambos glaciares, debido a la falta de precipitaciones sólidas (nieve reciente) en ambos glaciares.

8. RECOMENDACIONES

- Considerar realizar otros análisis de campo, como medir la densidad, pH de la nieve, tipo y tamaño de la nieve para correlacionar con la presencia de carbono negro en la nieve de los glaciares.
- Realizar un inventario de las principales fuentes de carbono negro en la región Ancash, en base a las emisiones de PM_{2.5}.
- Realizar experimentos para mejorar la técnica de muestreo con relación a la cantidad de muestra líquida que se filtra, para calibrar el instrumento de medición LAHM.
- Recomendar el uso de filtros para partículas Diésel (DPF), esto disminuiría las emisiones de carbono negro en el sector transporte, así mismo realizar controles del contenido de azufre en la gasolina que se comercializa.
- Continuar con el muestreo en ambos glaciares para registrar la dinámica de cantidad de carbono negro depositado en la nieve.
- Considerar adquirir e instalar dos piranómetros en glaciares de interés para disponer de datos de radiación solar directa de manera inmediata.
- Considerar realizar la toma de muestras de nieve en otros glaciares con similares características de ubicación (cerca y lejos de Huaraz) para comparar resultados.
- Concientizar a la población acerca de los efectos que produce el carbono negro sobre los glaciares, en especial a la población rural (utilizar folletos redactados en lengua Quechua).

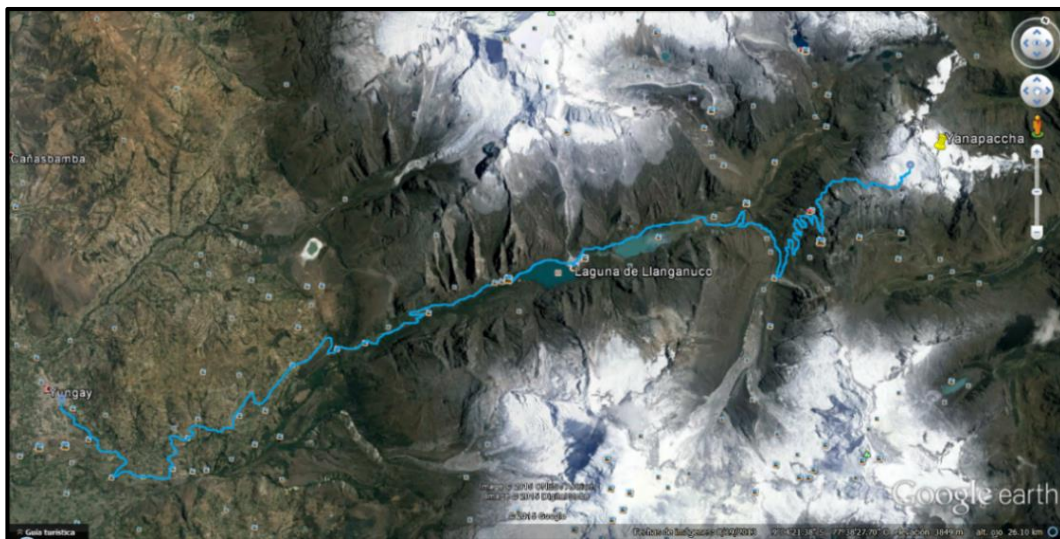
9. BIBLIOGRAFIA

- ICCT [International Council on Clean Transportation] (2009). El conocimiento científico actual sobre los impactos de carbono negro en el cambio climático y las estrategias recomendadas para reducir las emisiones. Una síntesis para la toma de decisiones. Autor. Manuscrito.
- Hansen J. & Nazarenko L. (2004). Soot climate forcing via snow and ice albedos. Proceedings of the National Academy of Sciences, 423-428.
- Rabatel, A., Francou, B., Soruco, A., Gomez, J., Cáceres, B., Ceballos, J.L., Basantes, R., Vuille, M., Sicart, J.E., C., Scheel, M., Lejeune, Y., Arnaud, Y., Collet, M., Condom, T., Consoli, G., Favier, V., Jormelli, V., Galárraga, R., Ginot, P., Maisincho, L., Mendoza, J., Ménégoz, M., Ramirez, E., Ribstein, P., Suarez, W., Villacis, M. & Wagnon, P., Current state of glaciers in the tropical Andes: a multi-century perspective on glacier evolution and climate change. The Cryosphere, 7, 81-102, 2013, www.the-cryosphere.net/7/81/2013/doi/10.5194/tc7-81-2013.
- USEPA. (2012). Report to Congress on Black Carbon, (March), 388. <http://doi.org/10.1016/j.icrp.2009.12.007>

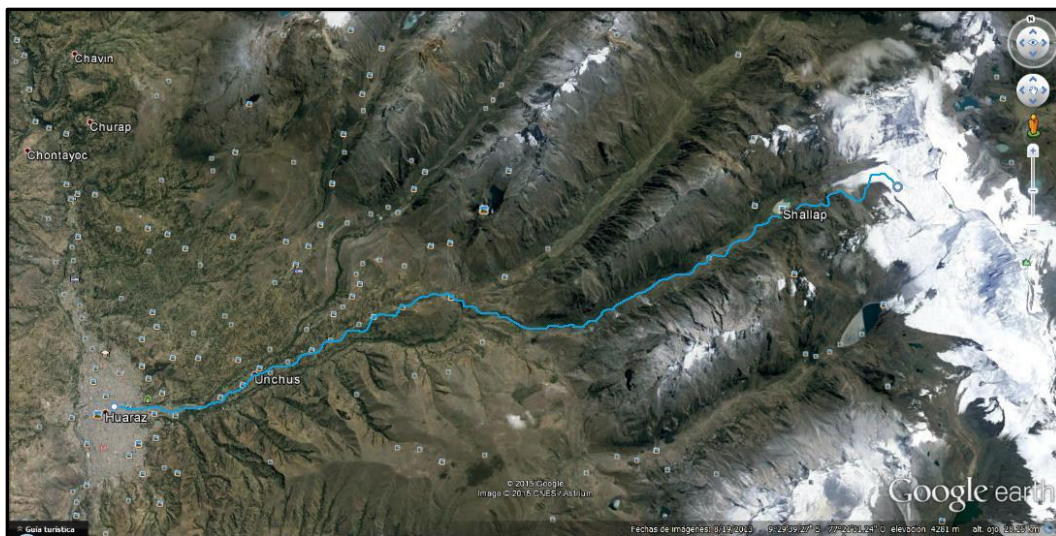
10. ANEXOS

Enlaces externos:

- <http://snow.engin.umich.edu/>
- <https://ncar.ucar.edu/>
- <http://climberscience.org/>



Fotografía satelital donde se observa la ruta hasta el glaciar Yanapaccha.



Fotografía satelital donde se observa la ruta hasta el glaciar Shallap.